

MINISTERUL EDUCAȚIEI SI ÎNVÂTAMÂNTULUI  
INSTITUTUL POLITEHNIC "TRAIAN VUIA" TIMIȘOARA  
FACULTATEA DE INGINERIE CHIMICĂ

Ing. Minodora Medeleanu

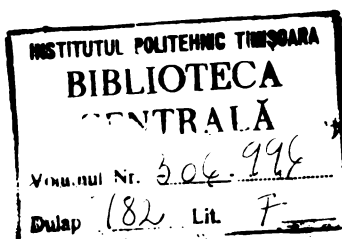
CONTRIEUTII  
LA TEHNOLOGIA OBTINERII TETRACLORURII DE ZIRCONIU  
IN STARE PURA

TEZA DE DOCTORAT

BIBLIOTECA CENTRALĂ  
UNIVERSITATEA "POLITEHNICA"  
TIMIȘOARA

Conducător științific  
Acad. Prof. Dr. Doc. Coriolan Drăgulescu

- 1975 -





## I N T R O D U C E R E .

Dezvoltarea tehnicii moderne în diferite domenii (chimie, metalurgie, construcții de mașini, energetică, etc) a generat un interes deosebit în direcția obținerii de aliaje și oțeluri speciale. În bună parte acestea conțin metale rare și disperse care le conferă calități remarcabile și proprietăți fizice și chimice deosebite. Dintre metalele care răspund acestor exigențe se poate arăta: Nb, Ta, Mo, V, Be, Ge, In, Ga, Ti, U, Zr, Hf etc.

Cercetările geologice efectuate în țara noastră de mai mulți ani au semnalat prezența în diverse zone, a unor formațiuni cu conținut variabil de metale rare, ceea ce a impulsionat dezvoltarea unor direcții noi în activitatea de cercetare privind elaborarea de procese și procedee de obținerea și purificarea acestor metale sau a combinațiilor lor<sup>1-5</sup> precum și de găsirea unor metode noi de separare sau de analiză, respectiv de control a diferitelor faze ale proceselor tehnologice elaborate. În această direcție de cercetare se situează și preocupările școlii de chimie analitică din Timișoara condusă de Acad.Prof.Dr.Doc. Coriolan Drăgulescu<sup>6-10</sup>.

În majoritatea cazurilor aceste metale se obțin prin procese chimice sau metalurgice, utilizându-se ca materii prime combinațiile lor volatile, cu precădere cloruri.

Importanța și utilizarea zirconiului și a combinațiilor lui în diferite sectoare ale industriei moderne se datorează unei cumulări unice de proprietăți fizice, chimice și nucleare, care se manifestă pregnant chiar la adaosuri reduse de metal sau combinații.

Domeniile în care se utilizează zirconiul în formă metalică sau în combinații sunt multiple și foarte variante<sup>11-15</sup>.

În industria metalurgică, zirconiul se utilizează ca dezoxidant și metal de aliere. Introducindu-se în oțeluri, de obicei sub formă de feroaliaje, în proporție de 0,2 - 2 % Zr se obțin aliaje cu mare stabilitate mecanică, termică și chimică, proprietăți importante pentru industria constructorie de utilaj chimic. Prință de asemenea interes, aliajele magneziene - aliaje ușoare și cu rezistență termică deosebită, în care zirconiul intră în proporții de circa 0,7 % alături de alte metale rare - utilizate în tehnica construcției de avioane și rachete.

Zirconul,  $4[\text{ZrSiO}_4]$ , cu un conținut de 61-67 %  $\text{ZrO}_2$  și Baddeleyita  $4[\text{ZrO}_2]$  cu un conținut de 90-93 %  $\text{ZrO}_2$  se utilizează fie ca atare drept materiale refractare, sau intră în compozitia materialelor superrefractare alături de alte combinații sau oxizi. Zirconul, după purificarea de fier se utilizează la prepararea unor emulsiuni speciale. Aceleasi combinații se utilizează la fabricarea materialelor de formare în turbătorii precum și la producerea condensatorilor electrici.

Cel mai important domeniu însă de utilizare a zirconiului în prezent, rămâne tehnica nucleară.

Spre deosebire de majoritatea sectoarelor de utilizare a zirconiului și a combinațiilor sale (metalurgia feroasă și neferoasă, construcția de mașini și a materialelor refractare, sticlă și emailuri, cataliză etc.), unde se poate utiliza zirconiul fără o prealabilă, minuțioasă separare de hafniu, pentru realizarea reacțiilor în lanț de dezagregare nucleară este necesar un zirconiu ultrapur, cu un conținut minim posibil de hafniu (mai mic de 0,01 % Hf). El se utilizează mai ales ca material de construcție pentru reactoarele nucleare, datorită unei proprietăți importante și anume o secțiune eficace mică de captură a neutronilor termici proprietate mult înrăutățită de prezența hafniului cu care zirconiul se găsește întotdeauna asociat în proporție de aproximativ 1,6 - 2 %. Mai jos sunt redată valorile secțiunii eficace de captură a zirconiului, pentru comparare, alături de titan și hafniu<sup>11</sup>:

Element	Secțiune eficace de captură
Ti	5,8 - 5,9 barni*
Zr	0,22 - 0,4 "
Hf	103 - 157 "
Zr + 1-2 % Hf	3,5 - 5 "

Separarea celor două elemente (Zr și Hf), cu proprietăți fizico-chimice asemănătoare (structura electronică, razele ionice, volumele atomice, afinitatea chimică, etc.) a constituit și constituie încă și în prezent o problemă care implică serioase dificultăți experimentale atât la scară încercărilor de laborator cât și mai ales a instalațiilor

\* 1 barn reprezintă unitatea de măsură a secțiunii eficace de captură, care corespunde la  $10^{-24} \text{ cm}^2/\text{atom}$ .

industriale.

Dintre combinațiile zirconiului, tetraclorura de zirconiu ocupă un loc important ca materie primă pentru obținerea zirconiului metalic după procedeul Kroll<sup>11,12</sup>, prin reducerea tetraclorurii de zirconiu cu magneziu.

In tehnologia obținerii tetraclorurii de zirconiu apar o serie de dificultăți, legate în primul rînd de descompunerea ireversibilă a acestei combinații în prezența umidității, de coroziunea înservată a aparaturii, corelată cu impurificarea produsului, de limitele severe de temperatură, presiune și concentrații din procesul condensării vaporilor de tetraclorură de zirconiu etc.

Elaborarea unor procese tehnologice pentru prepararea tetraclorurii de zirconiu a devenit o problemă de importanță majoră economică și practică odată cu apariția procedeului Kroll. Preocupări în domeniul clorurării concentratelor zirconifere, a Zirconului sau Baddeleyitei au existat totuși mai de mult. Sunt semnalate astfel, lucrările lui G.P.Alexandrov, care a realizat clorurarea unor brișete de mineral-cărbune, cu randament de 90 % în decurs de 6 ore la temperatura de 800°C ; în perioada anilor 1939-1945, au fost încercate în Germania procese de clorurare a concentratelor zirconifere cu oxid de carbon și clor, fără ca rezultatele să fie extinse<sup>11,12</sup>.

In ultimele două decenii însă, problema clorurării concentratelor zirconifere și în special a bioxidului de zirconiu, în scopul obținerii tetraclorurii, a constituit obiectul a numeroase cercetări, cu elaborări de procese tehnologice pe instalații de laborator sau la scară industrială urmărindu-se precizarea unor aspecte legate de diferitele faze

ale acestei tehnologii.

Cu toate că procesul tehnologic de bază este descris în linii mari în mai multe monografii<sup>11,12,16-19</sup>, în care sunt citate și unele publicații complete<sup>20,21</sup>, datele cu privire la conducerea procesului tehnologic sunt în general sumare și nu pot servi direct la precizarea condițiilor pentru punerea în practică a unei tehnologii.

Alături de aceasta mai trebuie semnalat și faptul că majoritatea lucrărilor de bază sunt brevete, astfel încât oferă o sursă informativă incompletă în ce privește precizarea condițiilor de lucru sau a concluziilor, ceea ce face ca rezultatele experimentale prezentate să fie greu reproductibile<sup>22-34</sup>. Sunt semnalate de asemenea procese în arc de clorurarea bioxidului de zirconiu, procese în strat fluidizat, precum și procese în care ca agent de clorurare este utilizată tetrachlorura de carbon, unii produși clorurăi ai sulfului etc.<sup>35-39</sup>.

In prezenta lucrare se redă succint materialul existent în literatura de specialitate cu privire la obținerea și purificarea tetrachlorurii de zirconiu, precum și unele contribuții personale prin încercări experimentale la diferitele faze ale procesului tehnologic de obținere a tetrachlorurii de zirconiu în stare pură. Se prezintă rezultate experimentale privitoare la clorurarea în diferite condiții a bioxidului de zirconiu și a carburii de zirconiu urmărindu-se influența temperaturii, a debitului de clor, a adaosului de carbon, asupra procesului de clorurare și de condensare a tetrachlorurii formate.

Folosind miciile diferențe care există între unele proprietăți fizice și fizico-chimice ale tetraclorurilor de zirconiu și hafniu, am socotit că în cadrul lucrărilor efectuate să se încerce stabilirea unor condiții pentru dehafniere. În vederea purificării prin distilare a tetraclorurii de zirconiu s-au experimentat coloane de rectificare de laborator cu umpluturi de mare eficacitate, urmărindu-se influența condițiilor hidrodinamice, impuse de diferite tipuri de umpluturi, precum și eficacitatea acestora în procesul de rectificare, folosind amestecul etalon  $\text{CCl}_4\text{-C}_6\text{H}_6$ .

S-au făcut experimentări asupra rectificării sub presiune a tetraclorurii de zirconiu și s-au adus unele precizări privitoare la condițiile de lucru și la conducerea procesului de rectificare. S-a încercat și s-a perfectionat o metodă nouă de măsurarea refluxului în coloane de rectificare.

Deasemenea s-au făcut determinări de solubilitate a tetraclorurii de zirconiu în solventi organici clorurați, în ideea posibilității de separarea tetraclorurilor de zirconiu și hafniu, modificîndu-le volatilitatea cu un solvent. În acest scop s-au construit și s-au experimentat diferite variante de aparate, pentru determinări de solubilitate care să aibă dimensiuni mici, deci să permită realizarea echilibrului de solubilitate în timp scurt și cu cantități mici de substanță.

P A R T E A I-a

ASPECTE TEORETICE SI TERMINOLOGICE PRINIVIND OBTINEREA  
SI PURIFICAREA TETRACLORURII DE ZIRCONIU.

1

## C A P I T O L U L I.

### OBTINEREA TETRACLORURII DE ZIRCONIU. CONSIDERATII ASUPRA PROCESULUI DE CLORURARE.

#### I.1. Clorurarea bioxidului de zirconiu.

Procesele de clorurare au găsit în practica metalurgică o largă utilizare odată cu apariția și dezvoltarea producției de metale rare și elemente semiconductoare.

Reactivitatea deosebită a clorului, diversitatea mare a proprietăților combinațiilor sale, precum și ușurința unor cloruri de a reacționa cu alte combinații chimice permit prelucrarea de materii prime complexe, polimetalice, sub formă de combinații din care se pot extrage, cu rândamente bune, metale de înaltă puritate. De asemenea, o serie de avantaje tehnologice și economice ca simplitatea operațiilor și a aparaturii, durata relativ redusă a proceselor, posibilitatea de purificare cu separarea selectivă a diverselor cloruri prin distilare sau condensare fracionată, attestă perspectivele mari de dezvoltare în continuare ale acestui procedeu.

Clorurarea bioxidului de zirconiu prezintă interes tehnologic dacă dispunem de acenastă combinație în urma prelucrării mineralelor zirconifere - cu precădere Baddeleyite-

precum și în situația în care obținerea tetraclorurii de zirconiu precede operația de dehafniere, dacă aceasta se realizează prin procese bazate pe diferența de volatilitate a tetraclorurii de zirconiu și hafniu.

In aceste procese se utilizează ca agenți de clorurare, clor gazos precum și combinații ale acestuia cu, tetraclorură de carbon, clorură de etilenă, cloruri de sulf, cu azot, sau în amestec cu clorul. Prin descompunere termică, în anumite condiții, aceste combinații dă naștere la clor activ, care produce clorurarea oxidului.

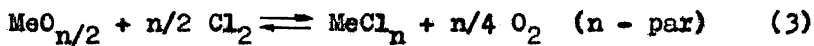
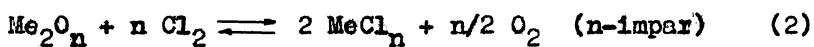
Dintre acestia, în afară de clorul gazos, clorurarea cu tetraclorură de carbon în special a atrăs atenția cercetărilor, datorită temperaturii reduse la care poate avea loc reacția de clorurare ( $500^{\circ}\text{C}$ - $600^{\circ}\text{C}$ ) și a simplității aparaturii utilizate. Astfel în unele lucrări<sup>37,38</sup> se dezvoltă o metodă generală de obținere a clorurilor anhidre ale unor metale, încălzind oxidul metalului cu tetraclorură de carbon la temperatura de  $400^{\circ}\text{C}$  într-un spațiu închis, la o presiune rezultată în sistem de 100 atmosfere. Rezultatele indică transformarea totală în cloruri a oxizilor de Fe, Zr, Be, V, Tc și parțială a oxizilor de Zn, Al, La, Th, Nb; oxiziile de Co și Ni nu reacționează în aceste condiții. Transformarea are loc conform reacției:



Intr-o altă lucrare<sup>39</sup>, se studiază clorurarea cu tetraclorură de carbon a  $\text{Fe}_2\text{O}_3$ ,  $\text{Al}_2\text{O}_3$ ,  $\text{BeO}$ ,  $\text{TiO}_2$ ,  $\text{ZrO}_2$ ,  $\text{ThO}_2$ , apreciindu-se că optimă temperatura de  $560^{\circ}\text{C}$ . În aceiasi lucrare se prezintă și unele date cinetice și se menționează că

problema cea mai importantă este menținerea în contact a reactanților, în condițiile de lucru, fără descompunerea tetraclorurii de carbon în alți produși clorurați sau radicali care ar influența nefavorabil procesul de condensare a tetraclorurii de zirconiu. Alături de aceasta, impurificarea produsului cu diferite combinații organice, creează dificultăți în procesul reducerii ulterioare a tetraclorurii. Aceste inconveniente au determinat ca procesele cu  $\text{CCl}_4$  să nu se extindă.

Clorurarea oxizilor metalelor cu clor gazos poate decurge în general după următoarele reacții<sup>40,42</sup> :



Expresiile constantelor de echilibru pentru aceste reacții sunt:

- în cazul obținerii clorurilor ca fază condensată

$$K_1 = \frac{[\text{O}_2]^{n/2}}{[\text{Cl}_2]^n} \quad (2 \text{ a})$$

$$K_2 = \frac{[\text{O}_2]^{n/4}}{[\text{Cl}_2]^{n/2}} \quad (3 \text{ a})$$

- în cazul obținerii clorurilor în fază gazoasă,

$$K_1 = \frac{[\text{MeCl}_n]^2 [\text{O}_2]^{n/2}}{[\text{Cl}_2]^n} \quad (2 \text{ b})$$

$$K_2 = \frac{[\text{MeCl}_n] [\text{O}_2]^{n/4}}{[\text{Cl}_2]^{n/2}} \quad (3 \text{ b})$$

De aici rezultă, că echilibrul sistemului poate fi deplasat în sensul formării clorurilor, prin utilizarea unui exces de clor și îndepărțind continuu produsii de reacție din sistem.

Considerațiile termodinamice asupra proceselor de clorurare a oxizilor metalici cu clor gazos atestă posibilitatea de realizare a reacțiilor prezentate, în sensul formării clorurii, numai în cazul cînd entalpia liberă a acestei reacții are valori mai negative decît cele corespunzătoare reacției inverse, de formare a oxidului. Analiza dependenței entalpiei libere de temperatură, arată că cu cît este mai negativă valoarea acesteia, cu atît clorurile sunt mai stabile (de ex. metalele alcaline și alcalino-tereoase) și procesul poate decurge într-un interval larg de temperaturi. În schimb, oxizii  $\text{Be}^{+2}$ ,  $\text{Si}^{+4}$ , etc., nu pot fi clorurați în aceleasi limite deoarece stabilitatea lor termodinamică este mai mică.

Pentru elementele grupelor I, II și IV, spre exemplificare, este dată în fig.1, dependența de temperatură a entalpiei libere standard a reacției de formare a clorurilor<sup>43</sup>.

La majoritatea curbelor se remarcă o schimbare de pantă la o anumită temperatură, ceea ce indică transformări de fază ale substanțelor inițiale și a produsilor de reacție (polimorfism, sublimare, topire, fierbere).

Referitor la clorurarea bioxidului de zirconiu, în literatură sunt prezentate măsurători și calcule asupra mărimilor și constantelor necesare evaluării termodinamice a

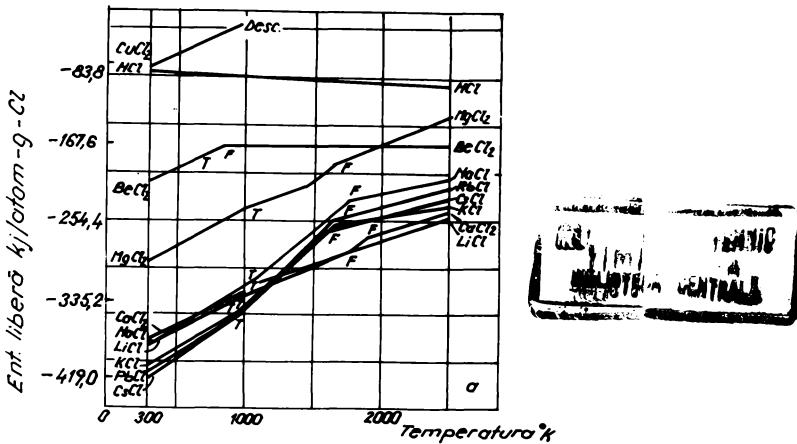
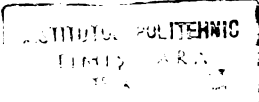


Fig. 1. Dependența dintre entalpia liberă standard a reacției de formare a clorurilor elementelor și temperatură  
a - grupa I și II  
b - grupa IV

procesului de clorurare a bioxidului de zirconiu și hafniu cu clor gazos<sup>43-49</sup>.

Din variația constantelor de echilibru cu temperatură (fig. 2)<sup>40</sup> se observă de acelașa că nu toți oxizii se pot clorua în intervalul de temperaturi  $700^{\circ} - 1000^{\circ}\text{C}$ . Astfel oxizii  $\text{Fe}^{+3}$ ,  $\text{Zr}^{+4}$ ,  $\text{Ti}^{+4}$ ,  $\text{Al}^{+3}$ ,  $\text{Si}^{+4}$ ,  $\text{Be}^{+2}$  cu valori negative ale constantelor de echilibru iar valorile absolute ale acestora fiind mari pentru ultimele cinci elemente, reacțiile pot fi considerate ca desplașate total în sensul formării oxizilor respectivi.



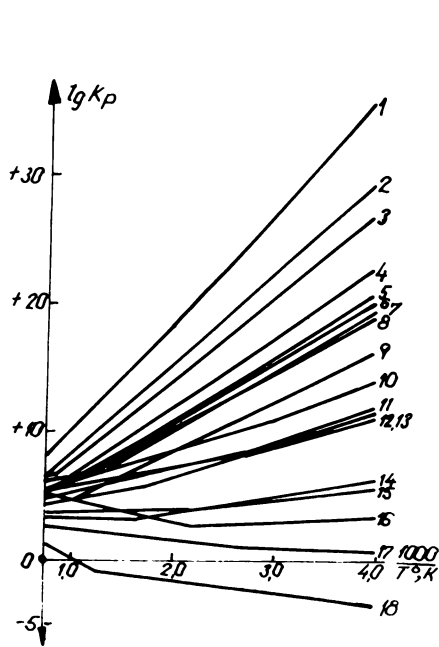


Fig. 2. Dependenta constantelor de echilibru a proceselor de clorurare a oxizilor, de intervalul temperaturii

1- $\text{Ag}^{+1}$ ; 2- $\text{Cu}^{+2}$ ; 3- $\text{Pb}^{+2}$ ; 4- $\text{Cu}^{+1}$ ; 5- $\text{Sn}^{+2}$ ;  
 6- $\text{Fe}^{+2}$ ; 7- $\text{Zn}^{+2}$ ; 8- $\text{Bi}^{+2}$ ; 9- $\text{Ag}^{+2}$ ; 10- $\text{As}^{+3}$ ;  
 11- $\text{Ge}^{+3}$ ; 12- $\text{Fe}^{+3}$ ; 13- $\text{Sn}^{+4}$ ; 14- $\text{Zr}^{+4}$ ; 15- $\text{Ti}^{+4}$ ;  
 16- $\text{Al}^{+3}$ ; 17- $\text{Si}^{+4}$ ; 18- $\text{Be}^{+2}$ .

Doparea echilibrului pentru reacțiile 2 și 3, în sensul formării clorurii cele posibile în primul rînd prin îndepărțarea continuă a oxigenului, ceea ce se realizează practic utilizând un reducător, care se combină cu oxigenul, producind o scădere a preciunii parțiale a oxigenului în sistemul de reacție. Prin acesta, entalpia liberă globală a procesului și schimbă nu numai valoarea ci și sensul, devenind negativă, ceea ce face ca procesul să fie rea-

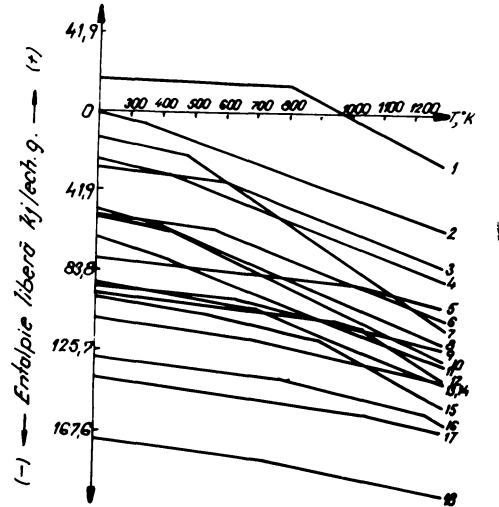


Fig. 3. Dependența entalpiei libere de temperatură la clorurarea oxizilor în prezența unui reducător.

1-Bg<sup>+2</sup>; 2-Si<sup>+4</sup>; 3-Zr<sup>+4</sup>;  
4-Ti<sup>+4</sup>; 5-Mg<sup>+2</sup>; 6-Fe<sup>+2</sup>;  
7-Al<sup>+3</sup>; 8-Sn<sup>+4</sup>; 9-Fe<sup>+2</sup>;  
10-Ga<sup>+3</sup>; 11-Ag<sup>+3</sup>; 12-Bi<sup>+3</sup>;  
13-Zn<sup>+2</sup>; 14-Cu<sup>+1</sup>; 15-Sn<sup>+2</sup>;  
16-Ca<sup>+2</sup>; 17-Pb<sup>+2</sup>; 18-Ag<sup>+1</sup>.

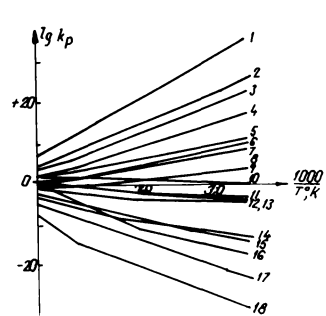


Fig. 4. Dependența constantelor de echilibru de temperatură, la clorurarea oxizilor în prezența unui reducător.

1-Ag<sup>+1</sup>; 2-Ca<sup>+2</sup>; 3-Pb<sup>+2</sup>;  
4-Cu<sup>+1</sup>; 5-Sn<sup>+2</sup>; 6-Fe<sup>+2</sup>;  
7-Zn<sup>+2</sup>; 8-Bi<sup>+3</sup>; 9-Mg<sup>+2</sup>;  
10-Ag<sup>+3</sup>; 11-Ga<sup>+3</sup>; 12-Fe<sup>+3</sup>;  
13-Al<sup>+4</sup>; 14-Zr<sup>+4</sup>; 15-Ti<sup>+4</sup>;  
16-Al<sup>+3</sup>; 17-Si<sup>+4</sup>; 18-Be<sup>+2</sup>.

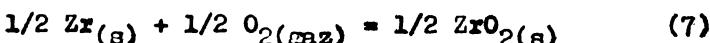
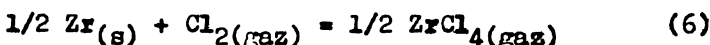
lizabil din punct de vedere termodinamic. În această situație reacțiile de clorurare se scriu în general,



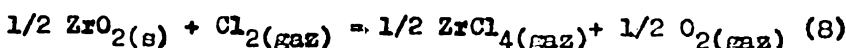
In graficele din fig. 3 și fig. 4 se arată dependența de temperatură a entalpiei libere și a constantelor de echilibru pentru reacțiile de clorurare a oxizilor metalici în prezența unui reducător<sup>40</sup>.

Termodinamica reacției de clorurare a bioxidului de zirconiu cu clor gazos formează obiectul a numeroase studii experimentale și teoretice, urmărind în esență precizarea unor concluzii de importanță practică<sup>43-49</sup>.

Reacția de clorurare a bioxidului de zirconiu cu clor gazos se poate reprezenta ca diferența a două reacții:



respectiv,



In fig. 5 se prezintă variația entalpiei libere standard cu temperatura pentru reacțiile de mai sus.

Din grafic se observă că variația entalpii libere se menține pozitivă chiar la temperaturi ridicate (1500°C).

Compoziția fazelor gazeoase la echilibru se poate determina din condițiile,

$$K_p^2(8) = \frac{P_{\text{ZrCl}_4} \cdot P_{\text{O}_2}}{P_{\text{Cl}_2}} \quad (9)$$

$$P_{\text{ZrCl}_4} + P_{\text{O}_2} + P_{\text{Cl}_2} = 1 \text{ atm} \quad (10)$$

$$P_{\text{O}_2} = P_{\text{ZrCl}_4}$$

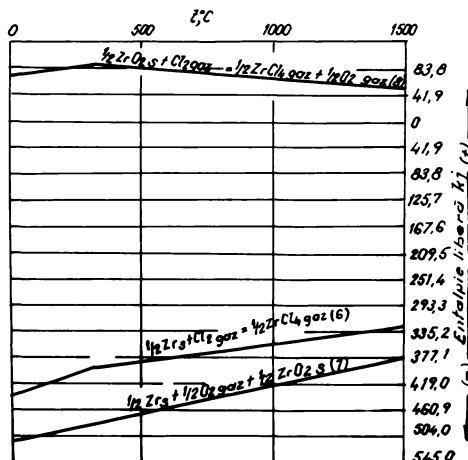


Fig. 5. Variația entalpiei libere standard cu temperatura pentru reacțiile 6-8.

în care:

$K_p(8)$  = constanta de echilibru a reacției 8.

$P_{ZrCl_4}$ ,  $P_{O_2}$ ,  $P_{Cl_2}$  = presiunile partițiale ale componentilor fazei gazoase.

Constanta de echilibru se poate exprima prin relația:

$$\lg K_p(8) = 5,991 - 0,233 \cdot 10^{-3}T - 1,083 \lg T - \frac{6414}{T} - \frac{4400}{T^2} \quad (11)$$

T = temperatura absolută  $^{\circ}K$ .

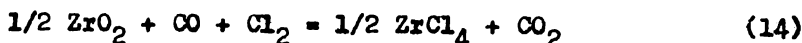
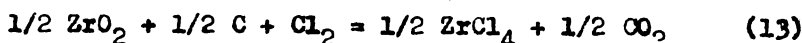
Comparind valorile compozitiei fazei gazoase calculate<sup>49</sup> și determinate experimental<sup>42</sup> pentru debite ale curentului de clor variind între 1,4 - 55,5 ml/minut se observă că

clorurarea bioxidului de zirconiu cu clor ~~gasă~~ are o eficacitate redusă chiar la temperatura de  $1500^{\circ}\text{C}$ . Rezultatele sunt prezentate în tabela I.

Tabela I

t $^{\circ}\text{C}$	Compoziția fazei gazocase % volum						
	Calculată <sup>49</sup>			Determinată experimental <sup>42</sup>			
	ZrCl <sub>4</sub>	O <sub>2</sub>	Cl <sub>2</sub>	ZrCl <sub>4</sub>	O <sub>2</sub>	Cl <sub>2</sub>	K <sub>p</sub> (8)
1000	0,200	0,200	99,60	0,155	0,155	99,69	$2,41 \cdot 10^{-6}$
1100	0,368	0,368	99,26	0,276	0,276	99,45	$7,70 \cdot 10^{-6}$
1200	0,738	0,738	98,52	0,450	0,450	99,10	$2,06 \cdot 10^{-6}$
1500	2,674	2,674	94,65	-	-	-	-

In prezența carbonului ca mediu reductor, clorurarea bioxidului de zirconiu se realizează conform reacțiilor:



Variatia entalpiei libere în cazul reacțiilor de mai sus corespunde unor valori negative și s-a calculat, considerind că fiecare este rezultante reacției 8, cu următoarele reacții:



In fig. 6 se prezintă variația entalpiei libere standard cu temperatura, pentru reacțiile 8, 12-14 și 15-17<sup>49</sup>.

Dacă clorurarea bioxidului de zirconiu se efectuează la temperaturi între  $600 - 1000^{\circ}\text{C}$ , reacțiile 12-14 decurg

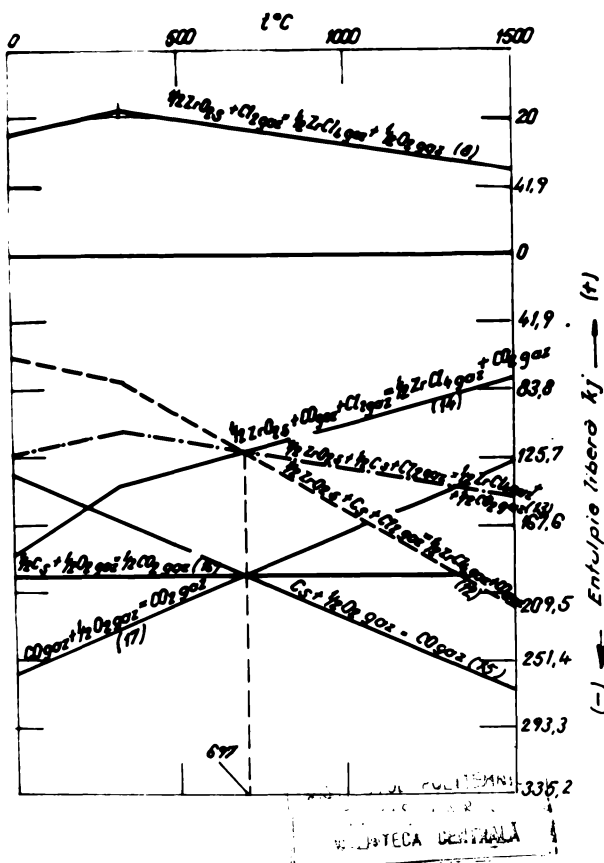
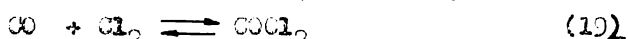
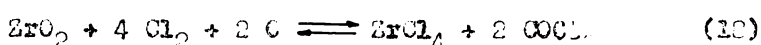


Fig. 6. Dependența între entalpia liberă standard și temperatura pentru reacțiile 8, 12-14 și 15-17.

concomitent, iar faza gazeosă conține  $\text{ZrCl}_4$ ,  $\text{Cl}_2$ ,  $\text{CO}_2$ . De aceea se semnalază și prezența monoxidului de carbon și a altor prodigi, ce pot resulta din interacțiunile excesivelor de carbon cu clorul:



Po baza relațiilor pentru constantele de echilibru și a valorilor entalpiciei libere a reacțiilor studiate se

calculat compoziția de echilibru a fazei gazoase la clorurarea bioxidului de zirconiu cu clor gazos în prezența carbonului solid ca mediul reducător. Rezultatele sîn prezentate în tabelă II.

Tabelă II

t °C	Presiunea parțială a gazelor la presiunea totală de 1 atm.				
	P <sub>CO</sub>	P <sub>CO<sub>2</sub></sub>	P <sub>ZrCl<sub>4</sub></sub>	P <sub>COCl<sub>2</sub></sub>	P <sub>Cl<sub>2</sub></sub>
500	0,023	0,483	0,494	2,54.10 <sup>-12</sup>	4,75.10 <sup>-10</sup>
600	0,192	0,357	0,451	12,21.10 <sup>-10</sup>	2,87.10 <sup>-8</sup>
700	0,425	0,181	0,394	9,63.10 <sup>-10</sup>	5,86.10 <sup>-8</sup>
800	0,598	0,051	0,351	9,40.10 <sup>-10</sup>	8,10.10 <sup>-8</sup>
1000	0,665	0,002	0,333	0,84.10 <sup>-10</sup>	9,86.10 <sup>-8</sup>

Rezultă că la temperaturi de reacție sub 700°, clorurarea bioxidului de zirconiu decurge cu precădere după reacția 13 (cu formare de CO<sub>2</sub>) iar la temperaturi mai mari, după reacția 12 (cu formare de CO); la temperatura de 1000°C clorurarea bioxidului de zirconiu decurge practic total după reacția 12. Rezultă de acenusea că în condiții de echilibru, în interval de temperaturi 400° - 1000°C, conținutul de tetraclorură de zirconiu în fază gazoasă este de 30 - 50 % volume; conținutul de clor și fosgen în aceleasi condiții este cuprins între 10<sup>-8</sup> - 10<sup>-3</sup> % volume, respectiv 10<sup>-10</sup> - 10<sup>-4</sup> % volume.

In realitate compoziția fazii gazoase poate să difere mult de cea corespunzătoare echilibrului de reacție. Asupra procesului de clorurare influențează și factori macrocinetici ca, vîtea curantului de clor și viteza de îndepărțare a produsilor de reacție, eficiența contactului la limită

între faze, compoziția și dimensiunea granulelor supuse clorurării etc.

Modul și ponderea cu care influențează acești factori asupra chimismului reacției de clorurare a bioxidului de zirconiu nu sunt încă suficient clarificate pentru a fi generalizate, iar concluziile s-au stabilit de la cat la caz prin determinări experimentale. În felul acesta se precizează de către unii autori existența celor trei domenii de reacție<sup>43,50</sup>:

- domeniul cinetic, pînă la  $520^{\circ}\text{C}$  cînd viteza de reacție crește rapid cu creșterea temperaturii și nu depinde de viteza currentului de clor;

- domeniul intermedian,  $520 - 700^{\circ}\text{C}$ ;

- domeniul de difuziune, peste  $700^{\circ}\text{C}$ .

În domeniul intermedian și de difuziune viteza de reacție ca și viteza de difuziune a clorului depind foarte puțin de temperatură și cresc cu creșterea vitezei de treceere a clorului. Pe baza acestor observații autorii recomandă conducerea clorurării la temperaturi mai mari de  $700^{\circ}\text{C}$ .

Referitor la rolul carbonului în reacția de clorurare a oxizilor unor metale rare se apreciază posibilitatea a trei mecanisme<sup>42,43</sup>:

- Scoaterea oxigenului de către clor și transferul lui la suprafața carbonului unde reacționează cu formarea de  $\text{CO}$  și  $\text{CO}_2$ .

- Reacția clorului cu carbonul cu formarea unor combinații volatile, care difuzează prin fază gazoasă către oxid și îl clorurează.

- Reducerea oxidului cu cărbune și clorurarea ulterioară a oxidului inferior format, sau, în unele cazuri a metalului (proces specific temperaturilor înalte).

Pe baza considerațiilor prezentate și a datelor din literatură<sup>20-50</sup> se pot preciza următoarele concluzii cu privire la conducerea procesului de clorurare a bioxidului de zirconiu :

1. In absența carbonului clorurarea bioxidului de zirconiu este ineficace chiar la temperaturi ridicate ( $1500^{\circ}\text{C}$ ); concentrația tetraclorurii de zirconiu în faza gazoasă, la echilibru, în acest caz este redusă (0,2-2,7 % volum).

2. In prezența carbonului clorurarea se poate efectua între  $500-1000^{\circ}$ , la concentrații de echilibru ale tetraclorurii în faza gazoasă ce variază între 30-50 % volum. Carbonul se adaugă în proporții de circa 15 % în raport cu cantitatea de oxid supus clorurării.

3. La temperaturi de  $500-1000^{\circ}\text{C}$  și în prezența carbonului solid reacția de clorurare poate începe la concentrații reduse de clor ( $10^{-7}$  % volum) la presiunea totală a fazelor gazoase de 1 atm. În cazul utilizării oxidului de carbon ca agent de reducere concentrația clorului este de circa  $10^{-3}$  % volum.

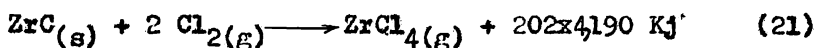
4. La temperaturile de reacție recomandate, creșterea vitezei curentului de clor favorizează reacția de clorurare dar pot avea loc an trenări ale produsilor de reacție. Se apreciază că viteza de trecere a clorului trebuie să se situeze în limitele 10-60 ml/minut.

5. Din punct de vedere cinetic se recomandă ca reacția de clorurare să se efectueze la temperaturi mai mari de  $700^{\circ}$ , cind variațiile de temperatură nu influențează procesul ci numai viteza curentului gazos ceea ce din punct de vedere tehnologic este avantajos.

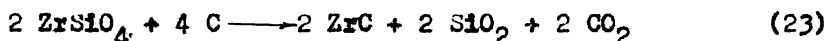
### I.2. Clorurarea carburii de zirconiu.

Una din fazele intermediare ale procesului Kroll original de obținerea zirconiului metalic este carburarea oxidelui și clorurarea carburii de zirconiu.

Carbura de zirconiu se clorurează la temperaturi relativ scăzute ( $350\text{--}500^{\circ}\text{C}$ ) prin reacția exotermă<sup>11,12,16</sup>:



Carbura de zirconiu se obține prin reducerea zirconiului sau a bioxidului de zirconiu cu cărbune, la temperaturi înalte ( $1500\text{--}2500^{\circ}\text{C}$ ), în atmosferă de hidrogen sau oxid de carbon<sup>11,12,51</sup>:



Clorurarea carburii de zirconiu prezintă următoarele avantaje :

1. Temperatură de reacție mai scăzută datorită caracterului exoterm al reacției de clorurare.

2. La clorurarea carburii de zirconiu nu se produce degajarea de CO, CO<sub>2</sub> sau alți produși de reacție (de ex. SiCl<sub>4</sub> la clorurarea zirconiului); deci în fază gazoasă se află numai cloruri de zirconiu în concentrație ridicată ceea ce favorizează considerabil procesul de condensare.

3. Absența totală a oxigenului în materialul supus clorurării crează posibilitatea de a se obține clorură, neimpurificată cu oxiclorură.

4. Pentru clorurarea carburii de zirconiu nu sunt necesare operații pregătitoare ca, brișetare cu lianți, coc-

sificare, uscare, etc. și în plus, temperatura ridicată de topire a carburii dă posibilitatea de a se utiliza cu ușurință operații de productivitate înaltă (de ex. fluidizarea).

Între insuficiențele procedeelor de clorurare a carburii de zirconiu se pot arăta :

1. Consum ridicat de energie în instalațiile pentru obținerea carburii.

2. Dificultăți de ordin constructiv și tehnologic în realizarea unor instalații mari și continui, din cauza cantităților mari de căldură degajată.

3. În prezența umidității în anumite condiții se poate produce descompunerea carburii cu degajare de acetilenă și alte hidrocarburi, ceea ce îngreunează procesul tehnologic atât sub aspectul clorurării cât mai ales în ce privește condensarea și colectarea tetraclorurii de zirconiu.

Unele aspecte cinetice ale procesului de clorurare a carburii de zirconiu sunt prezentate de asemenea în literatură<sup>52</sup> urmărindu-se cu precădere influența unor factori macrocinetici ca viteza curentului de clor, temperatura, dimensiunea particulelor etc.

De remarcat că foarte important pentru conducerea unui proces tehnologic, faptul că prin formarea la suprafața particulelor de carbură a unui strat de "zgură" de carbon care crește continuu, este frinată difuziunea clorului spre interiorul particulei. Aceasta impune o corelare foarte precisă a vitezei curentului gazos cu temperatura de reacție și dimensiunea particulei.

## C A P I T O L U L II.

### PURIFICAREA PRELIMINARA A TETRAACLORURII DE ZIRCONIU CU HAFNIU.

Tetraaclorura de zirconiu obținută prin clorurarea concentratelor zirconifere sau a bioxidului de zirconiu natural conține alături de hafniu, impurități sub formă de cloruri de Fe, Si, Al, Ni, Ti, Cr, etc. Purificarea preliminară de acestea precede întotdeauna operația de dehafnieri.

O primă purificare se realizează deja în procesul de condensare a amestecului de cloruri rezultat la clorurare. În general, impurități ca  $\text{FeCl}_3$ ,  $\text{FeCl}_2$ ,  $\text{CrCl}_3$ ,  $\text{AlCl}_3$  care au temperatură corespunzătoare punctului triplu mai ridicată ca temperatura din condensator se vor depune în stare solidă. Pentru alți comprienți ai amestecului de vaporii ca,  $\text{TiCl}_4$ ,  $\text{SiCl}_4$ ,  $\text{CCl}_4$ , etc., temperatura corespunzătoare punctului triplu este mai scăzută decât temperatura din condensator și deci se vor depune ca fază lichidă. În ambele cazuri temperaturile și presiunile de condensare sunt mult mai scăzute ca cele corespunzătoare parametrilor critici. În sfîrșit, în amestecul gazos există întotdeauna și componente necondensabile în condițiile obisnuite de lucru ale condensatorului și care în consecință vor părăsi instalația în stare gazosă :  $\text{CO}$ ,  $\text{CO}_2$ ,  $\text{COCl}_2$  etc.<sup>43</sup>.

O metodă eficace în special pentru separarea ferului și aluminiului este purificarea cu săruri. Principiul pro-

cesului constă în faptul că clorurile de Al, Fe, Zr(Hf), etc., formează cu clorurile metalelor alcaline (Na și K) combinații complexe cu stabilități termice diferite, cu temperaturi de fierbere și volatilități diferite<sup>53-59</sup>.

In figura 7 se arată posibilitatea de a reacționa a unor cloruri cu clorurile metalelor alcaline, în funcție de poziția elementului în sistemul periodic apreciindu-se totodată și influența caracterului legăturii din rețeaua cristalină și a structurii acesteia asupra temperaturii de fierbere și de topire a clorurilor respective<sup>43</sup>.

I	II	III	IV	V	VI	VII
HCl	—	—	—	—	—	—
LiCl	<i>BaCl<sub>2</sub></i>	<i>BeCl<sub>3</sub></i>	<i>CCl<sub>4</sub></i>	—	—	—
NaCl	<i>MgCl<sub>2</sub></i>	<i>AlCl<sub>3</sub></i>	<i>SiCl<sub>4</sub></i>	<i>PCl<sub>5</sub></i> <i>POCl<sub>3</sub></i>	—	—
KCl	<i>CaCl<sub>2</sub></i>	<i>ScCl<sub>3</sub></i>	<i>TiCl<sub>4</sub></i>	<i>VCl<sub>4</sub></i> <i>VOCl<sub>3</sub></i>	—	—
RbCl <sub>3</sub>	<i>SrCl<sub>2</sub></i>	<i>YCl<sub>3</sub></i>	<i>ZrCl<sub>4</sub></i>	<i>NbCl<sub>5</sub></i> <i>NbOCl<sub>3</sub></i>	<i>MoCl<sub>5</sub></i> <i>Mo<sub>2</sub>Cl<sub>2</sub></i>	—
CsCl	<i>BaCl<sub>2</sub></i>	<i>LnCl<sub>3</sub></i>	<i>HfCl<sub>4</sub></i>	<i>TaCl<sub>5</sub></i>	<i>WCl<sub>6</sub></i> <i>WO<sub>2</sub>Cl<sub>2</sub></i>	<i>ReCl<sub>5</sub></i> <i>ReOCl<sub>4</sub></i>
—	—	—	<i>TaCl<sub>5</sub></i>	—	<i>UCl<sub>4</sub></i>	—

Fig. 7. Caracterul interacțiunii clorurilor elementelor rare cu cloruri ale metalelor alcaline, în funcție de poziția lor în sistemul periodic.

In partea dreaptă a liniei în trepte se situează clorurile ușor volatile, cu temperaturi de fierbere mai scăzute ca 400°C, acestea nu reacționează sau reacționează prea puțin cu clorurile metalelor alcaline (Na, K).

In partea stingă a liniei în trepte, (suprafețele hagurate) se află clorurile mai puțin volatile, ale căror temperaturi de fierbere nu depășesc  $967^{\circ}\text{C}$  ( $\text{ScCl}_3$ ); aceste cloruri formează cu clorurile elementelor alcaline (Na, K) combinații de stabilități diferite. Clorurile celorlalte elemente au volatilități deosebit de reduse, temperaturile lor de fierbere depășind  $1000^{\circ}\text{C}$ .

Incercările efectuate pentru diferite condiții, attestă o stabilitate termică ridicată a clorurilor duble ale ferului și aluminiului cu clorurile metalelor alcaline, în timp ce combinațiile analoge ale zirconiului și hafniului se descompun mai ușor. Se apreciază de asemenea că stabilitatea hexaclorhafniatilor alcalini este mai ridicată decât a hexaclorzirconatilor.

Mai jos sunt prezentate temperaturile de topire și de fierbere ale acestor combinații<sup>16</sup>.

<u>Combinatie</u>	<u>Temperatura de topire</u>	<u>Temperatura de fierbere</u>
	$^{\circ}\text{C}$	$^{\circ}\text{C}$
$\text{NaAlCl}_4$	152	870
$\text{NaFeCl}_4$	163	1060
$\text{Na}_2\text{ZrCl}_6$	648	descompunere
$\text{Na}_2\text{HfCl}_6$	660	descompunere
$\text{KAlCl}_4$	256	1017
$\text{KFeCl}_4$	249	1110
$\text{K}_2\text{ZrCl}_6$	798	descompunere
$\text{K}_2\text{HfCl}_6$	802	descompunere

In ceea ce privește volatilitatea acestor combinații s-a observat că în sistemele  $\text{Zr}(\text{Hf})\text{Cl}_4 - \text{NaCl}$  respectiv  $\text{Zr}(\text{Hf})\text{Cl}_4 - \text{KCl}$ , la temperaturi în jur de  $300-330^{\circ}\text{C}$  și în a-

mestec cu combinațiile corespunzătoare ale ferului și aluminiului, presiunile parțiale ale vaporilor sunt de 100-200 mm col Hg pentru  $ZrCl_4$ , 3-9 mm col Hg pentru  $FeCl_3$ , iar prezența  $AlCl_3$  în vapori nici nu se semalează.

Impuritățile de Fe, Si, Ti etc., se pot îndepărta de asemenea prin distilare respectiv condensare fractionată, dacă volatilitatea relativă a componentelor este ridicată (diferență mare între temperaturile de fierbere deci între presiunile de vapor) și dacă există o diferență suficientă de mare între temperaturile de fierbere și de topire (în caz contrar există dificultăți în procesul de condensare a vaporilor).

In fig. 8 se ordonează clorurile diferitelor elemente după temperaturile lor de fierbere crescătoare, și se redau diferențele dintre aceste temperaturi și temperaturile de topire corespunzătoare și care marchează intervalul de existență al stării lichide<sup>43</sup>.

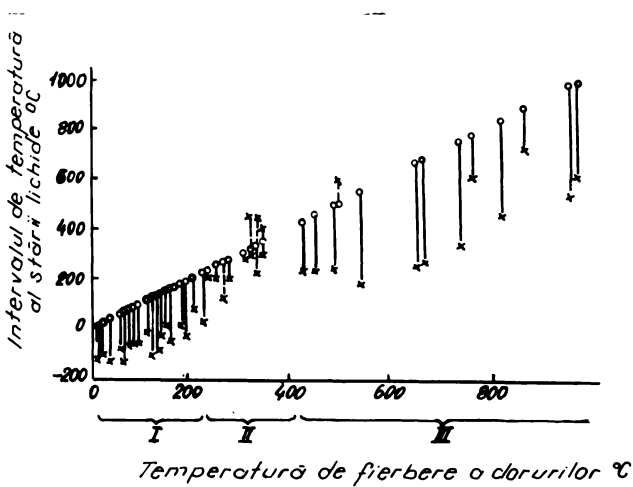


Fig. 8. Intervalul de temperaturi al stării lichide în funcție de temperatura de fierbere pentru diverse cloruri:

○ - temperatura de fierbere  
x - temperatura de topire.

Din această figură rezultă următoarea clasificare a clorurilor:

1. Cloruri volatile, cu temperaturi de fierbere la presiunea atmosferică între 0-210°C. În condiții obisnuite ele sunt lichide sau substanțe foarte ușor fuzibile cu un interval larg pentru starea lichidă (100-200°C). În stare cristalizată aceste cloruri au de regulă o rețea moleculară cu legătură de tip covalent predominantă.

2. Cloruri cu temperaturi de fierbere între 210-400°C și cu un domeniu mai restrâns al stării lichide (50-60°C); unele din ele ( $ZrCl_4$ ,  $HfCl_4$  etc) nu pot fi topite la presiunea atmosferică deoarece sublimă (temperaturile de sublimare sunt corespunzătoare, 331°C pentru  $ZrCl_4$ , ~314°C pentru  $HfCl_4$ <sup>11</sup>). În stare cristalizată aceste cloruri prezintă o rețea cu o fracțiune importantă de legătură ionică, în timp ce la trecerea în stare lichidă majoritatea devin dielectrice, practic cu legătură chimică de tip covalent.

3. Cloruri greu volatile, cu temperaturi de fierbere la presiunea atmosferică mai mari de 400°C și cu un domeniu deosebit de larg al stării lichide (circa 400°C), în stare cristalină ca și în topitură cu un procent de legătură ionică pronunțat crescătoare, odată cu creșterea temperaturilor de fierbere.

În realizarea practică a procesului de separare a unor asemenea cloruri, amestecul lor se încălzește la 350-500°C în atmosferă de gaz inert (argon) și se distilă într-o coloană cu umplutură de cărbune activ care produce reducerea clorurii ferice ( $FeCl_3$ ) la clorură feroasă ( $FeCl_2$ ), nevolatilă. Tetraclorura de zirconiu (cu hafniu) purificată se con-



densează la aproximativ  $200^{\circ}\text{C}$  iar clorurile de aluminiu, siliciu, titan, etc. trec în stare de vaporii într-un alt condensator, unde se condensează la temperatură cu mult mai scăzută.

Operația se realizează cu un randament de aproximativ 92,5 % obținându-se un produs ce conține 0,0015-0,03 % Fe, 0,002 % Si, 0,01 % Al și Ni.

Intr-un alt procedeu<sup>60</sup>, se utilizează zirconiu metalic, realizându-se o reducere selectivă cu transformarea tetraclorurii de zirconiu (cu hafniu) în triclorură, nevolută, și astfel se separă ușor prin distilare, celelalte cloruri (Fe, Si, Al, Ti, V etc.). Prin disproportionalare triclorura de zirconiu (cu hafniu) se transformă în tetraclorură.

## C A P I T O L U L III.

### SEPARAREA ZIRCONIULUI DE HAFNIU.

Zirconiul și hafniul sunt elemente situate în grupa IV b a sistemului periodic al elementelor (perioada 5 - Zr respectiv perioada 6 - Hf) cu proprietăți fizice și chimice foarte asemănătoare, rezultate din valorile apropiate ale razelor atomice,  $R_{Zr} = 1,45 \text{ \AA}$  și  $R_{Hf} = 1,44 \text{ \AA}$ , precum și asemănarea în configurația electronilor de valență (Zr:  $4d^25s^2$  și Hf:  $5d^26s^2$ )<sup>11</sup>; rezultă aproape o identitate de comportare a combinațiilor lor în diferitele procese fizico-chimice. Aceasta face ca operația de dehafniere, care reprezintă faza cea mai importantă în tehnologia obținerii zirconiului în stare pură să fie în același timp și cea mai dificilă.

Deoarece în procesele elaborate pînă în prezent pentru separarea zirconiului de hafniu se utilizează diverse combinații ale celor două elemente, în cele ce urmează nu se prezintă numai purificarea înaintată a tetraclorurii de zirconiu, ci și alte procese și procedee mai importante utilizate în scopul separării zirconiului de hafniu și care se bazează pe foarte fine diferențe între unele proprietăți ale combinațiilor acestor metale. Se urmăresc bineînțeles procesele și procedeele care prezintă interes practic, tehnologic.

III.1. Separarea zirconiului de hafniu prin  
metode bazate pe diferența de volati-  
tate a unor combinații ale acestor  
metale.

Rectificarea, sau distilarea fractionată este una din metodele industriale cele mai eficace și productive utilizate în tehnologia chimică pentru separarea și purificarea multor substanțe. În metalurgia neferoasă, rectificarea este utilizată pentru a obține în stare pură unele metale, Zn, Ti, V, Ge, Si, Ga, etc.<sup>61,62</sup>.

Cu toate avantajele reale ale acestui proces ca, simplitatea și compactitatea aparaturii, posibilitatea de realizare a unor procese continuu, automatizate și practic fără pierderi, extinderea rectificării în metalurgie este încă limitată de dificultăți tehnice experimentale, legate de realizarea unor temperaturi ridicate de fierbere și uneori de presiuni ridicate, de agresivitate, mare fată de materialele de construcție, de depunerile pe peretele aparatelor și pe conducte etc.

Alături de aceasta, procesul de rectificare este condiționat în mod hotărât de comportarea unor cantități mici de componente-impurități, cu solubilități diferite. Pentru purificarea înaintată a metalelor prin rectificare prezintă importanță impuritățile cu solubilitate redusă, în timp ce pentru o purificare obisnuită aceste impurități, nici nu sunt luate în seamă.

Separarea prin rectificare se aplică la purificarea combinațiilor volatile ale unor elemente, în special

cloruri, care corespund cel mai bine următoarelor condiții impuse pentru realizarea practică a rectificării<sup>63</sup>.

1. Substanțele supuse rectificării să fie suficient de volatile și stabile din punct de vedere termic.

2. Să existe un interval larg al stării lichide, la temperaturi convenabile.

3. Să prezinte un complex de proprietăți (densitate, viscozitate în stare lichidă și de vaporii, tensiune superficială etc.), care să determine condiții hidrodinamice favorabile și coeficienți buni de transfer de masă.

4. Componentele ce se separă să aibă o volatilitate relativă ridicată, deci diferențe mari între temperaturile de fierbere.

In fig.9 este arătat domeniul de utilizare al rectificării pentru separarea și purificarea elementelor, în cadrul sistemului periodic al elementelor<sup>63</sup>.

Factorul cel mai important și care determină creșterea gradului de separare prin rectificare este volatilitatea relativă exprimată prin raportul presiunii vaporilor saturanți ai componentelor amestecului. În domeniul diluțiilor mari (concentrație redusă a componentei - impuritate), volatilitatea relativă poate să nu depindă de concentrația amestecului. Această dependență se poate datora fie unor procese de asociere-disociere care pot avea loc în fază lichidă, fie datorită unei disociации termice a compușilor formați între componente - impurități sau între acestea și solvent (componenta care se purifică).

Influența unor factori externi ca ridicarea temperaturii sau a presiunii, asupra modificării favorabile a

		Grup e								O
perioada	grupa	I	II	III	IV	V	VI	VII	VIII	
1	H H <sub>2</sub>									He +
2	Li Li	Be +	B BCl <sub>3</sub>	C CCl <sub>4</sub>	N N <sub>2</sub>	O O <sub>2</sub>	F F <sub>2</sub>			Ne Ne
3	Na No	Mg ?	Al AlCl <sub>3</sub>	Si SiCl <sub>4</sub>	P PCl <sub>3</sub>	S S + Cl				Ar Ar
4	K K	Ca ?	Sc + Ti TiCl <sub>4</sub>	V VOCl <sub>3</sub>	Cr + Mn ?	Fe FeCl <sub>3</sub>	Co + Ni Ni(CO) <sub>4</sub>			Kr Kr
5	Rb Rb	Sr ?	Y + Zr ZrCl <sub>4</sub>	Nb NbCl <sub>5</sub>	Mo MoCl <sub>5</sub>	(Tc)	Ru + Rh + Pd ?			Xe Xe
6	Ag Cd	Cd + In	Sn SnCl <sub>4</sub>	Sb SbCl <sub>3</sub>	Te TeCl <sub>4</sub>	J <sub>2</sub>				
7	Cs Cs	Ba ?	ER + Hf HfCl <sub>4</sub> , HF	Ta TaCl <sub>5</sub>	W WC <sub>6</sub>	Re ReCl <sub>4</sub> , ReO <sub>4</sub>	Os + Ir + Pt ?			Rn +
	(Fr)	Ra ?	Ac ?	Th ThCl <sub>4</sub>	Pd ?	U UF <sub>6</sub>				

1      2      3      4

Fig. 9. Utilizarea rectificării pentru separarea și purificarea elementelor.

- 1 - utilizarea la scară industrială
- 2 - există date asupra cercetărilor în instalații de laborator
- 3 - în principiu este posibilă utilizarea rectificării
- 4 - nu este studiată posibilitatea de utilizare a rectificării.

volatilității nu este importantă. În schimb introducerea unei al 3-lea component printr-o rectificare extractivă, sau conducerea rectificării în condiții apropiate de starea critică, pot produce o modificare favorabilă a volatilității relative.

Purificarea prin rectificare în cazul concentrațiilor mici de componente - impuștăți se complică și prin faptul că nu există date precise cu privire la forma în care se găsește această impuritate<sup>63,64</sup>.

De asemenea, cu cît se micșorează concentrația acestora, impuritățile cresc ca varietate și deci prezența unei anumite impurități, care determină un anumit grad de separare, poate face ineficace rectificarea pentru alte impuriăți.

In cazul purificării înaintate, un rol important îl are și peretele aparatului, atât prin natura materialului din care este confectionat cât și prin unele proprietăți fizice, ceea ce explică și faptul că între componente care trebuie separate se află în primul rând elementele care intră frecvent în compoziția aliajelor, respectiv Fe, Si, Al, Cr, Ni, etc<sup>65</sup>.

Caracteristicile procesului de transfer de masă în coloane nu se modifică în cazul cînd nu se modifică esențial proprietățile fizico-chimice ale amestecului de separat, prin prezența impurităților. Diversitatea mare a acestora și deosebirile de proprietăți duc la o mare diversitate de construcție a coloanelor de rectificare utilizate în acest scop. De aici rezultă că cele mai sigure indicații privind realizarea practică și conducerea procesului se obțin prin cercetări experimentale pe coloane de laborator.

III.1.1. Separarea zirconiului de hafniu prin rectificarea producătorilor de reacție a tetrachlorurilor lor cu oxichlorura de fosfor.

Posibilitatea de separare a zirconiului de hafniu prin distilarea fracționată a compușilor de adiție a tetrachlorurilor lor cu oxichlorura respectiv pentaclorura de fosfor a fost arătată încă de A.E.Van Arkel și J.H. De Boer<sup>11,12</sup>.

Tetraclorurile de zirconiu și hafniu formează cu oxiclorura de fosfor compuși de adiție de tipul  $3 \text{ZrCl}_4 \cdot 2\text{POCl}_3$  și  $3 \text{HfCl}_4 \cdot 2\text{POCl}_3$ , având temperaturi de fierbere la presiunea atmosferică de  $360^\circ\text{C}$  respectiv  $355^\circ\text{C}$ . În fig. 10 se prezintă curbele tensiunilor de vaporii pentru aceste combinații în intervalul de la  $0,1 - 1 \text{ atm}^{12}$ .

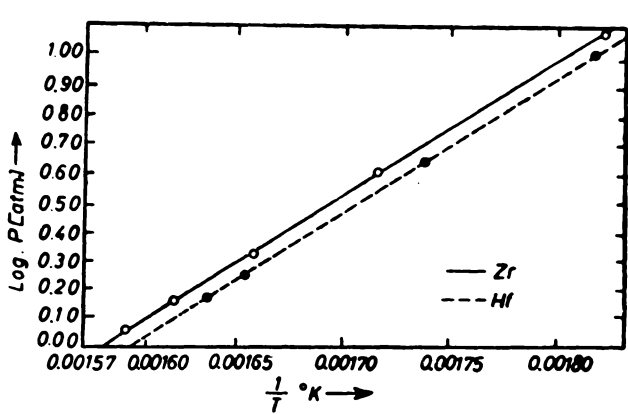


Fig. 10. Curbele tensiunilor de vaporii ai produsilor de reacție a  $\text{ZrCl}_4$  și  $\text{HfCl}_4$  cu  $\text{POCl}_3$ .

Mecanismul reacțiilor de adiție a tetraclorurilor de zirconiu și hafniu la oxiclorura de fosfor ( $\text{POCl}_3$ ) și pentaclorura de fosfor ( $\text{PCl}_5$ ), structura și stabilitatea chimică a complexelor formate a constituit obiectul a numeroase investigații experimentale și concluzii teoretice concretizate în mai multe lucrări<sup>18,66-71</sup>.

De asemenea există și date asupra echilibrului lichid-vapori, a solubilității și a volatilității relative, date care sunt necesare pentru stabilirea numărului de te-

lere teoretice, respectiv a eficacității coloanelor de rectificare<sup>72</sup>.

Compusul  $3\text{UfCl}_4 \cdot 2\text{POCl}_3$  este mai volatil decât  $3\text{ZrCl}_4 \cdot 2\text{POCl}_3$ , deci fractiunile de vîrf în procesul de distilare se îmbogățesc în hafniu.

Existența unui domeniu larg al stării lichide a acestor combinații face posibilă realizarea rectificării la presiune atmosferică, ceea ce reprezintă un avantaj esențial. Metoda prezintă însă și unele insuficiențe legate pe de o parte de valoarea mică a volatilității relative ( $\alpha = 1,16$ ), respectiv diferență mică între temperaturile de fierbere ale compușilor formati ( $\Delta t = 5^\circ\text{C}$ ) și pe de altă parte în complexarea procesului prin necesitatea separării ulterioare a z fosforului<sup>73</sup>.

Valoarea mică a volatilității relative impune ca în vederea realizării unei bune separări a zirconiului de hafniu să se utilizeze coloane cu umpluturi de mare eficacitate, corespunzătoare la mai mult de 50% din teoretiice și să se lucreze cu un raport mare de reflux ceea ce duce la scăderea productivității procesului și creșterea consumului de căldură necesar pentru vaporizare.

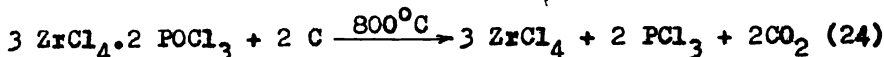
Referitor la problema pe care o constituie separarea ulterioară a fosforului din produsele de distilare, în literatură sunt descrise diverse procedee<sup>73</sup>:

1. Tratarea cu soluții de hidroxizi alcalini, proces care depinde în mare măsură de concentrația soluției de hidroxid, intensitatea de agitare, timpul de lucru, posibilitatea de spălare etc. Chiar în condițiile unui exces de hidroxid față de cantitatea teoretică nu se obține o separare completă (în hidroxidul de zirconiu se mai găsește 0,08-0,05

% fosfor raportat la bioxidul de zirconiu).

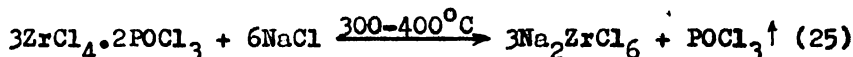
2. La interacțiunea compușilor respectivi cu alcooli (metilic sau etilic) se formează soluții din care sub acțiunea amoniacului (soluție apoasă) rezultă hidroxid de zirconiu care mai conține 0,2-0,15 % fosfor calculat față de  $ZrO_2$ .

3. Vaporii produsului zirconifer se trec peste cărbune poros la temperatura de  $800^{\circ}C$ , cînd aici loc reacția

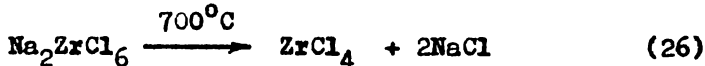


$PCl_3$  degajat, cu temperatura de fierbere de  $+75^{\circ}C$  poate fi direct convertit în  $PCl_5$  sau  $POCl_3$ .

4. La încălzirea produsului zirconifer cu clorură de sodiu are loc reacția:



După distilarea oxiclorurii de fosfor ( $t_f = 107^{\circ}C$ ),  $Na_2ZrCl_6$  disociază la cald,



Se obține cu un randament de 85 - 88 % tetrachlorură de zirconiu cu un conținut de fosfor de 0,005-0,003 %.

Referitor la performanțele proceșului de distilare a clorurilor complexe ale zirconiului și hafniului cu oxiclorura de fosfor se semnalează posibilitatea de a obține, după mai multe distilări un produs cu un conținut mai redus de 0,01 % Hf<sup>117</sup>, 73, 74.

III.1.2. Separarea zirconiului de hafniu prin rectificarea directă sub presiune a tetrachlorurilor lor.

Rectificarea directă a tetrachlorurii de zirconiu

și hafniu în vederea separării celor două elemente este o metodă de perspectivă, dar care implică serioase dificultăți practice, prin faptul că se realizează în domenii apropiate de starea critică.

Conducerea acestui proces, chiar în instalații mici de laborator a necesitat un studiu minuțios, teoretic și practic, al proprietăților acestor combinații precum și al echilibrului lichid-vaporii, care corelează presiunea și temperatura cu concentrația amestecului de separat și prin care se precizează condițiile de lucru.

În tabela III sunt prezentate proprietățile fizice ale tetraclorurilor de zirconiu și hafniu în stare pură, iar în tabela IV proprietăți ale tetraclorurilor precum și amestecului de tetraclorură de zirconiu cu 30 % moli tetraclorură de hafniu, pentru comparare, alături de tetraclorura de carbon, la diferite presiuni ale vaporilor saturanți.

Valorile sunt extrase din literatură<sup>75-79</sup> și prezintă interes practic deosebit.

Ceea ce atrage atenția la examinarea acestora este să sint, pe de o parte valorile ridicate ale presiunii vaporilor saturanți la punctul triplu (la presiunea atmosferică ambele combinații prezintă fenomenul de sublimare), ceea ce demonstrează că rectificarea se poate face numai sub presiune excedentară, iar pe de altă parte intervalul considerabil mai redus al stării lichide la  $HfCl_4$  față de cel al  $ZrCl_4$  îngreunează procesul de separare. Intervalul stării lichide este determinat de diferența între temperaturile critice și cele corespunzătoare punctului triplu și reprezintă maximum 70°C în cazul tetraclorurii de zirconiu și 20°C în cazul tetraclorurii de hafniu.

Tabela III

Proprietarea	ZrCl <sub>4</sub>	HfCl <sub>4</sub>
Temperatura de sublimare, °C la presiunea de 10 <sup>5</sup> N/m <sup>2</sup>	331 ± 0,7	313,7 ± 0,5
Căldura de sublimare kJ/mol (la temperatura de sublimare)	99,3 ± 4,19	98,5 ± 4,19
<u>Punctul triplu :</u>		
- temperatura, °C . . . . .	437,3 ± 0,5	432 ± 0,5
- presiunea N/m <sup>2</sup> . . . . .	22,8.10 <sup>5</sup> ± 0,5.10 <sup>5</sup>	45,9.10 <sup>5</sup> ± 0,5.10 <sup>5</sup>
- căldura de topire, Kj/mol. . . . . . . . .	58,7 ± 4,19	75,4 ± 3,4,19
- căldura de vaporizare, Kj/mol .. . . . . . . .	43,6 ± 0,5.4,19	27,2 ± 0,6.4,19
- densitatea lichidului, Kg/m <sup>3</sup> . . . . . . . . .	1640	1820
- densitatea vaporilor, Kg/m <sup>3</sup> . . . . . . . . .	125	435
- Volum molar, lic. cm <sup>3</sup> /mol. .	149 ± 9	180 ± 6
- Volum molar, vaporii cm <sup>3</sup> /mol	1830 ± 25	736 ± 25
<u>Punctul critic :</u>		
- temperatura, °C	505	449,2
- presiunea, N/m <sup>2</sup>	58,8.10 <sup>5</sup>	58,9.10 <sup>5</sup>
- volum molar, cm <sup>3</sup> /mol	302,1	303,6

In condensatorul instalației de rectificare, temperatura minimă este determinată de temperatura de topire a substanței care distilă și trebuie să fie cu 2-3°C mai ridicată ca aceasta. Temperatura maximă din condensator trebuie să fie cu circa 10-12°C sub temperatura critică pentru a se asigura o viteză corespunzătoare de formare a fazei lichide, adică a refluxului în coloană<sup>80</sup>.

In baza celor amătate rezultă că pentru ZrCl<sub>4</sub> diferența maximă de temperatură posibilă în condensator este de 50-53°C, iar pentru HfCl<sub>4</sub>, 6-8°C.

Tabela IV

Proprietatea	$ZrCl_4$		$HgCl_4$	$ZrCl_4 + 30\% HgCl_4$	$CCl_4$
	$20 \cdot 10^5$ N/m <sup>2</sup>	$43,5 \cdot 10^5$ N/m <sup>2</sup>	$43,5 \cdot 10^5$ N/m <sup>2</sup>	$28 \cdot 10^5$ N/m <sup>2</sup>	$10^5$ N/m <sup>2</sup>
Temperatura lichidului °C	457	484	434	439	76,6
Densitatea lichidului, Kg/m <sup>3</sup>	1510	1300	1390	1660	1430
Densitatea vaselor porilor, Kg/m <sup>3</sup>	170	270	320	210	5,5
Viscozitatea lichidului, N.s/m <sup>2</sup>	$27 \cdot 10^{-3}$	$18 \cdot 10^{-3}$	$24 \cdot 10^{-3}$	$32 \cdot 10^{-3}$	$50 \cdot 10^{-3}$
Viscozitatea vaselor porilor, N.s/m <sup>2</sup>	$5 \cdot 10^{-3}$	$6,5 \cdot 10^{-3}$	$5,4 \cdot 10^{-3}$	$4,6 \cdot 10^{-3}$	$1,2 \cdot 10^{-3}$
Tensiunea superficială, N/m	$4,3 \cdot 10^{-3}$	$1,6 \cdot 10^{-3}$	$1,7 \cdot 10^{-3}$	$5,1 \cdot 10^{-3}$	$19,5 \cdot 10^{-3}$
Caldura de vaporizare, Kj/mol	40,1	28,8	23,4	38,0	30,5

Efectuarea rectificării în apropierea stării critice ridică c drept, probleme tehnice importante, dar în același timp introduce și unele avantaje incontestabile<sup>81</sup>.

Valorile apropiate ale temperaturilor critice și ale topirei determină valori mici pentru tensiunile superficiale și deci amplitudinile respective se vor comporta ca și lichide care umectează bine metalul sau sticla, ceea ce permite utilizarea lor pentru rectificare a unor coloane simple, cu ampluturi eficiente.

Tetrachlorurile de zirconiu și hafniu au viscozități mici în stare lichidă, ceea ce le lățuri de tensiunea sur-

perțificiali redusă, le face să fie foarte fluide. Fluiditatea amestecului determină capacitatea de producție ridicată pentru colonnele de separare, comparabile cu cea pentru distilarea lichidelor organice obișnuite, la precum normale.

În afara situației rectificării aproape de starea critică reduc considerabil consumul de căldură necesar (căldurile întâpte de vaporizare la punctul critic sunt mici) și simplifică problema condensării vaporilor la vîrful coloanei.

Presiunile de vapori ale tetrachlorurilor de zirconiu și hafniu au fost studiate de mulți cercetători<sup>82-86</sup> și sunt prezentate sub formă relațiilor de tipul,  $\lg P = f(\frac{1}{T})$ . Astfel, pentru temperaturi pînă la punctul triplu,

$$\lg p = 11,741 - \frac{5390}{T} \quad (604 - 710^{\circ}\text{K}) \quad (\text{ZrCl}_4) \quad (27)$$

$$\lg p = 11,740 - \frac{5200}{T} \quad (590 - 710^{\circ}\text{K}) \quad (\text{HfCl}_4) \quad (28)$$

La temperaturi mai mari respectiv pînă la temperatura critică se recomandă relațiile:

$$\lg p = 9,0899 - \frac{3466}{T} \quad (710,5 - 774^{\circ}\text{K}) \quad (\text{ZrCl}_4) \quad (27a)$$

$$\lg p = 9,1604 - \frac{3266}{T} \quad (705,2 - 670^{\circ}\text{K}) \quad (\text{HfCl}_4) \quad (28a)$$

Un parametru deosebit de important și care arată toamna posibilitatea utilizării procesului de rectificare în scopul purificării unei substanțe este volatilitatea relativă ( $\alpha$ ). În cazul tetrachlorurilor de zirconiu și hafniu ea are o valoare ridicată comparativ cu alte combinații volatile ale acestor elemente. Valoarea lui  $\alpha$  a fost calculată din pre-

siunile vaporilor saturanți, în ipoteza că amestecul de tetracloruri de zirconiu și hafniu se comportă ideal (ascultă de legea lui Raoult), confirmată de aluna diagramelor de topire<sup>76</sup>, caracteristice pentru sisteme cu solubilitate reciprocă nelimitată.

Volatilitatea relativă  $\alpha$  a fost determinată și experimental prin metoda distilării în echilibru<sup>87</sup> la temperaturi între  $450^{\circ}$ - $480^{\circ}\text{C}$  deci aproximativ cu  $15\text{--}25^{\circ}\text{C}$  deasupra temperaturii de topire. Rezultatele experimentale indică valori medii,

$$\alpha_{\text{exp}} = \frac{P_{\text{HfCl}_4}}{P_{\text{ZrCl}_4}} \approx 1,9 \div 2,3 \quad (29)$$

apropiate de cele calculate în ipoteza aplicării legii lui Raoult și anume,  $\alpha_{\text{calculat}} = 2,2$  la temperatura de  $440^{\circ}\text{C}$ .

In fig. 11 se prezintă curba de echilibru,  $p = f(x,y)$  (presiunea parțială a vaporilor saturanți în funcție de concentrația lichidului și a vaporilor) la diferite temperaturi, pînă la temperatura critică<sup>88</sup>.

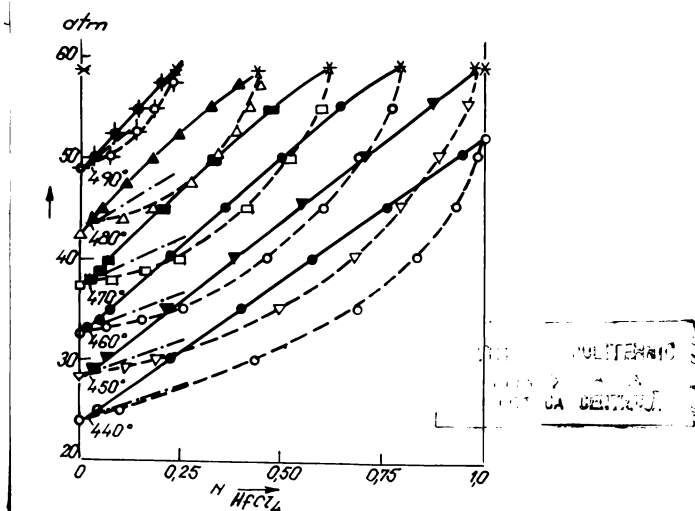


Fig. 11. Diagrama de echilibru pentru sistemul  $\text{ZrCl}_4 - \text{HfCl}_4$ ; \* - punctele critice.

In fig. 12 se prezintă ansamblul curbelor de echilibru în intervalul cuprins între temperatura de topire și cea critică<sup>80</sup>. Rezultatele au fost obținute experimental și verificate pe baza considerațiilor termodinamice.

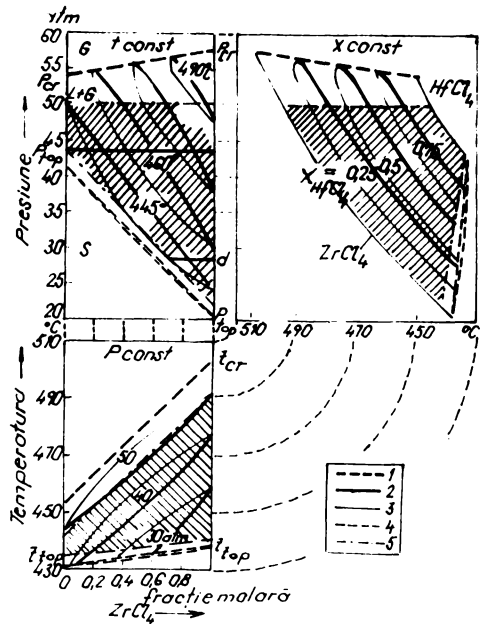


FIG. 12. Diagrama presiune-temperatură-compoziție pentru sistemul  $ZrCl_4$ - $HfCl_4$

- 1 - linia parametrilor critici
- 2 - linia lichenului
- 3 - linia vaporilor
- 4 - linia de topire
- 5 - domeniul în care e posibilă rectificarea.

Din examinarea curbelor de echilibru rezultă că, deși separarea amestecului de tetrachloruri de zirconiu și hafniu într-o coloană de rectificare este principial posibilă

(linia a-b, fig.12), procesul trebuie să se realizeze la presiuni ridicate (aproximativ 44 atm) cu păstrarea strictă a intervalului de presiune și temperatură. Mult mai rațional și economic se poate realiza procesul dacă, pornind de la o tetraclorură de zirconiu cu 1-2 % moli tetraclorură de hafniu se urmărește obținerea unui concentrat, produs de vîrf, cu aproximativ 25-30 % moli  $\text{HfCl}_4$  (linia c-d, fig.10) la presiuni de 26-28 atm și cădere de temperatură în condensator în jur de  $30^{\circ} - 40^{\circ}\text{C}$ .

Unele date privitoare la experimentarea procesului de rectificare a tetraclorurilor de hafniu și zirconiu, sub aspectul parametrilor practici de lucru, ca și datele care se referă la aspectele constructive, ale utilajului precum și la performanțele realizate sunt prezentate parțial în lucrările citate<sup>73,81,86,89-92</sup>.

În concluzie, pe baza celor arătate se pot face următoarele precizări în legătură cu rectificarea directă, sub presiune, a tetraclorurilor de zirconiu și hafniu :

1. Procesul de rectificare se poate realiza numai în condițiile unei presiuni excedentare, ceea ce apropie foarte mult condițiile de lucru de starea critică, implicând și avantaje, dar și complicații experimentale reale. În plus din punct de vedere al transferului de masă se apreciază o înrăutățire a acestui proces prin micșorarea coeficientelor de difuziune în apropierea stării critice, ceea ce reprezintă o sursă importantă de dificultăți în separarea tetraclorurilor de zirconiu și hafniu prin rectificare directă.

2. Conducerea practică a procesului de rectificare impune un control riguros al intervalului de temperaturi

în care se petrece procesul. Temperatura la vîrful coloanei în timpul distilării trebuie să se mențină între  $435\text{--}440^{\circ}\text{C}$  iar în blasă cu  $25\text{--}35^{\circ}\text{C}$  mai ridicată, cu o creștere posibilă la sfîrșitul rectificării pînă la maximum  $490\text{--}512^{\circ}\text{C}$ . În zona de rectificare a coloanei temperatura este de  $445\text{--}450^{\circ}\text{C}$ .

3. Experiențele efectuate în coloane metalice cu umpluturi atestă o eficacitate bună a procesului de separare; la rectificarea unui emstec cu un conținut de 1,5 - 2,5 % Hf s-a obținut mai mult de 50 %  $\text{ZrCl}_4$  (din cantitatea aflată în încărcătura inițială), în care, conținutul de hafniu nu depășește 0,05 %.

4. Nu este posibil să se obțină concomitant  $\text{ZrCl}_4$  și  $\text{HfCl}_4$  în stare pură, deoarece s-ar cere coloane de rectificare cu un număr mare de trepte teoretice și în același timp un raport mare de reflux ceea ce este greu de realizat într-un proces concret de rectificare. În majoritatea cazurilor coloanele utilizate au prezentat o eficacitate corespunzătoare la maximum 8 - 10 trepte teoretice, la umpluturi avind înălțimea echivalentă tălerului teoretic (I.E.T.T.) între 30-50 mm. În toate cazurile eficacitatea este mai mică decît cea determinată pentru amestecul etalon  $\text{C}_6\text{H}_6\text{--CCl}_4$ .

5. Conținutul maxim de  $\text{HfCl}_4$  în fracțiunea de vîrf nu poate depăși 20-25 % ceea ce este condiționat de faptul că la concentrații mai mari de  $\text{HfCl}_4$ , se poate produce o dereglaire a procesului de rectificare datorită scăderii semnificative a diferenței între densitatea fazelor lichide și de vapori, putîndu-se atinge chiar domeniul critic, (temperatura critică a tetrachlorurii de hafniu este cu  $56^{\circ}\text{C}$  mai redusă ca a tetrachlorurii de zirconiu).

Superioritatea procesului de rectificare sub presiune constă în productivitatea lui relativ ridicată, în posibilitatea ce o oferă de a se atinge o puritate înaintată a produșilor și de a se realiza în procese continuu. În același timp însă trebuie rezolvate o serie de probleme dificile, legate mai ales de alegerea materialelor de construcție care să reziste în mediu puternic agresiv, la temperaturi și presiuni ridicate. În ansamblu procesul necesită o aparatură complicată din punct de vedere constructiv.

III.1.3. Rectificarea extractivă a tetraclorurii de zirconiu și hafniu cu săruri topite.

Deoarece tetraclorurile de zirconiu și hafniu nu pot fi topite la presiunile obisnuite s-au făcut încercări pentru separarea lor prin distilare extractivă, utilizând în acest scop un solvent în care tetraclorurile să se dizolve bine și selectiv. Procesul de rectificare se realizează în coloane cu umpluturi, iar ca solvent se utilizează topituri de cloruri ale metalelor alcaline și alcalino-pămîntoase, clorură de zinc, de bismut, de staniu etc., precum și amestecuri ale lor<sup>93-99</sup>.

Vaporii se concentrează în hafniu către vîrful coloanei, iar în topitura din blasă se concentrează zirconiul. Temperatura de regim este de 350-500°C la partea inferioară a coloanei și 330-350°C la partea superioară în cazul utilizării ca solvent a topiturilor de clorură de sodiu sau clorură de potasiu; corespunzător, 470°C și respectiv 450°C în cazul utilizării clorurii stanoase.

Intre insuficiențele semnalate de majoritatea cercetătorilor se remarcă faptul că topiturile au o fluiditate redusă, ceea ce dezavantajează procesul hidrodinamic în co-loană<sup>99</sup>. De asemenea, la unele sisteme se constată o scădere a volatilității relative a tetraclorurilor de zirconiu și hafniu, ceea ce determină un consum mare de solvent pe unitate de masă de tetracloruri de separat și deci complicarea instalației, cu aparatură anexă necesară pentru vehicularea acestor solventi-topituri.

Procesul prezintă însă avantajul de a se lucra la presiune atmosferică și într-o aparatură confectionată din oțel obișnuit. Procesele preconizate nu au primit pînă în prezent o extindere la scară industrială, din cauza eficienței reduse a procesului de separare.

- III.2. Separarea zirconiului de hafniu prin reducere selectivă cu metale a tetraclorurilor log.

Halogenurile superioare ale zirconiului formează combinații complexe mai stabile, se reduc și se oxidează mai ușor ca cele corespunzătoare hafniului.

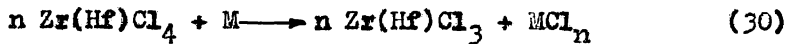
Pe baza acestei constatări generale s-au încercat procese de separare a zirconiului de hafniu prin oxidare sau reducere selectivă urmărindu-se să mări diferența lor de proprietăți, prin trecerea unuia din componentii de separat într-o formă în care să aibă o volatilitate diferită de a celorlalți componente<sup>11,16</sup>.

Au fost efectuate studii și calcule cinetice și termodinamice asupra variației entalpiei libere, stabilindu-se

posibilitatea de realizare a proceselor de acest fel și condițiile optime de lucru<sup>73</sup>.

De exemplu reducerea selectivă a tetrachlorurii de zirconiu (și hafniu) la cloruri inferioare se face cu ajutorul unor metale, cu precădere Zr și Al, conform reacției

100-106.



M = reducător (metal), n = valența lui.

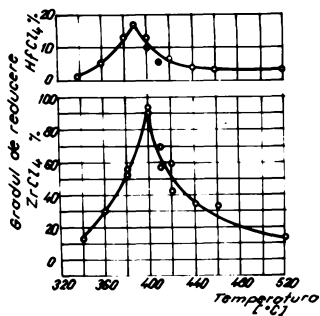


Fig. 13. Dependenta procentului de reducere a tetrachlorurilor de zirconiu și hafniu, de temperatură de reducere.

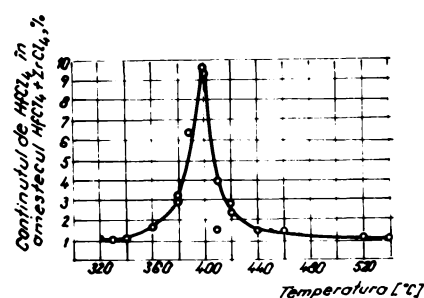


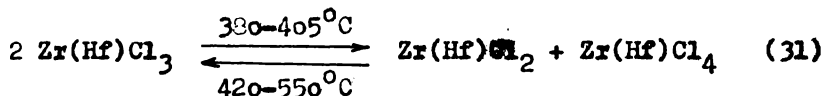
Fig. 14. Procentul de HfCl<sub>4</sub> în amestecul de tetrachloruri nereduse în funcție de temperatură de reacție.

Din graficul din fig. 13 se observă că există o diferență substanțială în ce privește reducerea tetrachlorurii de zirconiu și hafniu : în timp ce pentru ZrCl<sub>4</sub> maximul ei se observă la 400°C și atinge aproape 92 %, pentru HfCl<sub>4</sub> maximul este la 390°C și abia atinge 17 %. Rezultă că,

deocarece hafniul este mai puțin apt de a da combinații de valență inferioară, el se concentrează în tetrachlorura de zirconiu (și hafniu) încă neredușă și împreună cu aceasta se scoate din proces prin distilare simplă; triclorurile formate nevolatile nu vor distila.

In fig. 14 se prezintă variația conținutului de  $\text{HfCl}_4$  în amestecul de tetrachloruri nereduse (scoase din proces prin distilare simplă), în funcție de temperatura reacției de reducere<sup>73</sup>.

Pe de altă parte, tot din fig. 13 se desprinde că peste temperatura de  $400^\circ\text{C}$  pentru  $\text{ZrCl}_4$ , respectiv  $390^\circ\text{C}$  pentru  $\text{HfCl}_4$ , procentul de trihalogenură nu mai crește, din cauză că i se suprapune reacția de disproportiționare,

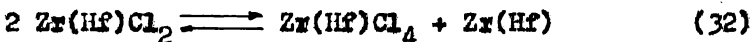


Faptul că această temperatură este mai ridicată în cazul  $\text{ZrCl}_3$  denotă stabilitatea mai mare a acestei combinații față de a  $\text{HfCl}_3$ . În timp ce în cazul  $\text{ZrCl}_4$  la  $400^\circ\text{C}$  efectul de disproportiționare nici nu se observă, la  $\text{HfCl}_4$ , la aceeași temperatură efectul de disproportiționare este vizibil prin pantă sensibilă descrescătoare a curbei. Reacția începe chiar în timpul procesului de reducere, deci tetrachlorurile nereduse și care se elimină prin distilare sunt mai concentrate în hafniu pe de o parte din cauză că  $\text{HfCl}_4$  se reduce mai puțin decât  $\text{ZrCl}_4$ , iar pe de altă parte din cauză că  $\text{HfCl}_3$  se disproportionează mai repede ca  $\text{ZrCl}_3$ .

La terminarea procesului de disproportiționare a  $\text{ZrCl}_3$  (după 3 ore la  $550^\circ\text{C}$ ) din triclorură se distilă cam 60%

$ZrCl_4$  cu un conținut de circa 0,18 % Hf, de la conținutul inițial de 1 % al amestecului.

Prin încălzire în continuare diclorurile disproportionează,



dar această reacție atinge echilibrul la 80 % (după 1,5 ore la  $650^{\circ}C$ ) și nu este practic totală ca disproportiunearea în cazul triclorurii, astfel să se obține numai 20 %  $ZrCl_4$  cu un conținut de aproximativ 0,029 % Hf. Deci se obține în urma reacțiilor arătate, 60 %  $ZrCl_4$  la disproportiunearea totală a triclorurii și 20 %  $ZrCl_4$  la disproportiunearea în proporție de 80 % a diclorurii. Deci din cantitatea totală de tetraclorură din amestecul inițial 80 % se regăsește cu un conținut substanțial redus de Hf. Restul de 20 % față de cantitatea de  $ZrCl_4$  din amestecul inițial rămîne sub forma neredușă și deci se elimină prin distilare, precum și ca diclorură nedisproporționată.

In felul acesta se poate obține o tetraclorură de zirconiu cu un conținut redus de Hf care poate fi utilizată direct la obținerea Zr metalic de înaltă puritate. Totodată se obține și un concentrat de hafniu.

Utilizând ca reducător praful de aluminiu, reacțiile se petrec la temperaturi mai puțin ridicate iar în același condiții de lucru ca cele de mai sus, și care se referă la reducerea cu Zr metalic, conținutul minim de Hf în  $Zr(Hf)Cl_4$  este mai mic, în schimb rendamentul procesului este mult inferior.

### III. 3. Cristalizarea fractionată.

Intre procedeele cele mai vechi în ordine cronologică, experimentate în vederea separării zirconiului de hafniu, un loc însemnat îl ocupă metoda cristalizării fractionate. Procesul nu s-a extins însă la scară industrială, din cauza indicilor mici de separare, a dimensiunilor mari a aparaturii determinată de cantitățile mari de soluții cu care se lucrează precum și din cauza duratei mari de lucru determinată de discontinuitatea procesului<sup>73,106</sup>.

Cristalizarea fractionată se bazează pe miciile diferențe existente între solubilitățile unor combinații de zirconiu și respectiv hafniu : oxicloruri sau oxibromuri, cit trați, acetilacetonăți, exalați, sulfati sau floruri duble do amoniu și potasiu (sărurile corespunzătoare de sodiu nu pot fi utilizate decoarece, fiind instabile, se descompun la cristalizarea din soluții apoase)<sup>12,16</sup>.

Dintre sărurile stabile, cea mai mare diferență de solubilitate (între sărurile de zirconiu și hafniu) s-a observat la hexaflorurile de potasiu și amoniu de tipul  $\text{Me}_2\text{Zr}(\text{Hf})\text{F}_6$ . În plus, sărurile de zirconiu prezintă o importantă variație a solubilității cu temperatura<sup>16</sup>, (tabela V),

Tabela V

Tempera- tură °C	Solubilitatea gr/l		Tempera- tură °C	Solubilitatea gr/l	
	$\text{K}_2\text{ZrF}_6$	$(\text{NH}_4)_2\text{ZrF}_6$		$\text{K}_2\text{ZrF}_6$	$(\text{NH}_4)_2\text{ZrF}_6$
20	19,8	273	60	96	565
40	-	353	80	-	722
50	-	400	100	305	-

Florura dublă de potasiu și hafniu ( $K_2HfF_6$ ) este de două ori mai solubilă decât sarea corespunzătoare de zirconiu, ( $K_2ZrF_6$ ).

In practică, florozirconatul tehnic, obținut din zircon și florosilicat de potasiu, se aduce în soluție la cald ( $80-90^{\circ}C$ ) și prin aceasta se separă de impurități. Din soluție, prin răcire cristalizează sareea de zirconiu, iar cea de hafniu se concentrează în soluții. Un număr relativ mare de recristalizări succeseive (12-18) conduc la o sare de zirconiu cu mai puțin de 0,05 % Hf. Recirculând soluțiile mură ale recristalizărilor, procesul de separare a Zr de Hf, poate atinge un randament de 80 %.

Florozirconatul de potasiu purificat de hafniu se dizolvă în apă și se precipită hidroxidul de zirconiu cu o soluție de amoniac în exces. Hidroxidul de zirconiu se trece în  $ZrO_2$  prin calcinare la circa  $900^{\circ}C$ . Soluțiile reziduale, după mai multe cicluri se scot din circuit și se prelucrează în vederea obținerii unui concentrat de hafniu.

Rezultă că este posibilă obținerea unei purități înalte a sărurilor de zirconiu, ceea ce face ca metoda să fie indicată în special la prelucrarea concentratelor în vederea obținerii zirconiului de puritate "pentru reactori", cu toate dezavantajele rezultate din discontinuitatea procesului.

In utilizarea sărurilor de amoniu diferența de solubilitate între sărurile de zirconiu și hafniu este mai mică, în schimb solubilitatea sărurilor de amoniu este mai mare ca a celor de potasiu (tab.V). In acest proces există însă posibilitatea ca pe lîngă zirconații de coordonatăie 6 să apară și cei de coordonatăie superioară de ex. heptafloruri,

la care diferența de solubilitate Zr-Hf este mică, astfel că randamentul procesului de separare se reduce considerabil. Pentru a se evita această posibilitate se adaugă în soluții HF, spre a se asigura menținerea acidității la un pH = 1- 2.

Date cu privire la aspectele teoretice legate de solubilitatea sistemelor prezentate și a chimismului reacțiilor din soluțiile apoase ale Zr și Hf, precum și date cu privire la realizarea practică și performanțele acestui proces sunt prezentate în lucrările<sup>106-112</sup>.

### III. 4. Extractia cu solventi.

Extractia lichid-lichid se bazează pe solubilitatea diferită a componentelor unui sistem, față de unul sau mai mulți dizolvanți, exprimată prin coeficientul de repartitie :

$$k_A = \frac{y_A}{x_A} \quad (33)$$

$k_A$  - coeficient de repartitie

$y_A$  - concentrația componentului A în extract

$x_A$  - concentrația componentului A în rafinat.

In chimia anorganică, extractia se utilizează pe scară largă, pentru separarea unor metale cu proprietăți asemănătoare (Zr-Hf, Nb-Ta, Cr-V, Ni-Co etc) și pentru obținerea lor cu un înalt grad de puritate.

Procesul are loc de obicei din soluții apoase, în care metalele se găsesc sub formă de săruri, utilizând ca solventi, lichide organice. În decursul extractiei, apar combinații complexe, care determină creșteri sau scăderi ale coeficientilor de repartitie, după cum asocierea moleculelor cu

formarea complexului are loc în faza organică sau în faza apă și apoasă. Complexii formati au solubilități diferite în apă și în solventi polari (eteri, alcoolii) sau nepolari ( $\text{CCl}_4$ ,  $\text{C}_6\text{H}_6$ ,  $\text{CHCl}_3$ , etc.).

Aciditatea soluțiilor de extractie este determinată asupra extractiei prin infleunța pe care o are asupra procesului de complexare și asupra valorii coeficientilor de repartiție<sup>73, 115</sup>.

La separarea Zr și Hf sunt bine conturate două direcții de bază ale procesului de extractie:

- extractia tiocianaților de Zr și Hf din medii sulfurice sau clorhidrice, cu diferenții solventi organici și,

- extractia din soluții azotice cu tributil fosfat<sup>11,12,104</sup>.

La extractia rodanurilor complexe, cercetările au fost dirijate în sensul precizării compoziției combinațiilor complexe formate, a stabilirii valorii coeficientilor de repartiție precum și a mecanismului procesului, la utilizarea de diferenții solventi și a unor adăosuri ca  $(\text{NH}_4)_2\text{SO}_4$ ,  $\text{NH}_4\text{SCN}$ ,  $\text{HCl}$ ,  $\text{HF}$ ,  $\text{BClO}_4$  etc.<sup>113-115</sup>

Rodanurile de Zr și Hf formează în soluții clorhidriice combinații complexe cu metilizobutilcetona ( $\text{CH}_3\text{-CO-C}_4\text{H}_9$ ), iar stabilitatea mai ridicată a combinațiilor cu Hf determină trecerea preferențială a acestuia în fază organică (extract), cu concentrarea Zr în fază apă (rafinat).

S-au făcut încercări de extractie cu  $\text{CH}_3\text{-CO-C}_4\text{H}_9$  din soluții sulfurice cu coeficienti de repartiție determinați experimental, mai mari decât în cazul soluțiilor clorhidrice. Procedeul însă nu s-a dezvoltat, pe de o parte din cauza instabilității soluțiilor sulfurice la concentrații

mai mari de zirconiu, pe de altă parte din considerente practice, extractia din soluții clorhidrice putindu-se efectua pornind de la tetrachlorură, care se obține în general, la prelucrarea unor concentrate zirconifere<sup>116-119</sup> nemaifiind necesară o prelucrare suplimentară pentru a obține alte săruri.

Sunt semnalate și lucrări cu privire la utilizarea ca solventi și a altor cetonă, ciclohexanona ( $\text{CH}_2$ )<sub>5</sub>CO, acetofenona  $\text{C}_6\text{H}_5 = \text{CO} - \text{CH}_3$ , etc. obținindu-se coeficienți de repartitie foarte ridicati (în jur de 250)<sup>120-121</sup>.

Încercările de extractie a rodanurilor de Zr și Hf efectuate din medii clorhidrice sau sulfurice cu eter dietilic, cu concentrarea Hf în fază organică, au fost limitate de volatilitatea ridicată a solventului, inflamabilitate etc., precum și de volumul mare al aparaturii, cerut de solubilitatea ridicată a eterului în apă<sup>104</sup>.

In aceiasi idee însă, au fost propusi ca agenți de extractie unii eteri ai acidului fosforic, de exemplu, eterul diizoamilic al acidului metilfosforic ( $\text{i-C}_5\text{H}_{11}\text{O}$ )<sub>2</sub>POCH<sub>3</sub>, soluție de 10 % în benzen sau în alți solventi inertii, introdusi pentru micșorarea viscozității și pentru diferențiere în ce privește densitatea, față de fază apoașă. În soluții sulfurice acesta formează cu rodanurile de Zr și Hf, combinații complexe de tipul  $[\text{M(OH)}_3 (\text{SCN})_2 \cdot 2(\text{i-C}_5\text{H}_{11}\text{O})_2\text{POCH}_3]$  sau  $[\text{M(OH)}_2 (\text{SCH})_2 \cdot 2(\text{i-C}_5\text{H}_{11}\text{O})_2\text{POCH}_3 \cdot \text{HSCN}]$ , cu trecerea preferențială a Hf în fază organică<sup>73,122-124</sup>. Din soluții sulfurice și în absența ionului tiocianic, extractia Zr practic nu se face, dar extractia Hf se face cu un coeficient de repartitie redus, ceea ce nu este rentabil.

Studiindu-se influența concentrației inițiale a Zr (cu aprox. 1 % Hf) s-a constatat o scădere a coeficienților

de repartitie cu cresterea concentrației inițiale, tinzând spre o valoare constantă la o concentrație relativ ridicată a Zr ( $20-40$  gr/l) (fig. 15), ceea ce este încă avantajos din punct de vedere practic, deoarece micșorează volumul instalației de extractie, cu atât mai mult cu cât gradul de separare a Zr și Hf rămâne practic constant în același interval de concentrații, în jurul valorii 19 :

Zr gr/l . . . .	9,8	14,6	19,6	28,9	39,2
K separare . . . .	19,5	18,6	22,0	20,0	16,9

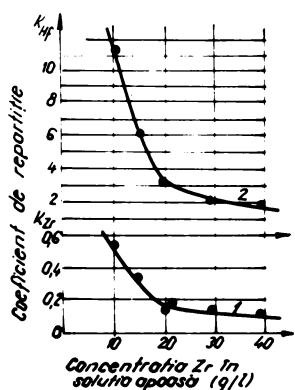


Fig.15. Dependența coeficienților de repartiție ai Zr și Hf de concentrația Zr în soluție apăoasă (g/l)  
1-Zr ; 2-Hf.

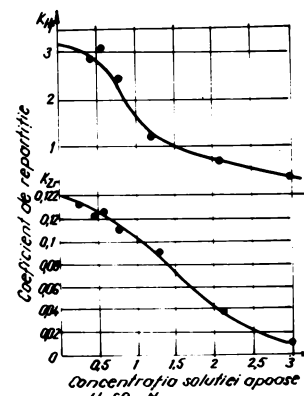


Fig.16. Dependența coeficienților de repartiție ai Zr și Hf de aciditatea soluției apăoase.

Referitor la influența acidității se remarcă o scădere a coeficienților de repartiție cu creșterea concentrației de  $H_2SO_4$  (fig. 16), și totodată și o scădere a gradului de separare a Zr și Hf (fig. 17), datorită formării unor combinații complexe anionice cu  $H_2SO_4$  care nu se pot

extrage.

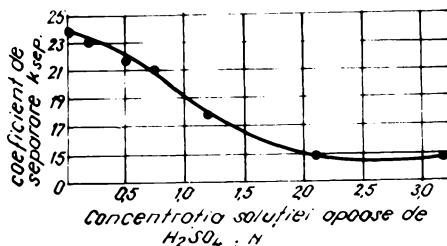


Fig. 17. Dependența gradului de separare a Zr și Hf de aciditatea soluției apăase.

In schimb, adaosul de tiocianat prin formarea cu ionul  $SCN^-$  a unor combinații complexe extractibile, favorizează extragerea atât a Hf cât și a Zr, dar, deoarece complexul cu Zr este mai puțin stabil, gradul de separare al celor două elemente crește. De asemenea crește și coeficientul de repartiție, cu mult mai mare pentru Hf comparativ cu Zr (tabela VI)<sup>73</sup>.

Tabela VI

Adaosul de $NH_4CNS$ la 1 l soluție, gr	$K_{Hf}$	$K_{Zr}$	$K_{separare}$
0	1,86	0,11	16,7
500	7,48	0,271	27,6
1000	16,30	0,324	50,0

S-au făcut încercări de extractie cu  $(i-C_5H_{11}O)_2POCH_3$  din soluții de  $HNO_3$  sau din soluții cu amestec de HCl și  $HNO_3$ . Rezultatele au rămas înăsă la faza încercărilor de

laborator, din cauza acțiunii extrem de corozive a soluțiilor asupra aparaturii utilizate precum și din cauza unor dificultăți tehnologice rezultând din folosirea unor cantități mari de acizi care se regenerează greu<sup>125</sup>.

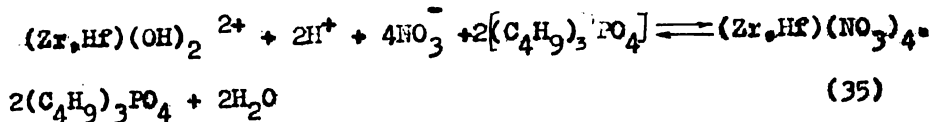
In mediile sulfurice, Hf poate fi extras din soluții de rodanuri de Hf și Zr, utilizând ca agent de extractie tributylfosfatul,  $[(C_4H_9)_3PO_4]$ <sup>126-132</sup>. S-a stabilit că în condiții de aciditate moderată Zr și Hf se pot extrage sub formă de complexe și cu tiocianat și două molecule de solvent  $[M(OH)_2(CNS)_2 \cdot 2(C_4H_9)_3PO_4]$ . S-a studiat influența adaosului de solvent inert,  $CCl_4$  și  $C_{n+2n+1}OH$  (în vederea micșorării viscozității soluției) constatăndu-se că extractia este mai bună pentru Hf decât pentru Zr și crește cu creșterea numărului de atomi de C din molecula alcoolului și cu concentrația acestuia. Efectele sunt atribuite modificării activității și constantei dielectrice. S-au determinat constantele de repartizie și s-a stabilit influența favorabilă asupra extractiei a unui amestec de acizi  $(HCl+HF+H_2SO_4)$ <sup>133,134</sup>.

Au fost experimentate și procedee de extractie a rodanurilor complexe de Zr și Hf utilizând ca agent de extractie tetrahidrofuraniul<sup>123,135</sup>.

In cazul în care mediul care se extrage este o soluție azotată, separarea Zr de Hf se poate face cu o soluție de tributylfosfat  $[(C_4H_9)_3PO_4]$ , cu formarea unor combinații complexe și trecerea zirconiului în fază organică. Mecanismul probabil al reacției poate fi redat de ecuația<sup>136-139</sup>,

$$(Zr,Hf)^{2+} + 2H^+ + 4NO_3^- + 2(C_4H_9)_3PO_4 \rightleftharpoons (Zr,Hf)(NO_3)_4 \cdot 2(C_4H_9)_3PO_4 + H_2O \quad (34)$$

sau luând în considerare hidratarea în faza apoasă.

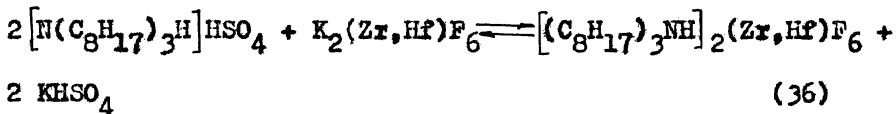


Deoarece densitatea tributilfosfatului este foarte apropiată de a soluției extrase ( $d^{25^\circ} = 0,973$ ) ceea ce îngreunează circulația normală a curentilor și separarea fazelor, agentul de extractie se diluează cu solventi inertii de densitate mai mică, în proporție de 40-50 %, (xilen, fractiuni petroliere etc.)<sup>140</sup>. De asemenea s-a apreciat influența favorabilă a concentrației initiale ridicate a zirconiului din soluția azotică, asupra coeficientilor de repartitie precum și a amestecului de acizi ( $\text{HNO}_3 + \text{HCl}$  sau  $\text{HClO}_4$ ) asupra gradului de separare<sup>131, 141-143</sup>. Din faza organică, zirconiul se extrage cu apă cu recuperarea solventului, iar din soluția apoasă obținută se precipită hidroxidul de zirconiu care se calcinează la  $\text{ZrO}_2$ . După acest procedeu Zr se separă de Hf la un conținut  $< 0,006\%$  Hf.

In alte lucrări sunt prezentate date privind realizarea practică a unor instalații continui de extractie pe coloane în contracurent din soluții azotice cu tributilfosfat<sup>144-152</sup>.

Alături de aceste procedee de bază (din soluții de zirconiu și din soluții azotice cu tributilfosfat), trioctilamina  $\text{N}(\text{C}_8\text{H}_{17})_3$  în soluții cu xilen sau diferiți solventi clorurați ( $\text{CCl}_4$ ,  $\text{CHCl}_3$ , etc) este semnalată în literatură ca mediu favorabil extractiei Zr din soluții sulfurice sau clorhidrice, stabilindu-se coeficientul de repartitie (valoare medie:  $K_{\text{Zr}} = 50$ ) într-un interval larg de aciditate și con-

centrație a solventului. Mecanismul probabil al procesului de extractie din soluții sulfurice ale florozirconatilor (hafniaților) de potasiu se poate reda prin ecuația<sup>153-159</sup>,



$\beta$  - dicetonele,  $R-COCH_2-CO-CF_3$ , în special tenoil-trifloracetona și trifloracetilacetona formeză cu sărurile de Zr și Hf complecși interni (chelați). Diferența între coeficienții de repartitie ai complecșilor cu Zr și Hf au dat posibilitatea utilizării lor la extractia selectivă și deci la separarea acestor metale<sup>160-167</sup>.

Există de asemenea preocupări în sensul utilizării unor eteri acizi ai acidului fosforic (eteri ai acizilor dihexil, diheptil, dioctil, difenil-fosforic) ca agenți de extractie din soluții sulfurice cu coeficienți medii de repartitie mai mari de 20, și alți solventi<sup>63, 168-170</sup>.

Un număr mare de lucrări sunt semnalate în literatură, cuprinzând preocupări în domeniul separării Zr și Hf în scopuri analitice, utilizându-se o gamă variată de solventi, cu diferite adasuri și în diferite condiții de lucru<sup>8, 9, 171-179</sup>.

### III.5. Observații privind perspectivele tehnologice ale procedeelor de separare prezentate.

Analizînd diversele posibilități de separare a zirconiului și Hf, rezultă că problema suscită încă deosebit interes, fapt ce a determinat dezvoltarea unor direcții foarte variate de investigare teoretică și experimentală,

concretizată în multe procedee, dintre care unele nu s-au putut dezvolta pînă la procese tehnologice aplicabile în instalatii industriale. Se poate face însă o evaluare comparativă a diferitelor metode preconizate, sub aspect economic, vizînd productivitatea specifică și volumul utilajelor de bază, accesibilitatea materiilor prime sau a reacțanților utilizati, precum și sub aspect tehnologic, privind în special simplitatea tehnologică adoptată, continuitatea și deci posibilitatea de automatizare a instalațiilor, ca și indicii de calitate, respectiv gradul de separare a Zr și Hf. De asemenea este deosebit de important din punct de vedere practic, înscrierea procesului de separare în schema tehnologică generală de păstrare a Zr din resursele naturale existente.

Procedee ca, declorurarea selectivă, precipitarea fractionată sau electroliza topiturilor au rămas la faza unor metode de laborator, din cauza eficacității reduse a separării, a volumului mare a aperaturii și a dureatei extinse a procesului  $12,104-106$ .

A fost experimentată adsorbția în coloane cu silicagel, care reține preferențial Hf dintr-o soluție metanolică de  $Zr(Hf)Cl_4^{180-183}$  sau cromatografia de distribuție, pe măsă celulozică, kiselgur sau politetraforetilenă (feffon-6), utilizând ca eluenti solventi organici (etanol, tributilfosfat, metilizobutilcetonă, etc.) în prezență de acid azotic  $12,104,184-186$ .

De asemenea s-au încercat metode de separare utilizînd rășini schimbătoare de ioni. În acest proces, Zr și Hf se separă fie sub formă de cationi complecsi pe rășini de tipul Dowex 50, KY-2, Vionit ATL, prin elutie în mediu

clorhidric, sulfuric sau citric, fie sub formă de anioni complexi pe răgini Dowex 1, Dowex 2, Amberlite IRA-400, prin eluție cu o soluție de acid clohidric sau în amestec cu acid florhidric<sup>5,16,73,104,187-193</sup>. Adsorbția și schimbul ionnic prezintă deocamdată interes tehnologic-industrial redus, atât din cauză că se cer cantități mari de metanol cît și din cauză productivitatea reduse a apăraturii cu toate că în ambele cazuri masa imobilă (silicagel, răgini etc) este accesibilă, existând și posibilitatea de realizare a unor procese continuu pe coloane funcționând în contracurent. În aceste prodeede se prelucră volume mari de soluții, ceea ce limitează simțitor valoarea lor practică. Ele pot fi de perspectivă dacă ar prelucra concentrate cu conținut ridicat de Hf, rezultate în alte procese de separare, precum și la refinarea unor combinații de Hf sau Zr.

Cristalizarea fractionată a hexaflorozirconatilor (hafniatilor) de potasiu că toate că implică o tehnologie simplă, ce poate fi asociată direct cu prelucrarea unor concentrate zirconifere, nu a fost extinsă la instalații industriale din cauză discontinuității și a dăurării mari a procesului tehnologic, ceea ce determină o productivitate specifică redusă a aparatelor. Totuși, variantele moderne ale acestui procedeu<sup>111,112</sup> se prezintă ca metode utilizate avantajos, în special pentru obținerea Zr ultrapur necesar tehnicii nucleare, deci cu un conținut de Hf < 0,01%.

Metoda reducerii selective ridică pentru moment dificultăți în ceea ce privește concordanța dintre viteza procesului de reducere și caracterul static al reactorului și care determină aglomerări de pulbere de  $ZrCl_3$  și Zr

nereacționat, fapt ce frânează reacția de reducere. Puritatea produsului (conținut < 0,03 % Hf) și faptul că se lucrează cu tetrachloruri dispunează practic de procesele intermediare de obținere a Zr și Hf, tetrachlorura obținută putând fi utilizată direct la obținerea Zr metalic prin reducere, după procedeul Kroll. De asemenea trebuie considerat ca un avantaj însemnat, faptul că se obține un concentrat cu conținut ridicat de Hf care se poate prelucra în vederea obținerii acestui metal.

Extractia lichid-lichid, utilizând o gamă foarte variată de solventi este de mai mult timp în atenția cercetătorilor atât ca proces industrial (extractia cu Metil-isobutilcetonă și Tributilfosfat), cât și ca metode analitice. Extinderea extractiei la scară industrială a fost determinată în primul rînd de posibilitatea realizării unor procese continui, în coloane funcționînd în contracurent, precum și de gradul mare de separare, de productivitate specifică ridicată a aparaturii precum și de faptul că în unele cazuri ea se pretează și pentru prelucrarea concentratelor de Hf rezultate în alte procedee. În schimb extractia se înscrie mai dificil în procesul tehnologic de obținere a Zr, atât din punct de vedere al materiilor prime utilizate (diferite combinații de Zr obținute de cele mai multe ori din tetrachlorură, în procese auxiliare), cât și din punct de vedere al produsului finit ( $ZrO_2$ ), care trebuie transformat în tetrachlorură. De asemenea un dezavantaj esențial îl constituie și faptul că reclama pentru extractie în general solventi scumpi, a căror obținere în stare pură necesită tehnologii speciale.

Performanțele realizate în procesul de distilare a compușilor de reacție a  $Zr(Hf)Cl_4$  cu  $POCl_3$ , atât în ce privește productivitatea cît și puritatea produsului, îl situează ca procedeu industrial cu o creștere rezervă, din cauză că se complică cu tehnologii suplimentare necesare eliminării fosforului care impurifică întotdeauna produgii rezultați în acest proces.

Rectificarea directă a  $Zr(Hf)Cl_4$  rămîne fără îndoielă una din metodele cele mai de perspectivă, în primul rînd prin faptul că se poate înscrie perfect într-o tehnologie continuu de obținere a Zr, pornind de la concentrate zirconifere, în absența unor procese sau reacții suplimentare, fără soluții apoase și fără prelucrări ulterioare. De asemenea prin natura sa, procesul de rectificare are o productivitate ridicată, iar puritatea produselor este bună. În plus oferă posibilitatea utilizării unui singur aparat și de construcție principal simplă (coloane cu umpluturi care includ baza și condensatorul).

Metoda însă implică dificultăți esențiale în ce privește adoptarea unor materiale de construcție stabilă în mediu agresiv la temperaturi și presiuni ridicate, precum și realizarea și menținerea simultană a unor limite severe de temperatură și presiune în apropierea stării critice, ceea ce ridică probleme însemnante într-un proces de exploatare curentă.

Că și la alte metode, se obține un concentrat de vîrf îmbogățit în Hf, care se poate prelucra în vederea obținerii acestui metal, în special prin metode de schimb ionic.

P A R T E A   II-a.

CERCETARI EXPERIMENTALE.



## C A P I T O L U L IV.

### CERCETARI EXPERIMENTALE ASUPRA OBTINERII $ZrCl_4$ .

Informațiile existente în literatură referitor la clorurarea bioxidului de zirconiu sunt în general mai sumare, datorită faptului că baddeleyta ( $ZrO_2$  natural 90-93 %) este mai puțin răspândită comparativ cu zirconul (61-67 %  $ZrO_2$ ) acesta fiind în prezent principala sursă utilizată în scopul obținerii unor concentrate zirconifere ce se pot valORIZA și prin clorurare, cu obținerea tetraclorurii de zirconiu.

Sunt semnalate de asemenea, rezultate și concluzii privind aspectele termodinamice ale reacției de clorurare a  $ZrO_2$ , date importante pentru stabilirea condițiilor de lucru în limitele impuse de legile termodinamicii, cu privire la posibilitatea de realizare a unei reacții chimice și a sensului ei, cu privire la starea de echilibru și compoziția fazelor la echilibru, precum și unele date cinetice vizînd viteza de reacție și rolul carbonului în procesul de clorurare<sup>3,4,11,12,16-46</sup>.

Sub aspect tehnologic însă, evaluarea cantitativă a unui proces se face prin intermediul randamentului și deci este necesar să se cunoască și influența unor factori macrocinetici ca viteza de trecere a fazei gazoase (clorul și produsii de reacție), compoziția materialului clorurat și

dimensiunea particulelor, temperatura de regim, etc. și care se pot cunoaște numai prin încercări experimentale. Corelarea acestora cu concluziile rezultate din studiile termodinamice și cinetice permite precizarea condițiilor reale, optimale.

In acest sens în special, datele existente în literatură (în majoritate brevete) sunt generale și incomplete și deci nu oferă o viziune clară asupra condițiilor practice impuse unei instalații tehnologice. De asemenea, în majoritate aceste date se referă la clorurarea unor concentrate zirconifere sau a zirconului. Este evident că legitățile de bază sunt aceleasi, dar specificitatea condițiilor de lucru nu este stabilită pentru clorurarea  $ZrO_2$  pur. Procesul clorurării bioxidului de zirconiu pur este acela care, fie că precede operația de dechafniere prin distilarea  $Zr(Hf)Cl_4$ , fie că precede operația de reducere a  $ZrCl_4$  în scopul obținerii zirconiului, (în majoritatea procedeeelor de separare a Zr de Hf se obține în final  $ZrO_2$ , care se clorurează în vederea prelucrării la metal).

De asemenea, în practică, procedeul prin care se face clorurarea zirconului, întâmpină complicația principală a faptului că se obține concomitent și  $SiCl_4$ , care condensându-se la temperaturi mult mai scăzute (temperatura de fierbere  $t_f = 57^{\circ}C$ , cere o temperatură în condensator de circa  $-10^{\circ}C$ ), necesită instalații suplimentare de condensare (investiții mai mari) precum și un consum mai ridicat de clor.

Referitor la clorurarea carburii de zirconiu informațiile sunt și mai limitate, ceea ce se poate explica prin faptul că însăși tehnologia obținerii carburii de zir-

coniu este mai pretențioasă iar cercetările pînă în prezent sunt dirijate mai ales în această direcție și în plus, utilizarea carburii de zirconiu ca atare, în diferite sectoare industriale este cu mult mai importantă decît ca materie primă pentru obținerea  $ZrCl_4$ .

În cele ce urmează se prezintă concluziile rezultate din încercări experimentale proprii, efectuate în scopul obținerii  $ZrCl_4$  prin clorurarea cu clor gazos a unui bioxid de zirconiu și a unei carburi de zirconiu pure, care au permis precizarea unor condiții optime de lucru și totodată verificarea comparativă cu datele existente, referitor la clorurarea concentratelor zirconifere respectiv a zirconului.

De la început se poate afirma că s-au obținut randamente ridicăte, (peste 99 % în unele condiții), randamente exprimate ca grad de transformare a bioxidului de zirconiu și determinate din cantitatea de  $ZrO_2$  rămas nereacționat.

În toate determinările s-a urmărit influența temperaturii de lucru, a vitezei de trecere a clorului, a timpului de clorurare și a compozitiei granulelor (raport  $ZrO_2/C$ ) asupra randamentului, precum și forma produsilor obținuți prin condensare, fază de mare importanță în procesul tehnologic, căci varietățile obținute determină pierderile de produs, calitatea acestuia și deci randamentul global al procesului.

#### IV. I. Clorurarea $ZrO_2$ .

Încercările au fost efectuate asupra unor pastile din  $ZrO_2$ , negru de fum, dextrină și apă, obținute prin extru-

dere, după o foarte atentă omogenizare prealabilă. Dimensiunea medie a granulelor a fost de  $3 \times 3$  mm, cu un conținut de cărbune de 15-25 %. (Compoziția indicată în literatură este de 81 %  $ZrO_2$ , 14,5 % C, 4,5 % dextrină și apă)<sup>16,42,43</sup>. Încercările de pastilare cu grafit pentru a se elimina introducerea dextrinei ca liant, respectiv a apei, nu a dat rezultate în sensul obținerii unor pastile cu rezistență mecanică corespunzătoare, chiar la presiunea de  $2500 \cdot 10^5$  N/m<sup>2</sup>.

Pastilele s-au uscat timp de 6-8 ore la 150°C și apoi s-au menținut într-un spațiu închis, la temperatura de 400°C, pînă la masă constantă. Compoziția medie a granulelor determinată după acest tratament pe mai multe probe este prezentată în tabela VII.

Tabela VII

Amestec	% $ZrO_2$	% C	$ZrO_2/C$
A	72	18	4
B	67	23	2,91

Încercările s-au efectuat pe cantități mici de granule ( $\sim 1$  gr) legat de disponibilitățile existente privind dimensiunile instalației experimentale (tub de clorurare cu diametrul de 13 mm).

Ca agent de clorurare s-a utilizat clorul îmbuteliat uscat în prealabil prin barbotare în mai multe vase spălătoare cu  $H_2SO_4$  concentrat și trecut în final peste  $CaCl_2$ . Debitul de clor, măsurat cu un manometru diferențial cu capilară etalonată, a fost stabilit prin încercări, ținînd seama de unele indicații referitoare la clorurarea Zirconului și

Baddeleytei, precum și de cantitatea stoichiometrică, pe bază reacțiilor posibile la clorurarea  $ZrO_2$  și corespunde valorilor prezentate în tabela VIII.

Tabela VIII

Debit	minim	optim		maxim		necorespunzător
Debit de clor $Q \text{ ml/min}$	8,33	16,66	33,30	50	75	100
Debit de clor $Q \text{ l/h}$	0,5	1,0	2,0	3,0	4,5	6,0
Viteza liniară $v \text{ mm/s}$	1,05	2,10	4,20	6,30	9,43	12,55

Gazele reziduale s-au trecut prin vasele cu acid sulfuric și apoi s-au neutralizat în soluții concentrate de hidroxid de sodiu.

Au fost efectuate și o serie de încercări utilizând ca agent de clorurare un amestec de  $Cl_2$  și  $CCl_4$ , obținut prin antrenarea tetraclorurii de carbon la temperaturi apropiate de temperatura de vaporizare, de către un curent de clor, și corespunzând aproximativ limitelor prezentate mai sus în ceea ce privește cantitatea globală de clor.

Pentru controlul temperaturii în cuptor s-a utilizat un termocuplu de Pt-PtRh păsat în zonă de reacție în afara tubului de clorurare.

Schema instalației experimentale cu explicarea elementelor componente este prezentată în fig. 18.

În inceputul fiecărei experiențe, instalația a fost vidată și spălată cu un curent de gaz inert uscat. Instalația s-a incălzit apoi rapid, iar clorul a fost admis cu debitul

constantă stabilită în momentul în care s-a atinsă temperatura proprieă de lucru.

După fiecare experiență instalația a fost răcitată iar după evacuarea produsului, rezidiul format din  $(\text{ZrO}_2 + \text{C})$  nereacționat s-a calcinat în curent de aer la temperatura de  $900^\circ\text{C}$  pînă la masă constantă. Din această cantitate s-a dedus randamentul de transformare.

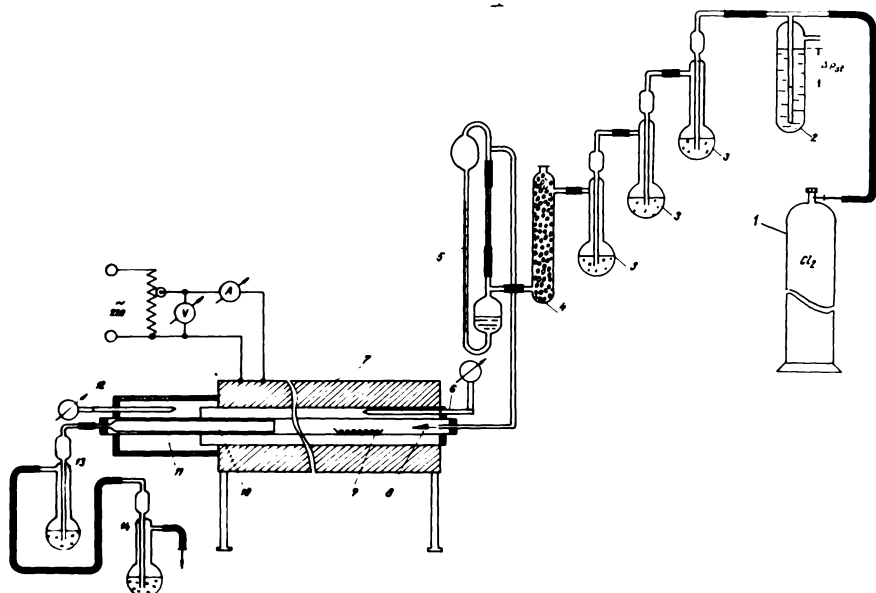


Fig. 18. Schema instalației experimentale la clorurare  $\text{ZrO}_2$  și  $\text{ZrC}$ .

1-butelie de clor; 2-vas de presiune; 3-vase spălătoare cu  $\text{H}_2\text{SO}_4$  concentrat; 4-vas de uscare cu  $\text{CaCl}_2$ ; 5-anerometru diferențial cu capilară etalonată; 6-termocuplu; 7-cuptor electric cu rezistență; 8-tub de clorurare; 9-nacelă din material ceramic pentru pastilele de clorurat; 10-tub colector pentru  $\text{ZrCl}_4$ ; 11-cuptor cu radiator; 12-termocuplu; 13-vas spălător cu  $\text{H}_2\text{SO}_4$  concentrat; 14-vas de neutralizare cu  $\text{NaOH}$ .

Observatie. La clorurarea cu amestec de clor și tetrachlorură de carbon în schema prezentată mai sus, după manometrul diferențial (5) pentru măsurarea debitului de clor, s-a introdus un vas de antronare pentru  $\text{CCl}_4$ , menținut la temperatură constantă de  $75^\circ\text{C}$  printr-un circuit de apă termostatată. Cantitatea de tetrachlorură entranță s-a determinat prin cintărire.

Luând în considerare cele arătate (cap.I.1) privind aspectele termodinamice și cinetice ale procesului de clorurare a  $\text{ZrO}_2$ , precum și unele date practice privind clorurarea Baddeleyitei și a Zirconului, s-au făcut mai multe experiențe preliminare stabilindu-se următoarele condiții de lucru:

Temperatura . . . . .	700-950 $^\circ\text{C}$
Compoziția . . . . .	* Tabela VII
Debit de clor . . . . .	Tabela VIII
Viteza de trecere a clorului. . . . .	Tabela VIII
Timp de clorurare . . . . .	10' - 90'

Determinările experimentale au urmărit stabilirea unor dependențe între randamentul de transformare și parametrii arătați mai sus; aceste dependențe sunt prezentate în graficile din fig. 18, 19, 20, 21, 22.

Examinarea dependentelor prezentate și analiza fenomenelor observate în timpul experiențelor efectuate, au permis conturarea următoarelor precizări, care constituie o contribuție cu unele date experimentale la tehnologia obținerii  $\text{ZrCl}_4$  din  $\text{ZrO}_2$  pur.

1. Randamentul de transformare crește cu creșterea temperaturii și a timpului de clorurare. Pentru orice

interval de timp, în limitele în care s-a lucrat, creșterea importantă a randamentului se realizează pînă la temperatura de  $850^{\circ}\text{C}$ ; peste această valoare, curbele se aplatizează, influența creșterii temperaturii asupra randamentului este neînsemnată (fig. 19).

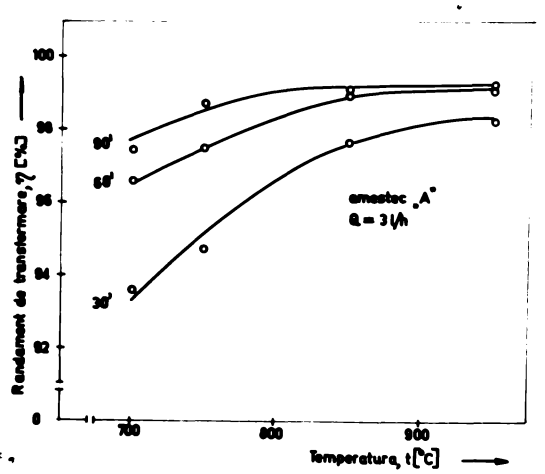


Fig. 19. Dependența dintre randamentul de transformare și temperatură, la debit constant de clor.

Această constatare, corelată cu dependența  $\gamma$ , de timpul de clorurare, (fig.20) sugerează posibilitatea de a se obține randamente bune, la temperaturi mai scăzute dar durată mai mare de clorurare (de ex. un randament de 98 % se poate obține la temperatura de  $950^{\circ}\text{C}$  în primele 20-30 minute, iar la  $750^{\circ}\text{C}$  în aproximativ 70 minute).

Rezultă că în procesul de clorurare a  $\text{ZrO}_2$  pur, temperatura optimă se situează la  $800-850^{\circ}\text{C}$  și practic pentru întregul interval de temperaturi considerat, la timpul de clorurare mai mare de 60 minute, randamentele se apropiie

foarte mult. Se remarcă deci, că în cazul clorurării  $ZrO_2$  pur, temperatura optimă este mai scăzută decât în cazul clorurării zirconului sau unor concentrate zirconifere, după datele din literatură  $950\text{--}1000^\circ\text{C}$ .

Intervalul larg de temperatură citat în majoritatea lucrărilor prezentate (Cap.I.1),  $500\text{--}1000^\circ\text{C}$ , nu este real din punctul de vedere al unei tehnologii, unde randamentul se mărește și cu alți factori arătați.

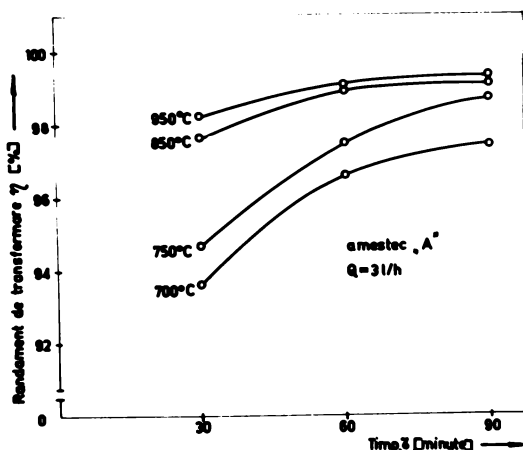


FIG. 20. Dependența dintre randamentul de transformare și timpul de clorurare, la diferite temperaturi și debit constant de clor.

2. Considerind ca optimă temperatura de  $850^\circ\text{C}$ , la un timp de clorurare de  $60'$  s-a urmărit influența debitului de clor asupra randamentului de transformare (fig.21, fig.22). Se remarcă existența și a unui debit optim, variația respectivă prezentând un maxim între  $1\text{--}2 \text{ l/h}$ . La diferiți tempi de clorurare, (pentru timpul de clorurare de  $10'$ ) randamentele

fiind inferioare valorii de 80 %, dependența nu s-a înscrise în graficul din fig. 22, prezentând însă aceasi variație),

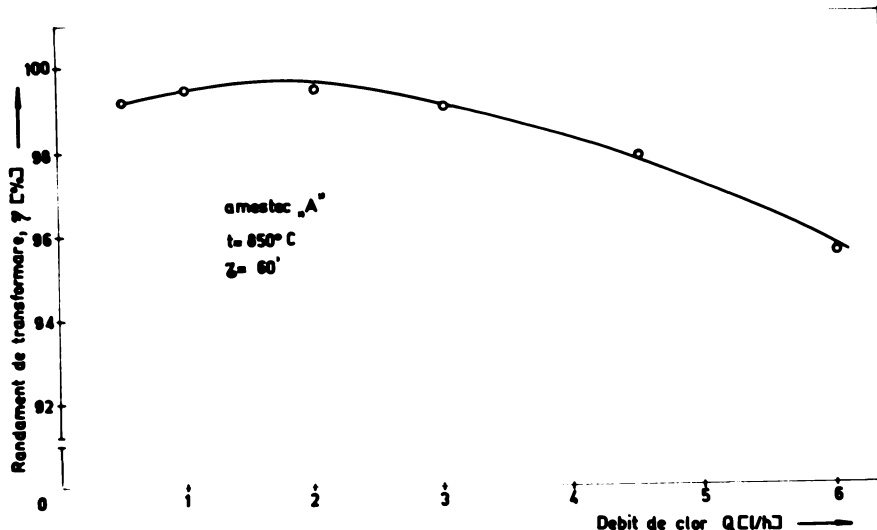


Fig. 21. Variația randamentului de transformare, în funcție de debitul de clor, la temperatura de  $850^\circ\text{C}$  și  $60'$  timp de clorurare amestec „A”.

Variatia constatată se poate explica prin faptul că la debite mici, cantitatea de clor este insuficientă, pe cind la debite mai mari decât cel optim, cînd viteza de treiere a clorului este mare, timpul de contact devine insuficient pentru desfășurarea reacției, deci consumul de clor se va micșora pe măsură creșterii debitului său, implicit a vitezei.

Alături de aceasta, la debite începînd de la circa  $6\text{--}8\text{ l/h}$  în condițiile instalației cu care s-a lucrat,  $\text{ZrCl}_4$  formată, este întreținută în stare de vapor și nu are timp suficient pentru a se condensa.

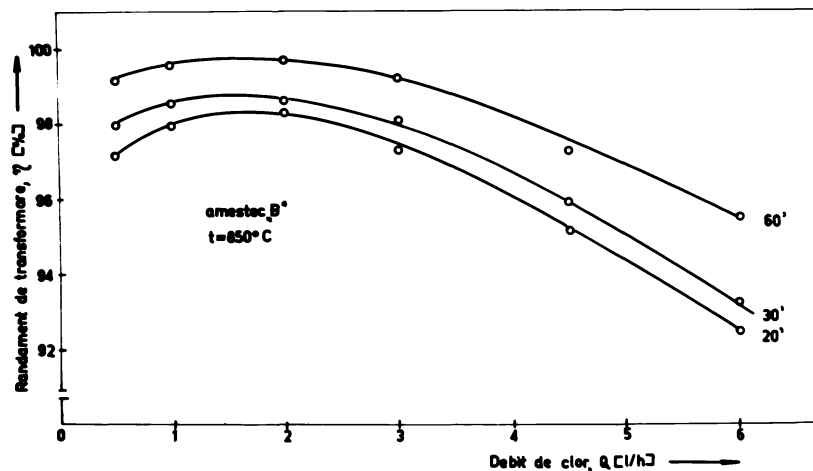


Fig. 22. Variația randamentului de transformare cu debitul de clor și timpul de clorurare la temperatură de  $850^{\circ}\text{C}$ , amostec „B”.

Acste observații se coreleză și cu unele indicații din literatură<sup>43,48,49</sup>, specificându-se că la temperaturi ridicate (peste  $750^{\circ}\text{C}$ ), reacția de clorurare se petrece în domeniul de difuziune, cind viteza de reacție depinde foarte puțin de temperatură și crește cu creșterea vitezei de treiere a clorului. Din datele obținute însă rezultă că această creștere are o limită și deci trebuie să existe un debit optim.

3. Referitor la variația randamentului în funcție de timpul de clorurare, la debit de clor optim și temperatură optimă se constată (fig.23) o creștere deosebit de bruscă în primele 20 minute, mai lentă pînă la  $60^{\circ}$ , după care randamentul rămîne practic constant.

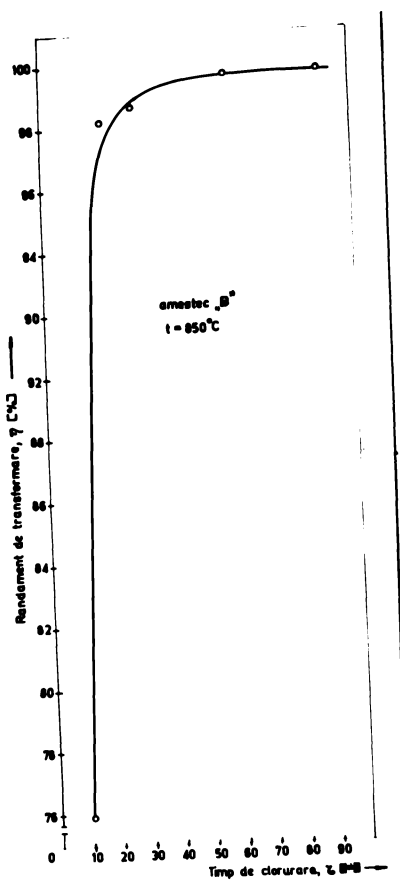


Fig. 23. Variatia randamentului de transformare in functie de timpul de clorurare, la debitul si temperatura optimă.

Din punct de vedere tehnologic această constatăre este importantă în vederea stabilirii condițiilor de lucru cu randamente bune la consum minim de energie.

4. Faptul că se constată o creștere a randamentului la o mică creștere a conținutului de C în amestecul susținut clorurării (de ex. de la 18 % la 23 %), la temperatura de  $850^{\circ}\text{C}$ , indică posibilitatea de a se obține randamente bune și la temperaturi mai scăzute dar cu un exces mai mare de carbon. Din punct de vedere tehnologic însă trebuie evitată

formarea unor compuși gazoși ai clorului cu C, posibilă în anumite condiții de temperatură, cu excesul de carbon și care au un efect nefavorabil asupra procesului de condensare, în sensul micșorării presiunii partiale a tetraclorurii de zirconiu în amestecul de gaze ce părăsește zona de reacție. Sub acest aspect compozitia pastilelor poate constitui o condiție limitativă în procesul de clorurare a bioxidului de zirconiu.

5. Din cele arătate rezultă că timpul de clorurare stabilește indicații importante în ceea ce privește randamentul de transformare, existând un timp optim de clorurare în condițiile în care s-a lucrat în instalația de laborator. Această mărime însă, nu poate constitui un parametru tehnologic, deoarece condițiile realizabile în instalația de care s-a dispus nu au permis stabilirea unei viteze volumare, pe baza căreia să se determine mărimea brichetelor și grosimea necesară a stratului.

6. Randamentele deosebit de bune realizate la clorurarea cu clor gazos a  $ZrO_2$  pur, ca și calitatea produsului obținut (în funcție de condițiile de condensare în majoritatea cazurilor produsul se obține sub formă cristalină) se pot explica în primul rînd prin puritatea materiei prime (se știe că prezența îndeosebi a Si, care în proces se transformă în  $SiCl_4$ , determină formarea unui volum mare de gaze, ce întreghează o bună parte din  $ZrCl_4$  formată și care nu se poate condensa din cauza micșorării concentrației acesteia în amestecul gazos).

7. În cazul utilizării ca agent de clorurare a unui amestec de  $Cl_2$  și  $CCl_4$  (în raport de masă 1:3), randamentele

realizate sănt net inferioare, în toate experiențele efectuate situindu-se între 32-40 % la temperaturi de  $550^{\circ}\text{C}$  și  $750^{\circ}\text{C}$ . S-a constatat de asemenea că procesul de condensare este foarte critic, în sensul că  $\text{ZrCl}_4$  formată se depune foarte greu, în toate determinările sub forma unei mase microcristaline foarte aderentă pe suprafața condensatorului și deci greu de evacuat. În cursul experiențelor se formează o ceată gălbuiie, în care, probabil din cauza unor compuși de reacție ai clorului cu tetrachlorura de carbon, posibilitatea semnalată de altfel și în unele lucrări<sup>36-39</sup>,  $\text{ZrCl}_4$  se află în concentrație prea mică pentru a se depune în condensator și este antrenată de curentul gazos.

#### IV. 2. Clorurarea carburii de zirconiu.

Încercările au fost efectuate cu pulbere de  $\text{ZrC}$  și clor îmbuteliat ca agent de clorurare. Instalația experimentală și modul de lucru au fost aceleași ca în cazul clorurării  $\text{ZrO}_2$  (fig.18).

S-a urmărit influența temperaturii și a debitului de clor asupra randamentului de transformare la un timp de clorurare de 30'. Randamentul s-a exprimat din cantitatea de  $\text{ZrO}_2$  obținut prin calcinarea în aer a rezidiului rămas de la clorurare și raportat la masa  $\text{ZrO}_2$  corespunzătoare cantității de  $\text{ZrC}$  supusă clorurării.

Condițiile de lucru au fost stabilite pe baza unor incercări preliminarii, ținând seama de unele indicații privind cinetica clorurării carburii de zirconiu<sup>52</sup>. Astfel, s-a lucrat la temperaturi cuprinse între  $350-750^{\circ}\text{C}$  la debite de clor de 1 l/h respectiv 4,5 l/h. La aceste debite viteza de

trecere a clorului calculat la secțiunea tubului de clorurare este de 2,1 mm/s respectiv 9,43 mm/s, corespunzătoare unui regim laminar al curentului gazos. În aceste condiții nu s-au produs antrenări de pulbere de carbură de zirconiu.

Rezultatele experimentale sub forma dependenței randamentului de transformare de factorii arătați, sint prezentate în fig. 24.

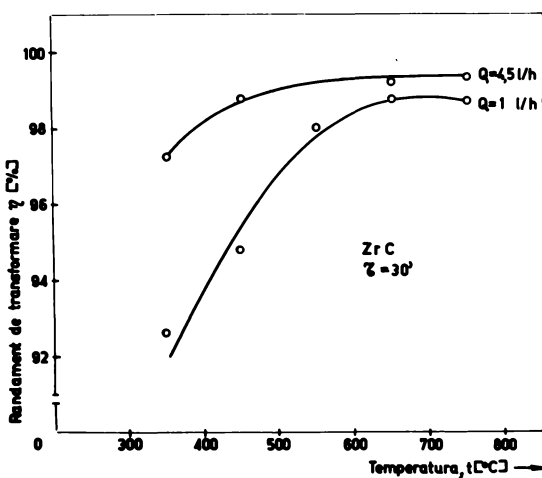


Fig. 24. Variatia randamentului de transformare in functie de temperatură, la clorurarea ZrC.

Analiza acestei dependențe ca și a fenomenelor observate în timpul efectuării experimentelor se pot concretiza în următoarele precizări privind clorurarea ZrC.

1. Reacția de clorurare a ZrC fiind o reacție exotermă, temperatura la care are loc este mai redusă ca în cazul clorurării  $ZrO_2$  pur. Se constată totuși, o dependență accentuată a randamentului de transformare de temperatură

pînă la circa  $550\text{--}600^{\circ}\text{C}$ , peste care creșterea acestuia este neînsemnată. Deci în cadrul unui proces tehnologic nu este necesar să se depășească temperatura de  $600^{\circ}\text{C}$ .

2. Alura curbelor obținute la debite diferite de clor sugerează posibilitatea de a se lucra la temperaturi mai scăzute, la debit mai mare de clor (de ex. un randament de 98 % se poate obține la  $350\text{--}400^{\circ}\text{C}$  la  $4,5 \text{ l/h Cl}_2$ , sau la  $550^{\circ}\text{C}$  la un debit mai mic). Cresterea debitului de clor influențează favorabil procesul de clorurare a ZrC.

3. În toate cazurile carbonul rezultat prin descompunerea ZrC în timpul reacției de clorurare împiedică atât pătrunderea clorului în masa de reacție cît și transportul tetraclorurii de zirconiu formată, spre mediul gazos. Fenomenul este accentuat la viteze mici de trecere a clorului și la temperaturi mai mari de  $600^{\circ}\text{C}$ .

Rezultă că în procesul tehnologic de clorurare a carburii de zirconiu este necesară o judecțioasă corelare a influenței unor factori macrocinetică ca, viteza de trecere a clorului care determină viteza de difuziune a clorului în masa de reacție, temperatura de lucru, precum și dimensiunea particulelor de carbură de zirconiu. În acest sens, clorurarea s-ar putea efectua în condiții mai bune, utilizând o granulație mică de carbură și un proces în strat fluidizat.

4. Comparativ cu clorurarea bixoxidului de zirconiu, reacția de clorurare a carburii de zirconiu are loc cu randamente bune la temperaturi cu mult mai joase, fapt confirmat de altfel și de unele lucrări<sup>12,16</sup>. Calitatea produsului este net superioară, tetraclorura se obține sub formă de cristale mari, aciculare, practic incolore.

Totuși, după cum rezultă din considerațiile prezentate anterior (Cap.I.1), din cauza unor dificultăți practice inerente în obținerea carburii de zirconiu, clorurarea acesteia nu este economică din punct de vedere tehnologic.

#### IV.3. Condensarea tetraclorurii de zirconiu.

Așa cum s-a arătat mai înainte (Cap.IV) modul în care este condusă operația de condensare a vaporilor de  $ZrCl_4$  determină atât pierderile de produs, cît și calitatea acestuia. Tetraclorura de zirconiu nu cristalizează din topitură, deoarece la presiunea atmosferică nu se topește ci sublimă la temperatura de  $331^{\circ}C$ .

Rezultă că procesul complex de formare-condensare a tetraclorurii de zirconiu este în fond un proces de sublimare, în care vaporizatorul este de fapt reactorul în care se obține tetraclorura, iar excesul de clor și alți produși de reacție necondensabili îndeplinesc funcția de antrenant. Din această cauză procesul este influențat de factori specifici ca: transferul de căldură în condensator, debitul cu care vaporii sănt transportați din vaporizator în condensator, debitul gazelor necondensabile, etc.

Pentru condensarea și colectarea produsului s-au făcut diferite adaptări la instalația experimentală dintre care au dat rezultate bune:

a) deplasarea zonei de condensare prin încălzire treptată spre extremitatea de evacuare a gazelor unde într-un colector menținut la temperaturi variind între  $250^{\circ}-300^{\circ}C$  s-a captat  $ZrCl_4$ ;

b) condensarea într-un racord special introdus în cuptor în zona corespunzătoare (fig.18) și răcire în curent de clor, urmată de inchiderea rapidă a colectorului și evacuarea produsului într-un spațiu închis și uscat amenajat special în acest scop (fig.65 ).

În instalația experimentală (fig.18) s-a prevăzut un cuptor cu radianți în zona racordului de condensare, a cărui temperatură a fost reglată în funcție încălzirea cupotorului de clorurare și temperatura măsurată în punctul de racordare a celor două cuptoare. Pentru a asigura o cădere uniformă de temperatură, tubul condensator-colector a fost îmbrăcat într-un mășton de cupru. Distribuția temperaturii în cele 2 cuptoare, la diferite intensități de încălzire este prezentată în fig. 25.

Urmărind influența diferenților factori asupra procesului de condensare și analizând modul în care se face depunerea  $ZrCl_4$  în cursul experiențelor efectuate, se pot face următoarele aprecieri privind condensarea tetrachlorurii de zirconiu.

1. Pentru a obține  $ZrCl_4$  cristalină, temperatura în condensator nu trebuie să fie mai mică de  $250^{\circ}C$ . Cele mai frumoase depuneri sub formă de cristale mari, incolore s-au obținut în zonă  $300-350^{\circ}C$ . Datele din literatură privind obținerea  $ZrCl_4$  din Zircon sau concentrate zirconifere indică intervalul  $150^{\circ}-200^{\circ}C$ . În general s-a observat că în zona temperaturilor mai mici de  $250^{\circ}$   $ZrCl_4$  s-a depus sub formă de strat microcristalin, foarte aderent la suprafața condensatorului și dificil de evacuat. De asemenea, la temperaturi scăzute culoarea produsului virează spre galben-roșcat,

ceea ce confirmă condensarea și a altor produse ( $\text{FeCl}_3$ , etc.) și deci o primă purificare a  $\text{ZrCl}_4$  formată.

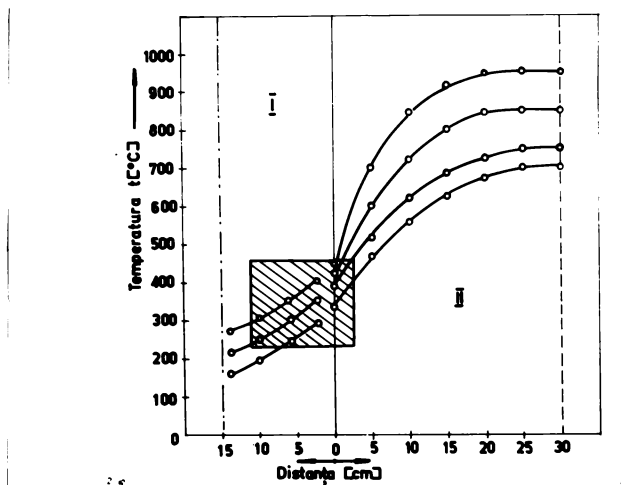


Fig. 25. Distribuția temperaturii în cuporul de clorurare și de condensare la diferențe intensități de încălzire.

■ zona de condensare.

2. Cu cât raportul între cantitatea de gaze necondensabile și cantitatea de vaporii de  $\text{ZrCl}_4$  este mai mare, deci concentrația  $\text{ZrCl}_4$  în amestecul gazos este mai mică, cu atât produsul este mai fin cristalizat și mai afinat (zăpadă), din cauză că cristalizarea se petrece în volumul vaporilor aflați în condensator și nu pe suprafața acestuia. Această observație este importantă deoarece în procesul de prelucrare ulterior a  $\text{ZrCl}_4$  este bine să se utilizeze un produs bine cristalizat și compact.

3. Formarea nemijlocită a cristalelor din faza de vaporii depinde de viteza cu care vaporii intră în condensator și de diferența de temperatură între peretele condensato-

rului și vaporii. Temperatura în condensator trebuie corelată și cu debitul de clor, deoarece la debite mari se formează aerosoli care nu se depun, chiar dacă temperatura în condensator este scăzută și sănt antrenați la curentul gazos, determinînd pierderi mari de produs.

4. Din cele arătate se poate concluziona că productivitatea operației de condensare depinde în primul rînd de eficacitatea răcirii, temperatura de condensare trebuie să fie apropiată de temperatura de sublimare a  $ZrCl_4$  ( $331^{\circ}C$ ). Viteza de condensare determină mărimea cristalelor și forma în care se depun.

■ Randamentul de recuperare s-a determinat pe mai multe probe, prin colectarea tetrachlorurii depusă în tubul de condensare și transformarea acestuia în oxid. Cantitatea de bioxid de zirconiu obținută s-a corelat cu cantitatea reacționată în procesul de clorurare și s-a obținut un randament mediu de recuperare de 96 % restul reprezentînd pierderile de produs prin antrenare.

1) Recuperare  
2) Clorurare  
3) Filtrare  
4) Secare

## C A P I T O L U L V.

### CERCETARI EXPERIMENTALE ASUPRA PROCESULUI DE RECTIFICARE IN COLOANE CU UMPLUTURI METALICE.

Utilizarea coloanelor de rectificare cu umpluturi din diferite materiale, dimensiuni și forme s-a impus în instalații de laborator, în instalații discontinui sau de capacitate redusă, fiind justificată de posibilitatea de a realiza un număr mare de echilibre teoretice de separare, la finalități convenabile ale stratului de umplutură.

#### V.1. Consideratii asupra procesului de rectificare în coloane cu umpluturi.

In aparatele de rectificare au loc concomitent fenomene de transfer de căldură, prin procese de evaporare-condensare și de transfer de masă, respectiv de schimb de comprienți ușor sau greu volatili, între fluxurile de lichid și de vapori ce străbat coloana în contracurent. Ca urmare se produce o îmbogățire a vaporilor și a lichidului spre vîrful coloanei în component ușor volatil și spre baza coloanei în component greu volatil, realizându-se astfel separarea componentilor amestecului supus distilării. Sensul de deplasare a lichidului și vaporilor este diferit la coloanele cu



umpluturi și cu talere în timp ce direcția transferului este aceeași (fig.26).

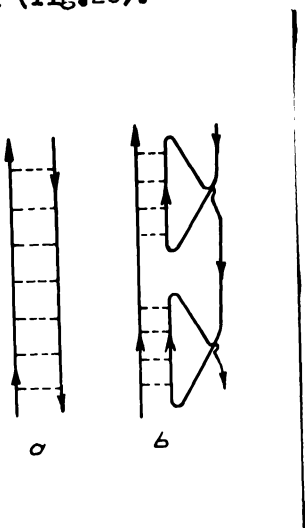


Fig. 26. Transferul de căldură și de masă în coloane  
a - cu umpluturi  
b - cu talere  
↑ Directia de deplasare  
a lichidului și vaporilor  
--- Directia transferului de  
masă.

Studiul coloanelor de rectificare are la bază noțiunea de "taler teoretic", reprezentând o unitate ideală de transfer : din contactul între lichidul și vaporii care circulă în contracurent talerul teoretic produce vaporii și lichid în echilibru termodinamic (fig.27)<sup>194</sup>. O coloană de rectificare este cu atât mai bună cu cît permite un număr mai mare de talere teoretice.

Eficiența de separare a talerelor unei coloane de rectificare este condiționată de un număr mare de factori, ca<sup>194-204</sup> : realizarea constructivă a coloanei, condițiile de frâctionare (presiune, temperatură, raport de reflux, viteza vaporilor, limitele de concentrații între care se realizează distilarea), precum și de proprietățile amestecului separat (densitatea, viscozitatea, tensiunea superficială a lichidului și a vaporilor, volatilitatea relativă, masa moleculară, pantă curbei de echilibru gradul de amestecare în fază lichidă și de vaporii, valoarea coeficientului de transfer de masă

în fază lichidă și de vaporii etc.).

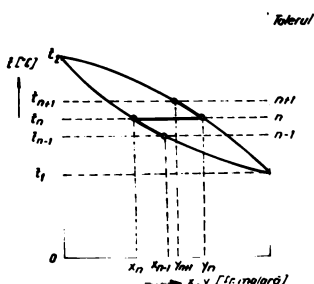


Fig. 27. Diagrama de fierbere pentru explicarea conceptului de taler teoretic.

la reflux total, cu ecuația lui Fenske<sup>194,197,202,204</sup>,

$$n_t + 1 = \frac{\frac{x_d(1-x_w)}{x_w(1-x_d)}}{\lg d_m} \quad (37)$$

respectiv

$$I.L.T.T. = \frac{H_u}{n_t} \quad (38)$$

$n_t$  - numărul de talere teoretice

$x_d$  - fracția molară a componentului mai volatil în distilat

$x_w$  - fracția molară a componentului mai volatil în lichidul din fierbător

$\alpha_m$  - volatilitatea relativă medie a amestecului supus rectificării

$H_u$  - înălțimea stratului de umplutură în coloana experimentală (mm).

Analiza fenomenelor complexe care au loc în coloanele cu umpluturi permite precizarea principaliilor factori care influențează procesul de separare în acest caz<sup>194,202,204</sup>:

1. Caracteristicile geometrice ale coloanei (diame-trul, înălțimea de lucru, tipul de umplutură).

2. Caracteristicile umpluturii (înălțimea, dia-me-trul și grosimea elementului de umplutură, proprietățile ma-terialului din care este confectionată, suprafața specifică și volumul liber).

3. Factori legați de regimul de lucru (alimentarea și repartizarea refluxului, reținerea de lichid, cădereea de presiune și viteza limită a vaporilor).

4. Proprietățile amestecului supus separării (vo-latilitatea relativă și deci tipul diagramei de echilibru, compozitia amestecului, solubilitatea reciprocă a compo-nen-ților, densitatea și viscozitatea vaporilor și a refluxului, căldurile specifice ale compo-nen-ților, tensiunea superfi-cia-lă la limita de separare a fazelor, căldura de vaporizare, posibilitatea de udare, etc.).

Interdependența factorilor enumerate impune colo-anelor de rectificare cu umpluturi, anumite condiții pentru a realiza o separare eficientă :

- Asigurarea unei suprafețe cât mai mari de trans-fer de căldură și de masă prin adoptarea unei umpluturi cu suprafață specifică optimă unui proces dat.

- Repartizarea uniformă a lichidului pe secțiunea coloanei, fără canalizări, ceea ce se poate asigura printr-un

raport între diametrul elementului de umplutură și al coloanei de aproximativ 1:10, utilizând umpluturi hidrodinamice avantajoase și sectionând stratul de umplutură cu recircularea fazei lichide.

- Asigurarea unei udări uniforme a întregului strat de umplutură.

- Realizarea unei pelicule subțiri și uniforme de lichid pe suprafața umpluturii; neuniformitatea acesteia influențează negativ procesul de transfer, în special la încărcări mari ale coloanei de distilare.

- Asigurarea unor condiții adiabatice de lucru pe toată lungimea coloanei printr-o izolație corespunzătoare<sup>202</sup>.

Din cele prezentate rezultă că fracionarea în coloane cu umpluturi este un fenomen complex și simpla determinare a influenței diferenților factori asupra procesului de separare este legată de dificultăți experimentale importante, ceea ce explică faptul că evaluarea cantitativă a proceselor ce au loc în aceste aparate se face pe baza unor relații empirice sau semiempirice stabilite de la caz la caz, prin încercări experimentale.

Pentru evaluarea cantitativă a eficacității coloanelor de rectificare cu umpluturi Chilton și Colburn<sup>194,200, 204</sup> au introdus și noțiunea de "numărul unităților de transfer",  $n_a$ , ținând seama de faptul că în coloanele cu umpluturi spre deosebire de coloanele cu talere, fenomenul de transfer are loc în mod continuu, într-un număr infinit de trepte elementare de variație a concentrației.

Numărul unităților de transfer este o mărime nedimensională și se poate explora pornind de la diferența dintre concentrația corespunzătoare stării de pe curba de

echilibru și cau de pe linia de lucru. Examind o porțiune din diagrama de echilibru  $y = f(x)$  pentru determinarea grafică a numărului de talere teoretice (fig.28) se pot face următoarele constatări<sup>194,197,200,202,204</sup> ;

Intr-o coloană cu talere, transferul pe fiecare taler se realizează între lichidul de compozitie  $y_1$  și vaporii în echilibru  $y_1^*$  (care este și compozitia lichidului,  $y_2$ , pe talerul imediat superior); între talere, adică între concentrațiile  $y_1$  și  $y_2$  nu se realizează nici un fel de transfer.

In cazul coloanelor cu umpluturi însă se produce schimbarea concentrației în fiecare strat elementar între  $y_1$  și  $y_2$ , proporțională cu diferența  $y^* - y$ . Numai în domeniul de concentrație în care liniile de echilibru și cele de lucru se pot considera practic paralele (fig. 28, II), (soluții ideale cu volatilitate relativă scăzută și deci cu diferență mică între temperaturile de fierbere), numărul unităților de transfer  $n_a$ , coincide cu numărul de talere teoretice  $n_t$ , decarece în acest caz diferența  $y^* - y$  este constantă pe oricare tuler. In majoritatea cazurilor practice (soluții cu volatilitate relativă ridicată) cele două mărimi au valori distincte. Un taler teoretic realizează o variație mai mică de concentrație decât o unitate de transfer, dacă curba de echilibru are o pantă mai mare decât linia de lucru (fig.28, III) și o variație mai mare în cazul invers (fig. 28, I).

Raportul între înălțimea stratului de umplutură și numărul unităților de transfer  $n_a$  se numește înălțimea unității de transfer (H.T.U.).

Determinarea numărului unităților de transfer se face ca și în cazul talerelor teoretice, experimentând coloana la reflux total cu determinarea mărimilor  $x_d$ ,  $x_w$ ,  $\alpha_m$  și

utilizînd relaþii de tipul<sup>200</sup>,

$$n_a = \frac{2,303}{d_n} \lg \frac{x_d(1-x_w)}{x_w(1-x_d)} \rightarrow 2,303 \lg \frac{1-x_w}{1-x_d} \quad (39)$$

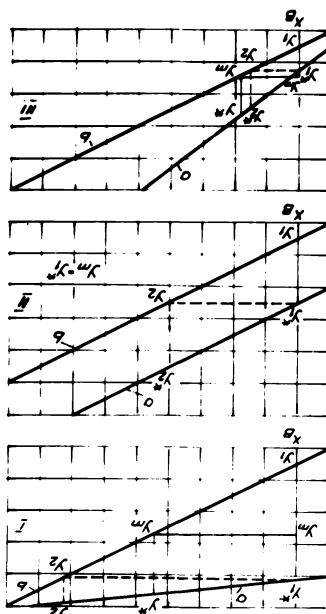


Fig. 28. Determinarea grafică a numărului unităþilor de transfer  
 a - curba de echilibru (pe o porþiune infinit mică aproxiatþ ca o dreapta)  
 b - linia de operare  
 - - - - num rul de trepte teoretiice  
 - - - - - num rul unităþilor de transfer.

Aspectele legate de utilizarea în procesul de rectificare a unor umpluturi de mare eficacitate, au fost luate în studiu în special prin extinderea acestui proces în domeniile mai noi ale tehnologiei chimice, ca separarea unor izo-

topi ai oxigenului, azotului, borului, purificarea înaintată a unor combinații volatile ale metalelor rare și disperse, în scopul separării metalelor cu proprietăți ascunzătoare și în general pentru amestecuri ce se separă greu.

Au fost experimentate în diferite condiții, tipuri foarte variate de umpluturi și care sunt prezентate în majoritatea monografiilor cunoscute în acest domeniu<sup>194,197,200, 202,204</sup>.

Pe lîngă umpluturile obișnuite, inelele Raschig și diferite variante ale acestora (inele "Prim", "Intos", etc.) șiile Berl, sfere din sticlă mată, etc., în procesele de separări înaintate cerute de tehnica modernă s-au experimentat și unele umpluturi metalice, din sîrmă sau sită (inele Raschig din sită, spirale cu compactitate diferită, inele Hely-Pak și Okta-Pak, spire unitare, spirale Levin, spanuri etc. (fig.29)<sup>204-212</sup>.

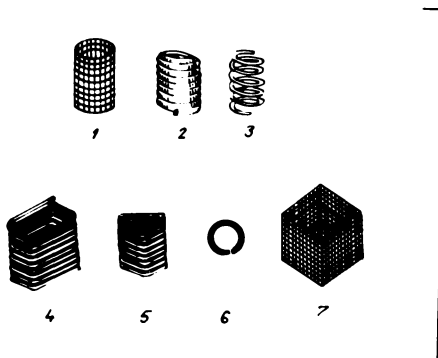


FIG. 29. Tipuri de umpluturi metalice;

- 1-inele Raschig din sită metalică;
- 2-spirală compactă; 3-spirale Wilson;
- 4-umplutură Hely-Pak; 5-spirale Levin;
- 6-spire unitare; 7- umplutură Okta-Pak.

Pentru toate aceste umpluturi, desigur în funcție de dimensiunile lor și încărcarea coloanei (exprimată prin cantitatea de reflux, ml/h), I.E.T.T. ia valori cuprinse între 25-90 mm. În fig. 30 sunt prezentate valorile I.E.T.T., în funcție de încărcare, pentru unele umpluturi metalice, comparativ cu inele Raschig de diverse dimensiuni<sup>200</sup>.

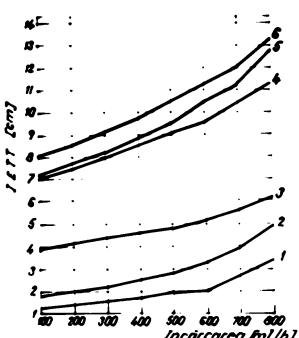


Fig. 30. Dependenta I.E.T.T. de încărcare, pentru diverse umpluturi.

1 - spirale de 2 mm; 2 - spirale de 4 mm; 3 - gauze metalice; 4 - inele Raschig de 8 mm; 5 - inele Raschig ceramice, de 10 mm; 6 - spirale de sticlă.

Referitor la influența naturii chimice a materialului din care este confectionată umplutura ea poate fi importantă numai în măsură în care apariția unei corozioni implică modificări ale echilibrului lichid-vapori. De asemenea ar putea influența asupra gradului de tasare al umpluturii care la unele metale sau aliaje poate avea valori însemnante.

Analiza dependențelor multiple care condiționează procesul de distilare în coloane cu umpluturi formează și în prezent obiectul a numeroase investigații experimentale și teoretice, care concluzionează în încercări de a aduce precizări asupra modului în care diferiți factori influentează eficacitatea coloanelor cu umpluturi în condiții variate de lucru<sup>213-231</sup>.

Din examinarea datelor prezentate în literatură se pot preciza unele concluzii de care trebuie să se țină seama în cercetarea experimentală a coloanelor cu umpluturi :

1. Influența diametrului coloanei asupra eficacității este concretizată prin raportul dintre diametrul elementului de umplutură și al coloanei, în sensul creșterii I.E.T.T. cind acest raport depășește limita de 1/8 - 1/10. Referitor la corelarea I.E.T.T. cu finalitatea stratului de umplutură se propune secționarea umpluturii în straturi mai mici în cazul încărcărilor mari ale coloanelor, cu efect de creștere a eficienței și de scădere a I.E.T.T. În general datele experimentale obținute pe coloane mici, nu se reproduc în instalații mari, din cauza canalizării lichidului și a modificărilor hidrodinamice în procesul de curgere prin strat determinat de compactitatea diferită a stratului.

2. Asupra determinărilor de eficacitate influențată volatilitatea relativă medie a amestecului,  $\alpha_m$ , în sensul că trebuie adoptate amestecuri etalon care să permită o bună separare a coloanei cercate dar nu totală; influențată de asemenea viscozitatea, densitatea precum și masa moleculară a amestecului. În general, amestecurile cu masă moleculară mare dă valori mai mari pentru I.E.T.T. decât amestecurile cu masă moleculară mică. Se recomandă ca amestecul etalon să conțină aproximativ 40 % moli component ușor volatile, iar îmbogățirea în același component să nu depășească 90 % moli.

Sunt date și relații empirice care coreleză dimensiunile coloanei, proprietățile amestecului și I.E.T.T.<sup>194, 202, 204</sup>,

$$L.E.T.T. = k_1 M^2 d^{k_2} h^{0,33} \frac{\alpha \gamma}{\rho} \quad (40)$$

$k_1, k_2, k_3$  - constante specifice umpluturii adoptate

$d$  - diametrul coloanei

$h$  - înălțimea stratului de umplutură

$\alpha$  - volatilitatea relativă

$\gamma$  - viscozitatea amestecului, cP

$\rho$  - densitatea amestecului, gr/cm<sup>3</sup>

După unii autori<sup>213</sup>, eficacitatea umpluturii nu depinde de natura amestecului sau de compoziția sa.

3. Asupra eficacității influențează raportul de reflux corelat cu reținerea coloanei (cantitatea de substanță prezentă sub formă de lichid și vapori în aparatul de rectificare, între suprafața lichidului din blază și condensator, în timpul rectificării).

In general, influența reținerii crește cu creșterea numărului de talere teoretice. La un raport mare de reflux are efect negativ asupra posibilității de separare, pe cind la raport mic de reflux are o influență favorabilă. Pe de altă parte la o reținere foarte mare (mai mult de 50 % din încărcarea blazei), raportul de reflux practic nu influențează asupra eficacității de separare a umpluturii. Deci există un raport critic de reflux începînd de la care reținerea nu mai are o influență vizibilă asupra eficacității de separare.

4. Eficacitatea coloanei este determinată și de încărcare respectiv cantitatea de substanță care trece prin coloană în unitatea de timp și se obține sub formă de condensat la partea superioară a coloanei. Pentru ca rezultatele asupra determinării eficacității să fie reproductibile se

recomandă ca experiențele să fie conduse la încărcări corespunzătoare la aproximativ 2/3 din valoarea maximă (cind refluxul este reținut în strat și coloana se înecă). Acest parametru influențează asupra eficacității în special în cazul umpluturilor de dimensiuni mici.

5. Procesul hidrodinamic de curgere în strat, concretizat prin căderea de presiune, corelată cu viteza vaporilor și densitatea de stropire a refluxului, condiționează eficacitatea de separare în special al umpluturilor mici și care se tasează ușor.

Studiile comparative prezentate în literatură referitor la stabilirea limitelor optime de lucru a diferitelor umpluturi scot în evidență că datele experimentale nu sunt reproductibile în orice condiții și deci nu pot fi generalizate.

In consecință adoptarea unei anumite umpluturi într-un anumit scop, implică determinări experimentale cu considerarea tuturor factorilor enumerate.

#### V.2. Cercetări experimentale asupra unor coloane de rectificare cu umpluturi metalice.

Intre umpluturile care corespund cerințelor de eficacitate pentru realizarea unor separări bune se situează și cele metalice confecționate din sîrmă, sub formă de spirale sau spire unitare de diferite dimensiuni. Aceste umpluturi nu sunt studiate sistematic și în ansamblul factorilor care le definesc eficacitatea, în condiții de lucru impuse de un anumit regim tehnologic.

In cele ce urmează se prezintă concluziile rezultate din determinări experimentale proprii, în care s-a urmărit corelarea căderii de presiune în coloane cu caracteristici variabile ca, diametrul coloanei, dimensiunea umpluturii, înălțimea stratului și viteza fluxurilor în coloană, precum și stabilirea unor relații de calcul pentru coeficientii de frecare, precizarea limitelor de inecare și în general a condițiilor hidrodinamice optime de lucru a umpluturilor incercate. Se prezintă aspecte legate de procesul de rectificare cu determinarea I.E.T.T.<sup>in</sup> condiții de lucru diferite și caracteristici geometrice diferite.

S-au studiat trei tipuri de umpluturi metalice confectionate din sîrmă de alamă de 0,28 mm diametru : spire unitare cu diametru de 1,5 și 3 mm și spirale de 3x3,5 mm. Caracteristicile determinate pentru aceste umpluturi în cadrul experimentărilor efectuate sunt prezentate în tabela IX.

Tabela IX

Nr. crt.	Tipul de umplutură	Diametrul spirei $d_s$ , mm	Suprafața specifică $\sigma$ , $m^2/m^3$	Volumul liber $V_L$ , $m^3/m^3$
1.	"A" spire unitare	1,5	4425	0,6542
2.	"B" spire unitare	3,0	1815	0,8545
3.	"C" spirale cu înălțimea medie de 3,5 mm	3,0	1550	0,7800

#### V.2.1. Aspecte hidrodinamice.

Considerarea unui model fizic în care gazul care străbate stratul de umplutură trece prin canale paralele și în condiții adiabatice duce la relația<sup>232,233</sup>,

$$\Delta p = \psi^* \frac{L}{d_h} \frac{\rho}{2} w_k^2 \quad (41)$$

$d_h$  - diametrul hidraulic al canalelor, m

L - lungimea canalului străbătut de curentul de gaz, m

$w_k$  - viteza gazului în canal, m/s

$\Delta p$  - căderea de presiune în strat, N/m<sup>2</sup>

$\psi^*$  - coeficient de rezistență, nedimensional

$\rho$  - densitatea gazului, kg/m<sup>3</sup>.

Coefficientul de rezistență  $\psi^*$  depinde de regimul de curgere (raportul nedimensional Re), forma funcției fiind caracteristică unui anumit tip de umplutură. După Ergun<sup>234</sup>,

$$\psi^* = \frac{150}{Re} + 1,75 \quad (42)$$

Relația este valabilă pentru inele Raschig la valori  $1 < Re < 2500$  cu eroare de  $\pm 15\%$ .

O relație mai generală este ecuația lui Fanning modificată pentru curgerea prin straturi granulare<sup>235</sup>,

$$\Delta p = \frac{\lambda}{4} \frac{H \sigma}{V_l^3} \frac{w_f^2 \rho_g}{2} \quad (43)$$

H - înălțimea stratului, m

$V_l$  - volumul liber al umpluturii, m<sup>3</sup>/m<sup>3</sup>

$w_f$  - viteza fictivă a gazului (calculată la secțiunea coloanei fără umplutură), m/s

$\Delta p$  - căderea de presiune în strat, N/m<sup>2</sup>.

$\lambda$  - coeficient de frecare, nedimensional

$\rho_g$  - densitatea gazului, kg/m<sup>3</sup>

$\sigma$  - suprafața specifică a umpluturii, m<sup>2</sup>/m<sup>3</sup>.

Expresia de mai sus fiind dedusă prin analiză dimensională, își păstrează formă pentru orice tip de umplutură, cu condiția cunoașterii prin determinări experimentale a coeficientului de fricare  $\lambda$ , a cărui valoare depinde de raportul nedimensional Reynolds "Re", calculat în cazul curgerii prin straturi granulare cu relația<sup>235</sup>,

$$Re = \frac{4 w_f \cdot \rho_g}{\sigma \eta_g} \quad (44)$$

$\eta_g$  - viscozitatea gazului, N.s/m<sup>2</sup>.

Criteriul regimului de curgere prin straturi cu umpluturi după Javoronkov și Aerov este  $Re < 40$  pentru curgere laminară și  $Re > 40$  pentru curgere turbulentă, coeficientul  $\lambda$  având valorile,

$$\lambda = 140 Re^{-1} \text{ în curgerea laminară}$$

$$\lambda = 16 Re^{-0.2} \text{ în curgerea turbulentă}$$

Pentru cele trei tipuri de umpluturi studiate, determinările experimentale s-au efectuat în coloane de sticlă cu diametrul interior,  $d_1 = 24$  mm și  $D_1 = 36$  mm și înălțimi ale stratului variind între 300-1300 mm.

Caracterizarea din punct de vedere hidrodinamic a umpluturilor studiate s-a făcut prin determinarea experimentală a căderii de presiune pe coloană, utilizând ca mediu gazos aerul furnizat de o suflantă, la viteze variind între 0,01- 1 m/s. Aceste viteze s-au ales astfel încât să se situeze în limita valorilor admise pentru faza gazoasă în procesele de transfer de masă și care din punct de vedere hidrodinamic corespund regimurilor de curgere laminar și tranzitoriu.

In cazul coloanei cu diametrul interior  $d_1 = 24$  mm s-a urmărit și influența tasării stratului asupra regimului

hidrodinamic de lucru.

In toate cazurile, coloana a fost încărcată cu aceeași cantitate de umplutură într-un volum determinat de o înălțime stabilită cu modificarea corespunzătoare de volum respectiv de înălțime, pentru un anumit grad de tasare (de ex. 1%).

Determinările experimentale au fost executate pe instalația prezentată în fig. 31.

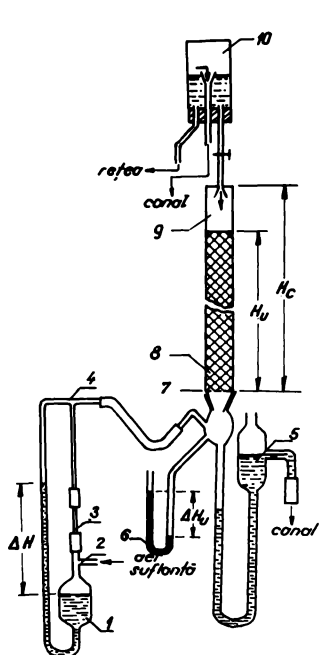


Fig. 31. Instalație experimentală pentru studiul hidrodinamic.

Instalația este alcătuită dintr-o coloană de sticlă 9, în care se află stratul de umplutură 8, susținut de un suport 7. Pierderea de presiune în coloană se măsoară cu manometrul cu apă 6, iar debitul de aer cu manometrul diferențial cu apă 1, prevăzut cu capilara etalonată 3. Dispozitivul cu

preaplin 10 este prevăzut pentru cazul cînd coloana funcționează cu stropire, iar recordul 5, pentru evacuarea lichidului. Rezultatele experimentale s-au interpretat calculind viteza fictivă a aerului  $w_f$ , iar raportul nediimensional  $Re$  (pentru aer) a fost calculat cu relația (44) introducînd mărimele caracteristice ale umpluturilor studiate, determinate în prealabil și prezентate anterior în tabela IX. Utilizînd relațiile generale ale lui Javoronkov<sup>235</sup>, s-au calculat coeficientii de frecare  $\lambda$ ; din relația (43) s-au calculat coeficientii de frecare experimentalî pentru toate umpluturile studiate, considerînd valoarele pierderilor de presiune determinate experimental, la diferite viteze ale aerului și diferențe înălțimi ale stratului de umplutură. Pentru toate condițiile studiate rezultatele au fost prezente în graficele,  $\Delta P = f(w_f)$  (fig. 32, 34, 36, 37, 39, 41), respectiv  $\lg \lambda = f(\lg Re)$  (fig. 33, 35, 38, 40, 42).

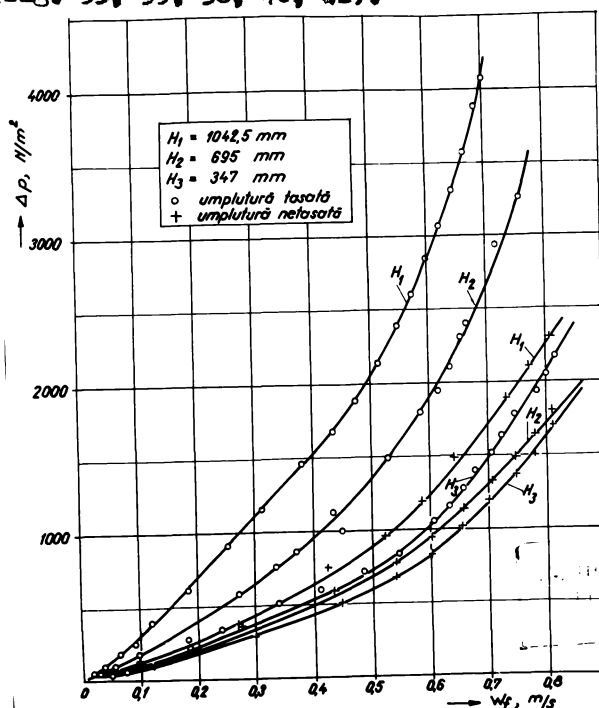


Fig. 32. Pierderea de presiune în coloana cu  $d_1 = 24 \text{ mm}$ , umplutura de tip "A".

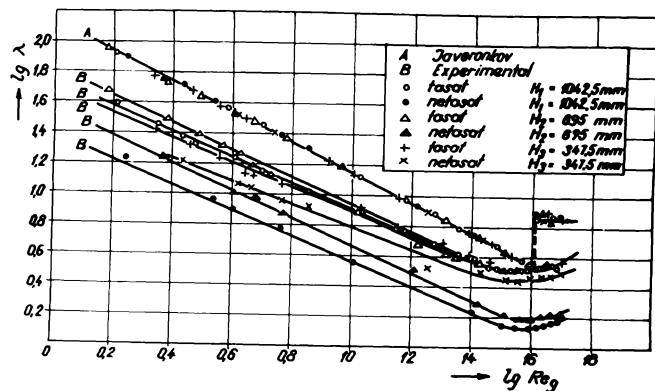


Fig. 33. Valorile coeficientului de frecare  $\lambda$ , în funcție de raportul  $Re_g$ , în cazul coloanei cu  $d_i = 24 \text{ mm}$  și umplutura "A".

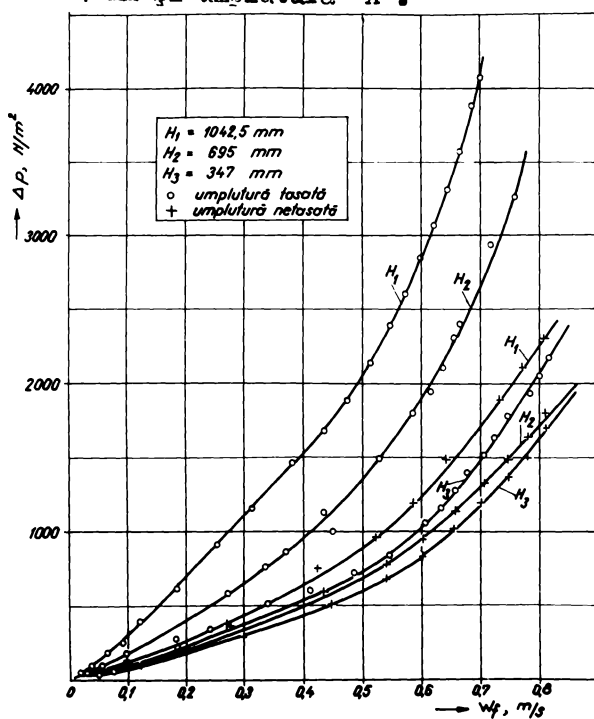


Fig. 34. --variarea de presiune în coloana cu  $d_i = 36 \text{ mm}$ , umplutura tip "A".

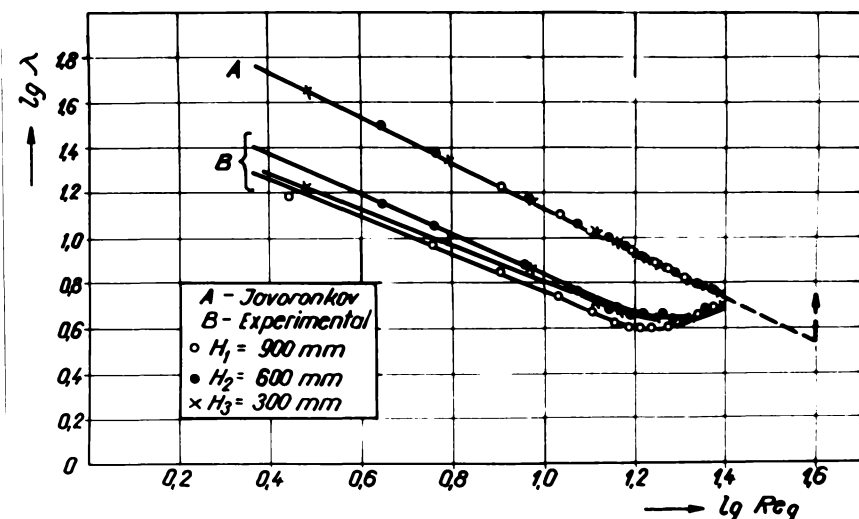


Fig. 35. Valorile coeficientului de fricare  $\lambda$ , în funcție de raportul  $Re$ , în cazul coloanei cu  $D_1 = 36$  mm, umplutura tip "A".

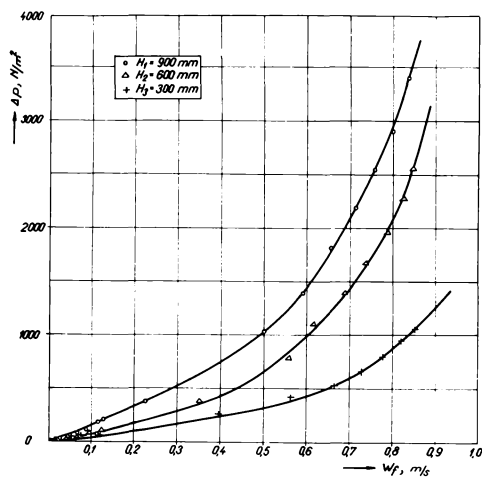


Fig. 36. Pierderea de presiune în coloană cu  $d_1 = 24$  mm umplutura tip "B".

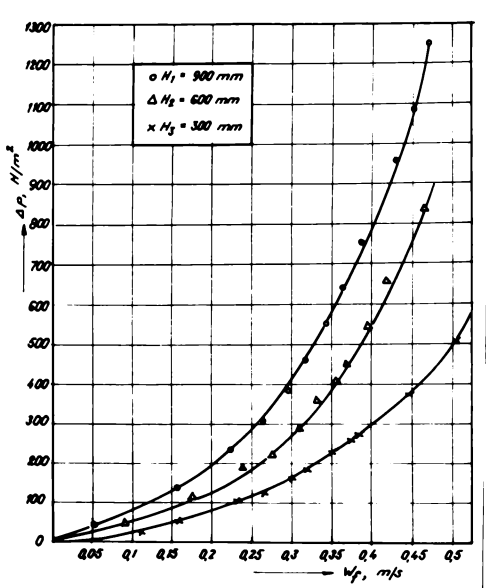


Fig. 37. Pierderea de presiune în coloana cu  $d_1 = 36 \text{ mm}$  umplutura tip "B".

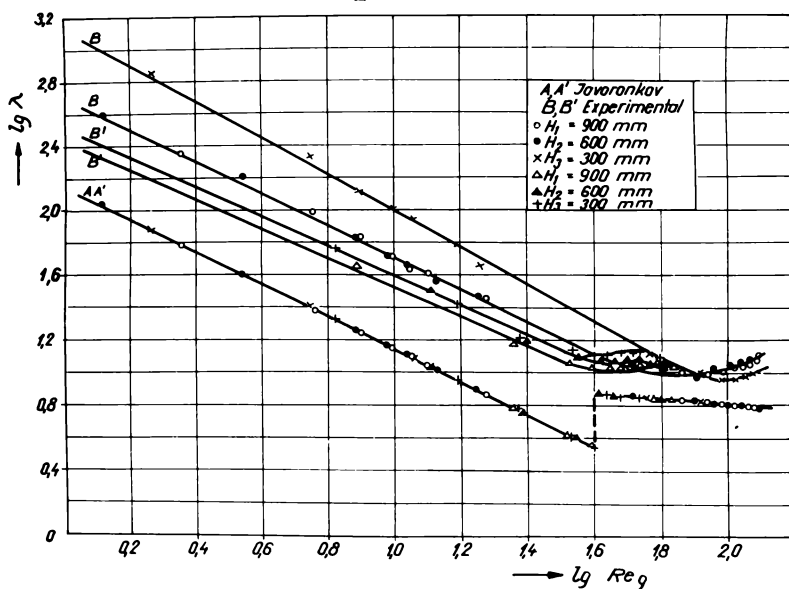


Fig. 38. Valorile coeficientilor de frecare  $\lambda$ , în funcție de raportul  $Re$ , pentru coloana cu  $d_1 = 24 \text{ mm}$  și  $D_1 = 36 \text{ mm}$ , umplutura tip "B".

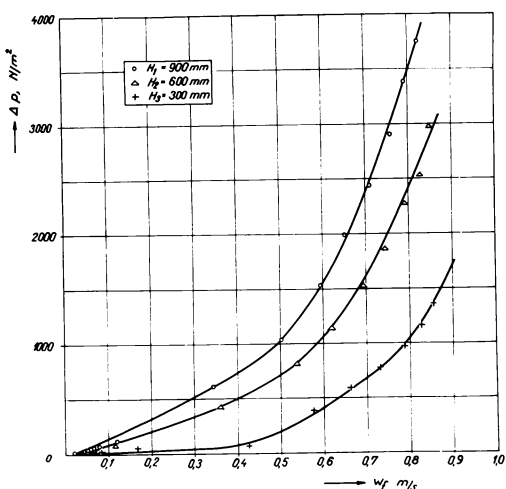


FIG. 39. Pierderă de presiune în coloană cu  $d_i = 24 \text{ mm}$  umplutura tip "C".

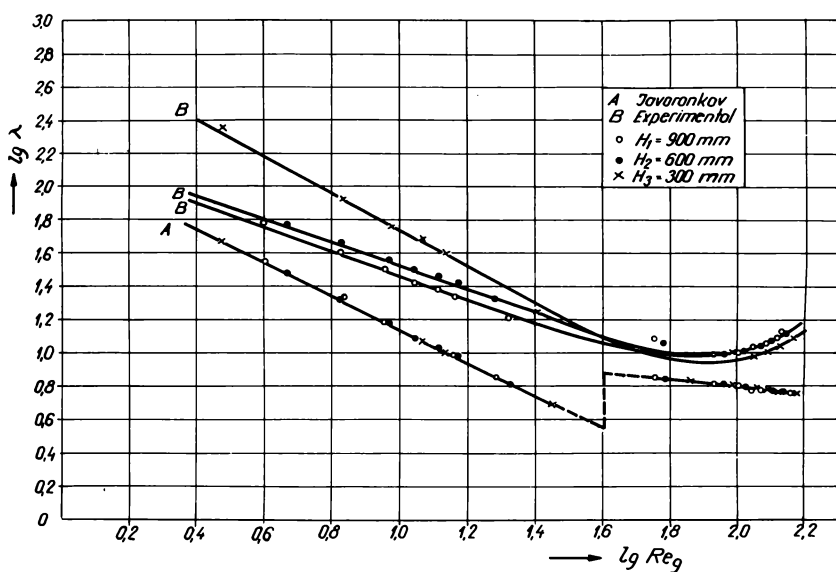


Fig. 40. Valorile coeficientului de frecare  $\lambda$ , în funcție de raportul  $Re_g$ , pentru coloană cu  $d_i = 24 \text{ mm}$ , umplutura tip "C".

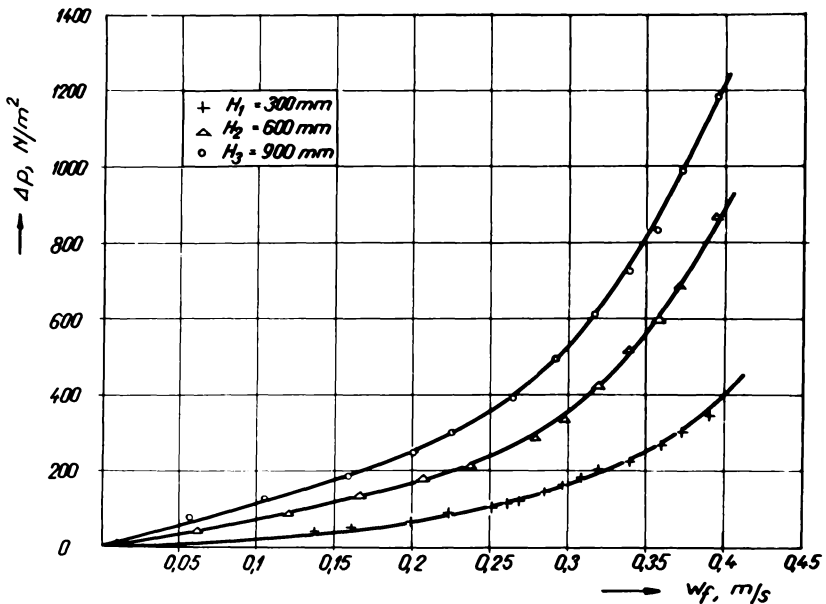


Fig. 41. Pierderea de presiune în coloana cu  $D_i = 36\text{ mm}$  și  
umplutura tip "C".

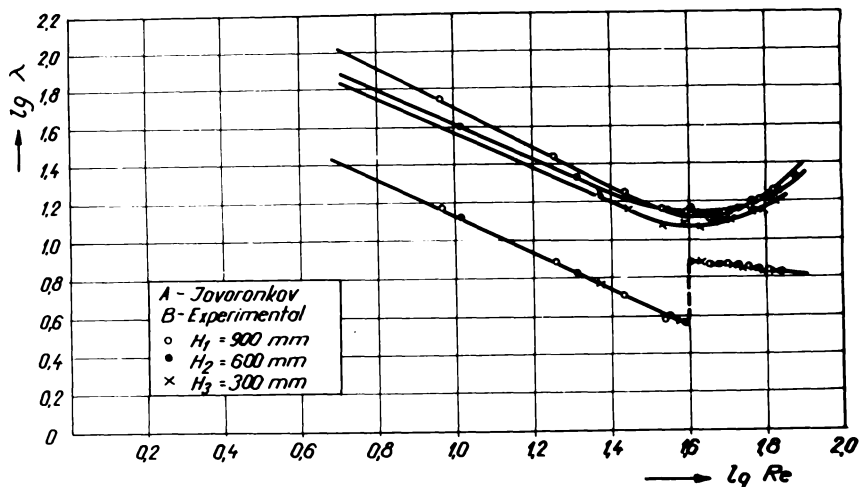


Fig. 42. Valorile coeficientului de frecare  $\lambda$ , în funcție  
de raportul  $Re$ , pentru coloana cu  $D_i = 36\text{ mm}$ ,  
umplutura tip "C".

Rezultatele experimentale obținute și prezentate în graficile de mai sus, permit precizarea unor observații privitoare la regimul hidrodinamic al coloanelor cu umpluturi inclinate<sup>236</sup> uscate :

1. Indiferent de diametrul coloanei și pentru toate tipurile de umpluturi studiate, pierderea de presiune crește cu înălțimea stratului și cu viteza curentului gazos; la aceeași înălțime a stratului și aceeași viteză, pentru vitezele ale aerului mai mari de 0,4 m/s pierderea de presiune este considerabil mai mare în coloana cu diametrul mai mare; pentru vitezele ale aerului mai mici de 0,4 m/s și în special la înălțimi mici ale stratului curbele sunt apropiate și variațiile neuniforme; la aceleași înălțimi ale stratului și aceleași viteză, indiferent de diametrul coloanii cea mai mare pierdere de presiune o prezintă umplutura de tip "A" și în ordine descreșcătoare "C" și "B".

2. În limitele de viteză ale curentului gazos de 0,25 - 0,35 m/s pentru coloana de diametru mare și 0,6 - 0,7 m/s pentru coloana de diametru mic, la diferite înălțimi ale stratului toate umpluturile studiate prezintă creșteri sensibile ale pierderii de presiune, la variații mici ale vitezei gazului; valorile calculate ale raportului nedimensional  $Re$  pentru aceste viteză se situează în domeniul tranzitoriu pe curbelor experimentale  $lg \lambda = f(lg Re)$ .

3. Pentru umplutura de tip "A" la care căderea de presiune prezintă valorile cele mai mari, s-au făcut încercări în ce privește comportarea ei la diferite grade de torsare. Valorile pierderilor de presiune sunt net superioare în toate domeniile de viteză și înălțimi studiate în cazul um-

pluturii tasate. Deoarece în condițiile unui flux tehnologic continuu umplutura staționară în coloană se tasează sub influența greutății stratului, pentru toate umpluturile și în toate condițiile s-a lucrat cu umplutura tasată. Coloanele au fost încărcate cu aceeași cantitate (Kg) de umplutură în volumul determinat de o înălțime stabilită.

4. Valorile coeficientului de frecare, calculate cu formula lui Javoronkov, se situează pe o singură curbă indiferent de condițiile de lucru (tipul umpluturii, înălțimea stratului, viteza aerului, etc.). Valorile coeficientului de frecare calculate din datele experimentale sunt mult diferite față de cele rezultate prin aplicarea formulei lui Javoronkov și anume mai mici în cazul umpluturii "A", mai mari în cazul umpluturilor "B" și "C".

5. Coeficientul de frecare are valori diferite în funcție de înălțimea stratului, pentru umpluturile studiate, în domeniul curgerii laminare, deci pe porțiunea dreaptă a funcției experimentale  $\lg \lambda = f(\lg Re)$ , valorile apropiindu-se sensibil spre domeniul tranzitoriu-turbulent, ceea ce confirmă presupunerea teoretică a atingerii unei valori constante pentru coeficientul de frecare  $\lambda$ , la valori mari ale raportului nedimensional  $Re$ , deci în regim de automodelare.

6. În toate cazurile studiate, tranziția de la regimul laminar la cel turbulent nu se face în salt net aşa cum rezultă din aplicarea formulelor curente, ci pe parcursul unui domeniu cuprins între valori ale raportului  $Re$  care variază în funcție de tipul de umplutură și diametrul coloanei. Valoările corespunzătoare sunt prezentate în tabela X.

Tabela X.

Nr. crt.	Tip de umplutură	Diametrul coloanei mm	Domeniu de tranzitie Re
1	A	24	25 - 50
		36	15 - 32
2	B	24	65 - 140
		36	50 - 90
3	C	24	24 - 140
		36	30 - 60

Se observă că domeniul de tranzitie pentru umpluturile studiate diferă sensibil de valorile citate în literatură pentru tipurile obisnuite de umpluturi (inele Raschig etc.)<sup>200-202</sup>. De asemenea trecerea de la curgerea laminară la curgerea turbulentă este însotită de creșterea coeficientului de frecare, ceea ce confirmă prezența rugozității care în cazul umpluturilor metalice poate avea o influență însemnată asupra procesului hidrodinamic de curgere.

Formulele prezентate în literatură pentru calculul coeficientului de frecare nu pot fi generalizate pentru orice tip de umpluturi. În tabela XI sunt prezентate relațiile pentru coeficientii de frecare, valabile pentru umpluturile studiate și în condițiile experimentale precizate în prezenta lucrare.

În cazul în care coloana funcționează cu umplutură stropită (de ex. în cazul proceselor de transfer de masă în sisteme bifazice), un rol important în realizarea și mențin-

Tabela XI

	Inhaltmeas H mm	347,5	695	1042,5
"A"	$d_1 = 24 \text{ mm}$	$\lambda = 48(\text{Re}_E)^{-0,815}$	$\lambda = 67,5(\text{Re}_E)^{-0,9}$	$\lambda = 55(\text{Re}_E)^{-0,835}$
	Inhaltmeas H mm	300	600	900
"A"	$D_1 = 36 \text{ mm}$	$\lambda = 39(\text{Re}_E)^{-0,79}$	$\lambda = 52,5(\text{Re}_E)^{-0,87}$	$\lambda = 37(\text{Re}_E)^{-0,835}$
	Inhaltmeas H mm	300	600	900
"B"	$d_1 = 24 \text{ mm}$	$\lambda = 1280(\text{Re}_E)^{-1,12}$	$\lambda = 500(\text{Re}_E)^{-1}$	$\lambda = 500(\text{Re}_E)^{-1}$
	Inhaltmeas H mm	300	600	900
"B"	$D_1 = 36 \text{ mm}$	$\lambda = 324(\text{Re}_E)^{-0,92}$	$\lambda = 324(\text{Re}_E)^{-0,92}$	$\lambda = 276(\text{Re}_E)^{-0,9}$
	Inhaltmeas H mm	300	600	900
"C"	$d_1 = 24 \text{ mm}$	$\lambda = 755(\text{Re}_E)^{-1,11}$	$\lambda = 167(\text{Re}_E)^{-0,685}$	$\lambda = 158(\text{Re}_E)^{-0,748}$
	Inhaltmeas H mm	300	600	900
"C"	$D_1 = 36 \text{ mm}$	$\lambda = 302(\text{Re}_E)^{-0,92}$	$\lambda = 346(\text{Re}_E)^{-0,92}$	$\lambda = 550(\text{Re}_E)^{-1,04}$

nerea unui regim tehnologic determinat îl are viteza fazei gazoase sau de vaporii în stratul de umplutură. Aceasta trebuie să fie mai mică decât viteza corespunzătoare fenomenei lui de "înecare", cînd curentul gazos împiedică curgerea lichidului prin strat sau chiar produce întoarcerea acestuia în coloană. Diferitele lucrări și rezultate prezentate în literatură<sup>197-204, 237-239</sup>, precizează că pentru fiecare tip de umplutură, viteza optimă se poate stabili numai pe cale experimentală. În felul acesta se pot determina constantele care intervin în relațiile deduse pentru calculul vitezei de încercare.

Determinările experimentale efectuate în cadrul prezentei lucrări au urmărit stabilirea dependenței dintre căderea de presiune în coloană, viteza fazei gazoase, intensitatea specifică de stropire, diametrul coloanei și înălțimea stratului de umplutură precum și precizarea condițiilor de încercare și a domeniului optim de lucru pentru umpluturile studiate. Ca mediu gazos s-a lucrat cu aer la viteze variind între 0,01-1 m/s (viteză fictivă, calculată la secțiunea coloanei fără umplutură), iar ca lichid de stropire, apă de rețea, la temperatura medie de 16°C și intensități specifice de stropire cuprinse între 0,6-3,0 m<sup>3</sup>/m<sup>2</sup>h.

Determinările experimentale s-au efectuat pe instalația prezentată anterior (fig.31). Rezultatele sunt redată în diagrame logaritmice, sub forma dependenței dintre căderea de presiune în coloană și viteza fazei gazoase, pentru toate tipurile de umpluturi studiate la diferite înălțimi ale stratului și diferențe intensități de stropire, (fig. 43-47).

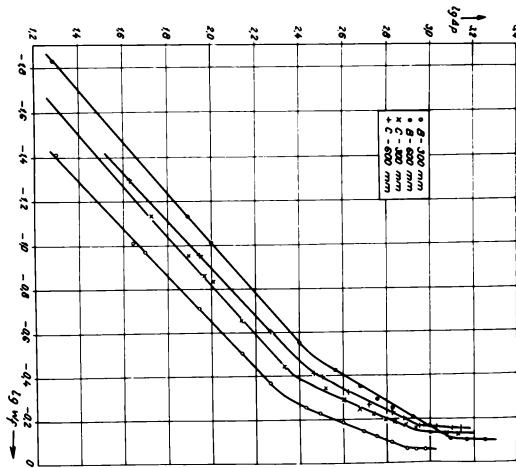


Fig. 43. Dependenta dintre caderea de presiune si viteza aerului in coloana cu  $D_t = 24$  mm, si intensitatea de stropire  $Q = 0,664 \text{ m}^3/\text{m}^3\text{h}$ .

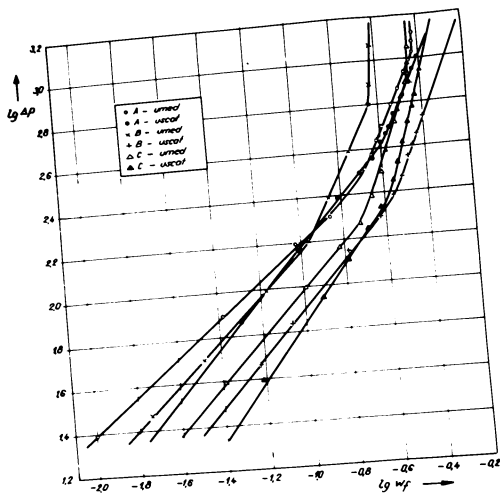


Fig. 44. Dependenta dintre caderea de presiune si viteza aerului in coloana cu  $D_t = 36$  mm, pentru umpluturi uscate si stropite.

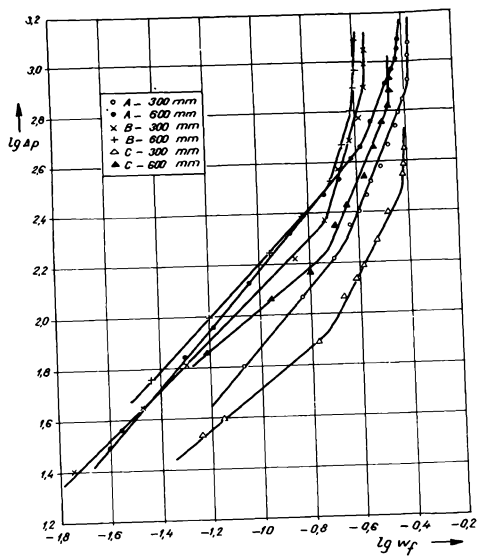


FIG. 45. Dependență din-  
tre cădere de presiune  
și viteza aerului în co-  
loană cu  $D_i = 36$  mm și  
intensitatea de stropire  
 $Q = 0,664 \text{ m}^3/\text{m}^2 \cdot \text{h}$ .

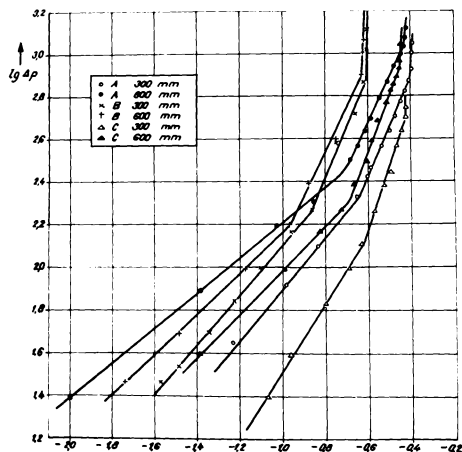


FIG. 46. Dependență din-  
tre cădere de presiune  
și viteza aerului în co-  
loană cu  $D_i = 36$  mm și  
intensitate de stropire  
 $Q = 2,65 \text{ m}^3/\text{m}^2 \cdot \text{h}$ .

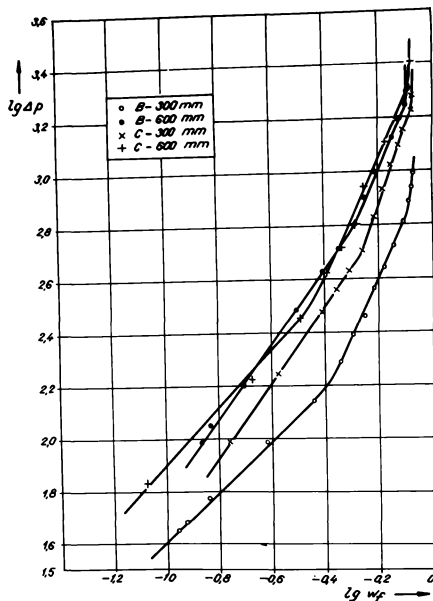


Fig. 47. Dependența dintre căderea de presiune și viteza aerului în coloană cu  $D_1 = 24$  mm și intensitatea de stropire  $Q = 2,65$   $\text{m}^3/\text{m}^2 \cdot \text{h}$ .

Interpretarea acestor dependențe împreună cu analiza fenomenelor observate în coloană în timpul funcționării permit precizarea unor observații cu privire la regimul optim de lucru în cazul umpluturilor metalice inelare<sup>240</sup>:

1. Căderea de presiune este mai mare în coloana stropită comparativ cu coloana uscată (fig. 44) la aceeași viteză a aerului și același înălțime a stratului de umplutură, cu diferențe foarte mari la umplutura de tip "B" și mult mai mici în cazul umpluturilor de tip "C" și "A". Aceasta se datorează unei repartizări neuniforme a lichidului, cu rețineri, sau

curgeri preferențiale prin canale formate în strat, ceea ce micșorează căderea de presiune în special la debite mici de stropire.

2. În toate condițiile studiate, s-a observat că pierderea de presiune în coloana stropită crește cu creșterea debitului de stropire, dar influența predominantă o are viteza aerului: fenomenul de încercare apare la anumite viteză ale aerului chiar și la debite mici de stropire.

În coloana cu diametrul de 36 mm, cea mai mare cădere de presiune o prezintă umplutura de tip "B" și în ordine descrescătoare "A" și "C" pe cind în coloana cu diametru de 24 mm, umplutura de tip "A" a avut o comportare critică, fenomenul de încercare producindu-se instantaneu chiar la viteză mici ale aerului și debite mici de stropire.

3. Din graficele din fig. 43, 45, 46, 47, se observă că pentru toate umpluturile și în toate condițiile studiate, căderea de presiune crește cu viteza pînă la o anumită valoare, la care dreptele experimentale marchează o primă schimbare de pantă ce caracterizează momentul în care lichidul începe să fie reținut în strat, neuniform și cu surgeri intermitente, indicînd influență reciprocă a celor două faze în contact. Valorile căderii de presiune la această limită sunt cu mult mai mari în cazul umpluturilor studiate, față de datele existente în literatură pentru umpluturi obisnuite<sup>197, 200-202, 204</sup> (înele Raschig, șei Berl, etc.).

Cea de a doua limită, cînd pantă curbei experimentale devine practic infinită marchează propriu zis viteza de încercare. Analiza fenomenului din strat în jurul acestei valori arată formarea unei coloane mobile de lichid la

partea superioară a coloanei în care aerul barbotează și umplutura își pierde caracterul compact, deplasându-se în interiorul stratului de lichid. De asemenea se observă că domeniul optim de lucru pentru toate umpluturile studiate se situează la viteze mai mici decât cea corespunzătoare limitei inferioare; viteza optimă variază cu tipul de umplutură și la aceeași umplutură cu înălțimea stratului și cu intensitatea de stropire, coloanele pot funcționa prin barbotare în strat fix chiar în apropierea punctului de înecare.

4. La același tip de umplutură, aceeași înălțime a stratului și aceeași intensitate de stropire, viteza de înecare pentru umpluturile studiate este mai mică în coloana cu diametru mai mare; de asemenea umpluturile care dă căderi de presiune mai mari, dau și viteze de înecare mai mici și deci un interval mai restrins de funcționare optimă.

5. Caracterul fenomenelor observate și al dependențelor stabilite pentru cele trei tipuri de umpluturi corespund cu cele existente în literatură pentru umpluturi obisnuite utilizate în procesele de transfer de masă, dar cu valori specifice ale parametrilor ce particularizează comportarea umpluturilor metalice studiate.

6. Toate umpluturile prezentate funcționează mai bine la înălțimi mici ale stratului, admitînd viteze mai mari pentru gaz și intensități de stropire mai mari, ceea ce influențează favorabil procesele de transfer de masă.

Domeniul restrins în care umpluturile studiate pot funcționa în condiții optime, scot în evidență și influența viscozității lichidului și a tensiunii superficiale, care poate determina efecte de perete în special în cazul umplu-

turilor de dimensiuni mici și în coloane de diametru mic; de aici și necesitatea respectării unui anumit raport între diametrul umpluturii și diametrul coloanei, specific pentru fiecare tip de umplutură.

V.2.2. Determinări experimentale asupra eficacității coloanelor de rectificare cu umpluturi metalice.

Din studiile existente în literatură și citate parțial în prezența lucrare (cap.V.1) rezultă că datele privind I.E.T.T. nu sunt în general bine reproducibile. Caracteristicile umpluturii, forma sa și în special modul cum este așezată în coloană, raportul între diametrul elementului de umplutură și al coloanei, precum și dificultatea de a se realiza practic condițiile adiabatice de lucru, determină modificări ale refluxului și în general ale regimului hidrodinamic al coloanei, implicând și modificări în procesele de transfer de căldură și de măsură ce au loc concomitent în aparat. Rezultă că pentru orice umplutură utilizată în anumite condiții este necesară determinarea experimentală a eficacității cu considerarea influenței factorilor enumerate.

In cele ce urmează se prezintă concluzii rezultate din determinări experimentale proprii privitoare la funcționarea în condiții de reflux total și presiunea atmosferică, a unor coloane de rectificare de laborator cu umpluturi metalice ale căror caracteristici determinante sunt prezentate în tabela IX.

S-a studiat influența diametrului coloanei, a dimensiunii umpluturii, a înălțimii stratului, a intensității de fierbere și a concentrației amestecului inițial, asupra I.B.T.T. Determinările au fost efectuate cu amestec de tetrachlorură de carbon și benzene, la presiunea atmosferică. Pureitatea componentelor amestecului s-a verificat prin indicele de refracție și temperatura de fierbere după datele din literatură pentru componente puri. Numărul de talere teoretice s-a calculat cu relația (37) iar volatilitatea relativă medie, pentru presiunea atmosferică, cu relația<sup>241</sup>,

$$\mathcal{L}_m = 1,203 - 0,00203 \times \quad (45)$$

în care:

$x$  - % moli tetrachlorură de carbon în lichid.

Concentrația componentelor s-a determinat prin indicele de refracție; datele asupra echilibrului lichid-vapori pentru amestecul studiat și dependența indicelui de refracție de concentrație s-au luat din literatură<sup>197,202</sup>.

In fig.48 se prezintă schema instalației experimentale<sup>242</sup>. Instalația este prevăzută cu termometre sau termoelemente 12, 13, 14, pentru controlul temperaturilor și dispozitivele 9 și 4 pentru colectarea probelor la baza și la vîrful coloanei. Debitul de reflux se determină prin măsurarea volumului de lichid colectat în eprubeta gradată 10 într-un interval de timp determinat. Regimul termic al coloanei se stabilește prin valoarea constantă a tensiunii de alimentare a încălzitorului.

Determinările s-au efectuat pe coloane din sticlă cu diametrul interior de 24 mm, cu înălțimi ale stratului de 300 mm și 1400 mm și cu diametru interior de 36 mm la înălțimea

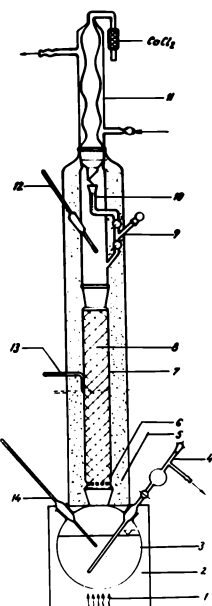


Fig. 43. Schema instalației experimentale pentru studiul rectificării.

1-inhalitor; 2,5-isolație termică; 3-bază coloanei; 4,9-colecțoare punctu probe; 6-sitii; 7-coloană de sticlă; 8-amplătură; 10-eprüfertă grozăță; 11-refrigerent; 12,13,14-termometru sau termocupluri.

stratului de amplătură de 900 mm. S-a lucrat în trei concentrații ale amoniacului inițial, 28 %, 54 % și 74 % mol  $\text{NH}_4$ .

Volumul încărcăturii s-a lăsat aproximativ de 10-15 ori mai mare ca rezervația, apreciată prin incercări preliminare.

Valorile medii determinate pentru apă în cazul amplăturilor studiate și la începutul stratului de

300 cm se situează în limitele:

Reținere statică : 4 - 10 ml

Reținere dinamică : 5 - 25 ml, funcție de debitul de stropire.

De ani mai vîrzoare fiind observată în casul umpluturii "A" și "C". De aceea se constată că reținerea crește cu creșterea debitului de stropire.

În începutul fiecărui experiment coloana s-a înscăpat prin asigurarea unui regim termic corespunzător, astfel încât la reducerea încălzirii după înscăpare umplutura să fie tot timpul ușoară și scăzută în vaporii, deci să nu se întreagă refluxul. Prin acesta se realizează în primul rînd evocarea aerului reținut în stratul de umplutură și se asigură rezultate mai reproducibile și valori mai mici ale I.T.T.T. Regimul termic optim s-a stabilit prin mai multe încercări și s-a menținut riguros constant.

Regimul stational al coloanei s-a verificat prin valoarea constantă a refluxului în timp. Debitul de reflux a variat între 100-200 ml/h, în funcție de dimensiunile coloanei și ale umpluturii precum și de încălzarea termică a bazei.

Pentru toate experimentele probele de lichid-bază și distilat-vîrf, s-au lăsat cînd coloana a atins regimul stational de funcționare și în cantități minime pentru a nu produce variații importante de concentrații în coloană și deci de ranjarea echilibrului stabilit. Analiza acestor probe arătă gradul de îmbogățire, iar valorile concentrațiilor determinate au permis determinarea numărului de talere teoretice și a I.T.T.T. aplicând relația lui Fenske (Cap.V.1.).

In fig. 49 se prezintă variația I.R.T.T în funcție de debitul de reflux, pentru coloane și două înălțimi ale stratului, la diverse concentrări ale amestecului.

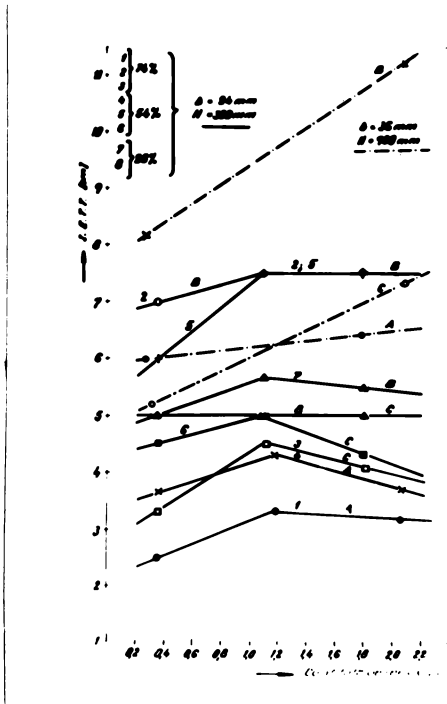


Fig. 49. Dependența între I.R.T.T. și debitul de reflux.

In tabelă XIII sunt prezentate rezultatele experimentale pentru coloana cu diametrul  $D_1 = 36$  mm și  $H = 900$  mm (înălțimea stratului) pentru umpluturile studiate.

In timpul experimentelor coloana a functionat fără încercare, indiferent de felul umpluturii de regimul termic sau de compoziția amestecului. Rezultatele din tabelă se referă la concentrația de 74 % moli  $\text{CCl}_4$ .

In tabelă XIII, sunt prezentate rezultatele experimentale pentru coloana cu diametru de 24 mm și înălțimea

stratului H = 1400 mm, pentru toate umpluturile studiate.

Tabela XII

Nr. crt.	Tipul de umplutură studiat	Ten- siune (V)	Debit de re- flux Q (l/h)	Conc. disti- lat $x_d$ (% moli)	Conc. lichid (% moli)	Vola- tili- tate rela- tivă $\alpha_m$	Număr de ta- lere $n_t$	I.E.T.T. (mm)
1.	$A$ $D_{col} = 24$ $d_u$	100	0,274	86,0	72,5	1,056	15	60,0
		200	1,8	85,0	72,2	1,056	14	64,2
2.	$B$ $D_{col} = 12$ $d_u$	100	0,269	83,0	72,5	1,056	11	82,0
		200	2,05	81,0	72,5	1,056	8	112,5
3.	$C$ $D_{col} = 12$ $d_u$	100	0,313	87,3	69,5	1,062	17	50,0
		200	2,06	83,5	69,5	1,062	12	73,0

Tabela XIII

Nr. crt.	Tipul de umplutură	Ten- siune (V)	Debit de re- flux Q (l/h)	Conc. disti- lat $x_d$ (% moli)	Conc. lichid (% moli)	Vola- tili- tate $\alpha_m$	Număr de ta- lere $n_t$	I.E.T.T.
1.	$A$ $D_{col} = 24$ $d_u$	100	0,144	96,0	73,0	1,0548	39,0	36,0
2.	$B$ $D_{col} = 12$ $d_u$	100	0,222	86,5	71,5	1,0579	16,0	87,5
3.	$C$ $D_{col} = 12$ $d_u$	100	0,284	87,0	69,5	1,062	21,0	66,6

Coloana a funcționat normal numai la încălziri mode-  
rate, deci la debite mici de reflux. S-a observat o influență  
însemnată a concentrației de benzen în amestec, în sensul că

la concentrații mai mari de 25 % molii  $C_6H_6$  (75 % molii  $CCl_4$ ) coloana se înecă odată cu creșterea intensității de fierbere, indiferent de tipul de umplutură.

Tabela XIV "A"

Nr. crt.	Concentr. inițiale (% molii)	Tens. de alim. (V)	Debit de reflux Q (l/h)	Conc. distil. $x_d$ (%molii)	Conc. lichid $x_w$ (%molii)	Volat. relat. $\alpha_m$	Nr. de talere $n_t$	I.E. T.T. (mm)
1.	54,0	100	0,36	77,8	65,0	1,071	9	33,3
		150	1,172	76,0	65,0	1,071	7	43,0
		200	2,06	77,25	64,5	1,072	8	37,0
2.	74,0	100	0,36	84,0	74,2	1,0524	12	25,0
		150	1,172	83,0	74,2	1,0524	9	33,3
		200	2,06	83,5	74,2	1,0524	9	33,3

Tabela XV "B"

Nr. crt.	Concentr. inițială $CCl_4$ (% molii)	Tens. de alim. (V)	Debit de reflux Q (l/h)	Conc. distil. $x_d$ (% molii)	Conc. lichid $x_w$ (% molii)	Volat. relat. $\alpha_m$	Nr. de talere $n_t$	I.E. T.T. (mm)
1.	28,0	100	0,36	42,5	21,0	1,1604	6	50
		150	1,105	40,0	21,0	1,1604	5,27	57
		200	1,8	40,5	21,0	1,1604	5,4	55,5
2.	54,0	100	0,36	74,0	64,5	1,072	5	60
		150	1,105	72,0	64,5	1,072	4	75
		200	1,8	72,0	64,5	1,072	4	75
3.	74,0	100	0,36	79,5	74,5	1,052	4,3	70
		150	1,105	78,5	74,5	1,052	4	75
		200	1,8	78,5	74,5	1,052	4	75

Tabela XVI "C"

Nr. crt.	Concentr. inițială (% moli) CCl <sub>4</sub>	Tens. de alim. (V)	Debit de reflux Q (l/h)	Conc. distil.	Conc. lichid	Volat. relat.	Nr. de talere	I.E. T.T. (mm)
1.	28,0	100	0,36	41,5	20,0	1,1624	6	50
		150	1,105	41,5	20,0	1,1624	6	50
		200	0,36	77,5	64,0	1,0731	7	45
2.	54,0	100	0,36	77,5	64,0	1,0731	7	45
		150	1,105	74,5	64,5	1,072	6	50
		200	1,8	74,5	63,5	1,074	7	43
3.	74,0	100	0,36	83,0	74,5	1,052	9	33,3
		150	1,105	81,5	74,5	1,052	7	45
		200	1,8	82,0	74,5	1,052	7,35	41

In tabelele XIV, XV, XVI, sunt prezentate rezultatele experimentale pentru coloana cu diametrul  $d_1 = 24$  mm și înălțimea stratului  $H = 300$  mm, pentru cele trei tipuri de umpluturi studiate.

La aceste determinări umplutura „A” a avut o compoziție critică la concentrații mai mari de 50 % moli C<sub>6</sub>H<sub>6</sub>. În toate celelalte cazuri coloana a funcționat, fără întreruperi prin fineare, indiferent de regimul termic și de compozitia amestecului.

Apariția fenomenului de fineare odată cu creșterea concentrației benzenului chiar la intensități minime de fierbere, în cazul coloanelor de diametru mic a suferat încercarea coloanelor cu fiecare din cei doi componente ai amestecului, separat, modificînd înălțimea stratului de umplutură. În

casul distilării benzenului, pentru toate cele trei tipuri de umpluturi, coloana să aibă încă din ceapă instantaneu indiferent de înălțimea stratului chiar la încălziri moderate ale lichidului din fierbător. În cazul distilării tetraclorurii de carbon coloana a avut o comportare normală în orice condiții (intensitate de fierbere, umplutură, înălțimea stratului).

În aceeași ideie s-a încercat funcționarea coloanelor cu umplutura fracționată în straturi de 100 mm cu intervale libere de 30 mm. Fenomenele au fost identice cu cele observate în coloane cu umplutură compactă.

Din această comportare se poate aprecia că asupra procesului de rectificare au o influență însemnată proprietățile fizice ale componentilor amestecului (densitatea, viscozitatea, căldurile molare de vaporizare, tensiunea superficială, etc.). Viscozitatea diferită a celor două lichide (benzen și tetraclorură de carbon) ducă la o distribuire diferențiată a refluxului în coloană. Benzenul care prezintă o viscozitate mult mai mică se adună în cantitate mai mare la partea inferioară a stratului ; valorile căldurilor molare de vaporizare ale benzenului și tetraclorurii de carbon fiind apropiate rezultă că același volum de vapori proveniți din distilarea benzenului vin în contact cu o cantitate mai mare de reflux determinând prin aceasta încărcarea coloanei. Pe de altă parte așezarea neuniformă a umpluturii și deci variația secțiunii de trecere în special la coloane de diametru mic are ca efect rețineri sau antrenări de lichid ceea ce favorizează încărcarea coloanei.

Rezultatele experimentale, împreună cu analiza fenomenelor observate în timpul determinărilor permit precizarea unor concluzii referitor la funcționarea cu eficacitate maximă a coloanelor cu umpluturi inelare în procesul de rectificare.

1. În toate condițiile studiate, micșorarea diametrului spirei a produs o micșorare a I.E.T.T. prin mărirea suprafetei de contact între fazele în contracurent.

2. Eficacitatea acestor coloane este influențată sensibil de raportul dintre diametrul coloanei și al elementului de umplutură, precum și de raportul dintre dimensiunea umpluturii și înălțimea stratului. În același diametru și același umplutură valoarea I.E.T.T. scade cu micșorarea înălțimii stratului. Numărul de talere teoretice nu crește proporțional cu înălțimea stratului; în schimb cu creșterea înălțimii crește considerabil căderea de presiune în coloană ceea ce mărește I.E.T... .

3. Valoarea mică a I.E.T.T. pentru coloanele cu diametru mic nu poate fi realizată în cazul coloanelor cu diametru mare. Chiar dacă umplutura, compozitia amestecului și încărcarea termică a coloanei sunt aceleasi viteza mai redusă în coloana cu diametru mare înrăutățește transferul de căldură și de masă în diferite secțiuni ale coloanei ceea ce micșorează eficacitatea de separare. Totuși în cazul umpluturilor din spire metalice de diametru mic este recomandabil să se lucreze la încărcări termice mici, corespunzătoare unor debite de reflux mai mici de 400 ml/h; în caz contrar se atinge instantaneu punctul de încercare.

4. În ce privește influența compozitiei amestecului asupra I.E.T.T., s-a constatat că scăderea conținutului

de benzen micșorează I.E.T.T.

Comparând rezultatele experimentale se poate aprecia că cea mai bună comportare au avut-o coloanele cu umplutură de tip "A" și "C" la înălțimi mici ale stratului, intensități mici de fierbere și concentrații reduse de benzen în amestecul inițial, realizând I.E.T.T. mai mici și o îmbogățire mai bună de  $\text{CCl}_4$  la vîrful coloanei.

Fracționarea stratului de umplutură nu modifică esențial eficacitatea coloanelor.

Studiul coloanelor cu umpluturi din spire metalice scoate în evidență o eficacitate bună de separare dar numai în anumite condiții de lucru și constructive; mărimele care influențează în general procesele de transfer de masă și de căldură în coloane cu umpluturi au o pondere selectivă asupra fiecărui tip de umplutură.

Eficacitatea umpluturilor studiate se situează în limitele admise pentru coloanele de rectificare cu capacitate bună de separare.

V.2.3. Studii experimentale privind rectificarea  
sub presiune a tetraclorurii de zirconiu  
și hafniu.

Informațiile existente în literatură referitor la distilarea amestecului de tetracloruri de zirconiu și hafniu precum și echilibrele de fază determinate pentru acest sistem<sup>73, 75-89, 91</sup> scot în evidență dificultăți esențiale în realizarea practică a acestui proces, determinate de necesitatea de a conduce rectificarea în apropierea punctului critic și într-un interval redus al stării lichide, temperaturi

și presiuni ridicate și limite severe pentru acești parametri, mediu de lucru anhidru, precum și agresivitate pronunțată față de materialele obisnuite în construcția utilajului chimic.

Din datele prezentate (tab. III pg. 38 și tab. IV pg. 39) rezultă că intervalul de existență al stării lichide, determinat de diferența dintre temperatura critică și temperatură corespunzătoare punctului triplu este de circa  $68^{\circ}\text{C}$  la  $\text{ZrCl}_4$  și  $17^{\circ}\text{C}$  la  $\text{HfCl}_4$ .

Tetraclorurile de zirconiu și hafniu sublimă la presiunea atmosferică la temperaturile de  $331^{\circ}\text{C}$   $\text{ZrCl}_4$  și  $313,7^{\circ}\text{C}$   $\text{HfCl}_4$ , ceea ce impune presiuni superioare presiunii atmosferice pentru a le aduce în stare topită și anume,  $22,8 \cdot 10^5 \text{ N/m}^2$  în cazul  $\text{ZrCl}_4$  și  $45,9 \cdot 10^5 \text{ N/m}^2$  în cazul  $\text{HfCl}_4$ , corespunzătoare punctului triplu și respectiv pentru temperaturi de fierbere cuprinse între  $457\text{-}484^{\circ}\text{C}$ , ca limite între care trebuie să se realizeze distilarea amestecului, presiunea în sistem este cuprinsă între  $28 \cdot 10^5$  -  $43,5 \cdot 10^5 \text{ N/m}^2$ .

Temperatura minimă în condensator, trebuie să fie cu  $2\text{-}3^{\circ}\text{C}$  mai mare decât temperatura de topire, iar temperatura maximă, cu  $10\text{-}12^{\circ}\text{C}$  mai mică decât temperatura critică pentru a se asigura formarea refluxului în coloană. Evident, în această situație, diferențele minime de temperatură în condensator (diferența între temperatura maximă și minimă), sunt de circa  $58^{\circ}\text{C}$  la  $\text{ZrCl}_4$  și  $8^{\circ}\text{C}$  la  $\text{HfCl}_4$ .

Între proprietățile care concordă favorabil la realizarea practică a rectificării, se remarcă valoarea ridicată a volatilității relative a amestecului de  $\text{Zr}(\text{Hf})\text{Cl}_4$ , ( $\mathcal{L} = 2$ )<sup>80</sup>, vîscozitatea redusă a topiturilor și tensiunea superficială mică, determinată de apropierea de punctul critic, cînd tensiunea superficială devine zero.

Realizarea rectificării în apropierea stării critice, pe de o parte favorizează procesul de vaporizare-condensare, variația entalpiei de vaporizare fiind nulă la punctul critic, pe de altă parte, existența fazelor lichide în aceste condiții, impune respectarea limitelor de temperatură și presiune prescrise.

In cele ce urmează se prezintă rezultatele încercărilor experimentale proprii privind rectificarea tetraclorurii de zirconiu (cu hafniu) în instalația de laborator, pe care am construit-o în scopul stabilirii condițiilor de rectificare specifice, legate de funcționarea coloanelor cu umpluturi metalice, cu faza lichidă în stare de topitură, la presiuni și temperaturi ridicate.

Ansamblul instalației experimentale cu accesoriiile de măsură și control, este prezentat în fig. 50.



Fig. 50. Instalația experimentală pentru rectificarea tetraclorurii de zirconiu (cu hafniu).

Coloana de rectificare și cupitorul sănt prezentate în detaliu în fig. 51, iar în fig. 52 este arătat condensatorul coloanei de rectificare.

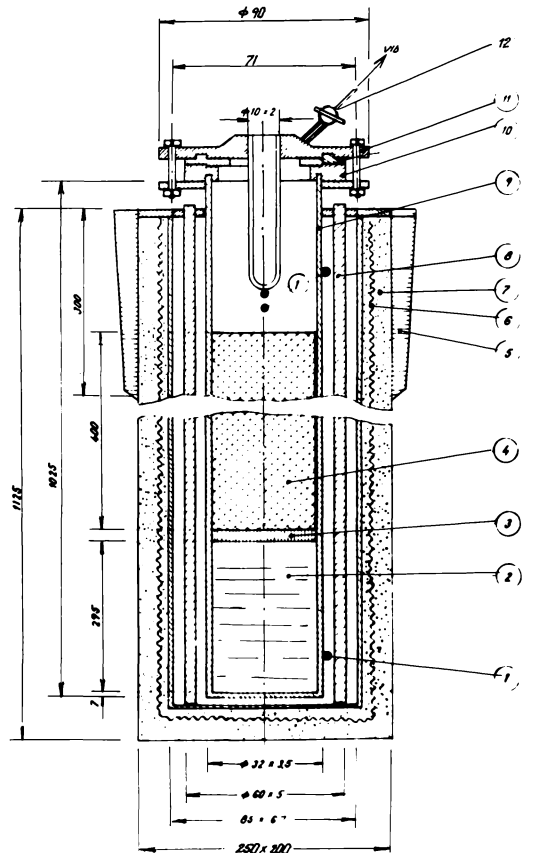


Fig. 51. Detaliile coloanei de rectificare și ale cupotorului.

1-puncte pentru măsurarea temperaturii; 2-blaza coloanei de rectificare; 3-suport pentru umplutură; 4-strat de umplutură; 5-izolație suplimentară; 6-rezistențe de încălzire; 7-cuptorul și stratul principal de izolație; 8-tub metalic pentru egalizarea temperaturii; 9-corpul coloanei de rectificare; 10-garnituri din teflon grafitat; 11-flanșă capac a coloanei împreună cu tubul condensator; 12-robinet pentru legarea instalației la pompa de vid.

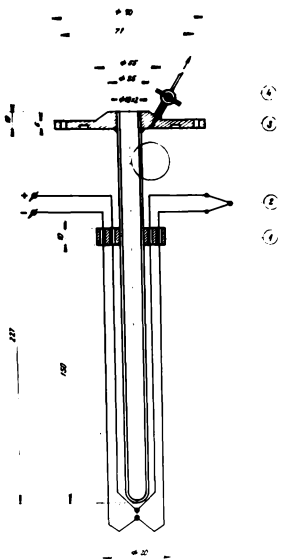


FIG. 52. Condensatorul coloanei de rectificare.

1-inele de susținerea termocuplului diferențial; 2-termocuplu diferențial (firele sunt izolate cu capilare de quart); 3-flanșă-capac cu tub condensator; 4-robinet.

Coloana de rectificare s-a construit pe baza unui calcul de dimensionare mecanică, pentru condițiile de temperatură și presiune impuse de proces, iar verificarea de rezistență s-a făcut la rece, la presiunea de  $250 \cdot 10^5$  N/m<sup>2</sup>.

Coloana este realizată sub formă unui cilindru din oțel inoxidabil, de secțiune constantă pe toată lungimea, cu asamblări prin suduri și flanșe. La capacul coloanei este sudată o țeavă, închisă la capătul introdus în coloană și deschisă în locul de asamblare la capac – pentru a permite o eventuală răcire cu aer – adaptare care constituie condensatorul coloanei de rectificare.

Stuțul cu robinet sudat la capac permite legarea coloanei la instalația de vid, la pornire.

Ca material de umplutură servesc spirale din sîrmă nichelată, avînd dimensiunile și caracteristicile hidrodin-

mice studiate în cadrul prezentei lucrări și redate în tab. IX pg. 97.

Stratul de umplutură are înălțimea de 350 mm, iar I.E.T.T. determinată față de amestecul etalon  $C_6H_6-CCl_4$ , variază în funcție de dimensiunile coloanei, încărcarea termică, concentrația amestecului și debitul de reflux, între 30-40 mm, reprezentând aproximativ 10 talere teoretice, în cazul amestecului etalon  $C_6H_6-CCl_4$ . Desigur, la distilarea amestecului de tetracloruri de zirconiu și hafniu, este de așteptat o scădere simțitoare a eficacității, determinată de scăderea coeficientelor de difuziune în apropierea punctului critic.

Regimul termic al coloanei s-a stabilit pe baza unui mare număr de încercări preliminare fără încărcătură, utilizând cuptorul electric atât pentru încălzire cât și pentru asigurarea unor condiții adiabatice pe lungimea coloanei, necesare procesului de rectificare.

Cuptorul electric, de formă prismatică cu secțiune dreptunghiulară (dimensiunile sunt date în fig. 51), este construit cu rezistențe sectionate, alimentate independent, în intenția de a elimina gradientii de temperatură care există în mod normal la cuptoarele cu rezistență, din cauza pierderilor calorice la capete.

În fig. 53 este prezentată schema de alimentare și control a cuptorului, iar în fig. 54, graficul de distribuție a temperaturilor pe lungimea cuptorului, la diferite încărcări termice.

Executarea practică a aparaturii în întregime și a tuturor pieselor, s-a realizat în atelierul laboratorului de Operații și Utilaje în industria chimică și a Centralui de Chimie din Timișoara, după planurile de execuție personale.

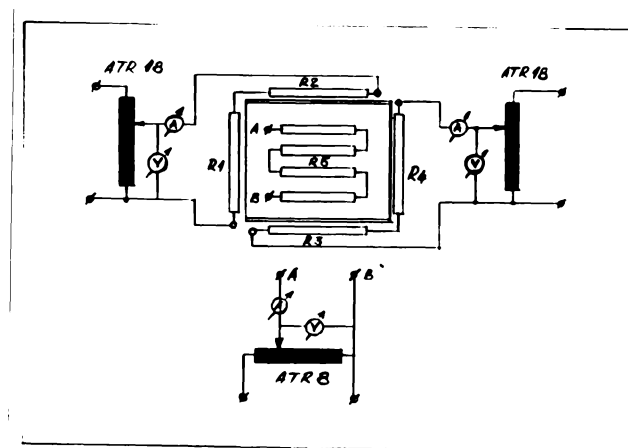


Fig. 33. Schema de lucru a sistemelor de control a captorului.

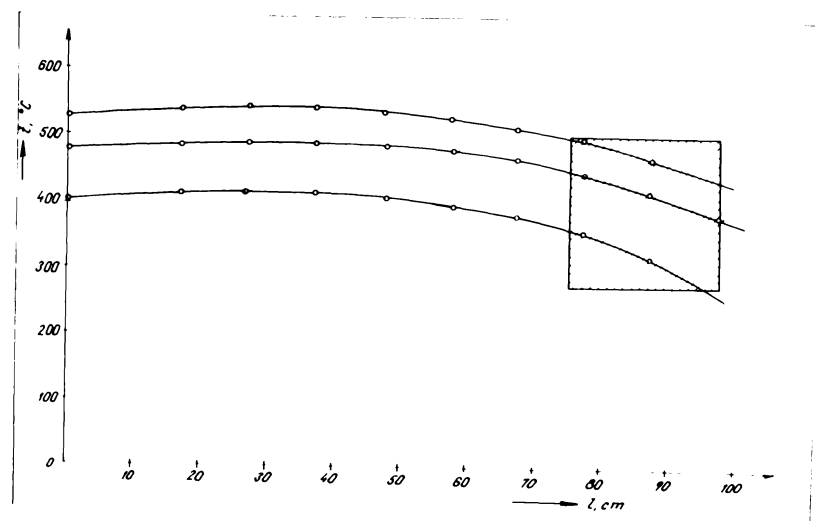


Fig. 34. Graficul de dependență a semnalului la lungii co extensibil.

Controlul temperaturii în blasă coloanei de rectificare și în zona condensatorului se face cu ajutorul unor termoelemente din Ni-NiCr, etalonate și urmărite în mod continuu de un voltmetru digital.

Eficacitatea unui proces de rectificare, este influențată atât de caracteristicile constructive și hidrodinamice ale umpluturii cât și de factorii termici, care determină un anumit raport de reflux și care corelează îmbogățirea realizată la vîrful coloanei, cu dimensiunile constructive ale acesteia.

Rezultatele semnalate în literatură<sup>73, 75-81</sup>, cu privire la purificarea tetraclorurii de zirconiu prin rectificare și citate în prezenta lucrare, nu conțin date cu privire la măsurarea refluxului. Unele valori prezentate și apreciate ca orientative de către autorii respectivi, nu pot constitui o bază de calcul pentru coloanele de rectificare și un control asupra eficacității de separare. De aceia a trebuit să se întreprindă încercări proprii în această direcție.

Pe baza unor observații cu privire la sesizarea formării și desprinderii bulelor de pe suprafațe încălzite, în procesul de transfer de căldură la fierbere<sup>243</sup>, ne-am propus elaborarea unei metode indirecte de măsurarea refluxului, prin diferența de temperatură sesizată de două termoelemente legate diferențial, în momentul căderii picăturii "reci", de pe o sudură, aflată pe suprafața condensatorului la vîrf, pe cealaltă sudură "caldă", aflată în permanent contact cu vaporii ce alimentează condensatorul coloanei de rectificare. Prin încercări preliminare s-a stabilit că distanța optimă între cele două suduri este de 6-10 mm, în funcție de mărimea picăturii.

Momentul căderii picăturii respectiv diferența de de temperatură între vaporii și picătura de lichid este sesizată de un milivoltmetru înregistrător. Cunoscând viteza de deplasare a tamburului pe care este înășteptată hârtia înregistratoare, volumul corespunzător unui număr de picături și numărul de picături, determinat de frecvența picurilor înregistrate de aparat, se poate deduce debitul de reflux.

Metoda<sup>244</sup> permite determinarea refluxului în coloane metalice închise și oferă posibilitatea de reglare automată a unei coloane de rectificare, corectând încălzirea, în funcție de debitul de reflux necesar pentru un anumit proces de separare. Este aplicabilă în cazul instalațiilor de laborator sau pilot, cu condiția de a se înălțura condensarea vaporilor pe peretele coloanei, la vîrf, și de a dirija acest proces pe suprafața condensorului.

In toate determinările efectuate pentru punerea la punct a metodei, s-a lucrat la reflux total.

Incercările au fost făcute cu apă și cu alți solvenți cu puncte de fierbere diferite și în prima etapă în instalația de sticlă prezentată în fig. 55.

S-a lucrat în cazul apei, cu refrigerent cu suprafață de răcire închisă în contact cu vaporii (refrigerent Ostrogovich) și cu refrigerent cu reflux, atât pentru apă, cât și pentru alți solvenți utilizati, ( $\text{CH}_3\text{OH}$ ,  $T_f = 64,7^\circ\text{C}$ ;  $\text{C}_6\text{H}_4\text{Cl}_2$ ,  $T_f = 179^\circ\text{C}$ ). Sifonul etalonat s-a prevăzut pentru controlul volumului de lichid corespunzător unui număr de picături formate prin condensare. Valorile obținute cu ajutorul relațiilor cunoscute<sup>245</sup>, cu privire la calculul volumului maxim al unei picături desprinse de pe o suprafață

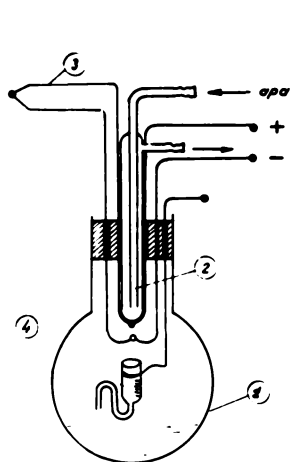


Fig. 55. Dispozitiv pentru măsurarea refluxului.

1-balon de sticlă; 2-refrigerent închis (Ostrogovich), sau cu reflux; 3-fire de termocuplu; 4-sifon etalonat, pentru măsurarea volumului picăturilor scurse.

plană<sup>241</sup>, și care ține seama de densitatea lichidului și tensiunea sa superficială, săint mult prea mari și nu se încadrează în limitea valorilor reale medii, măsurate pentru solventii utilizati, atât la rece cît și la cald.

In toate încercările efectuate, încărcarea termică a încălzitorului, s-a stabilit astfel ca debitul de reflux să se situeze în limitele obișnuite pentru coloanele cu umpluturi metalice inelare și în dimensiunile constructive cu care s-a lucrat<sup>242</sup>.

In fig. 56 se redă graficul de reflux, obținut în distilarea apei și condensarea vaporilor pe un refrigerent Ostrogovich.

Rezultatele obținute la mai multe încercări sunt în concordanță și corespund unui debit mediu de reflux de

<sup>241</sup> Formula cu care s-a verificat nu corespunde în ceea ce privește dimensiunile unităților folosite, ea este deci probabil greșit reproducă, în lucrarea citată.

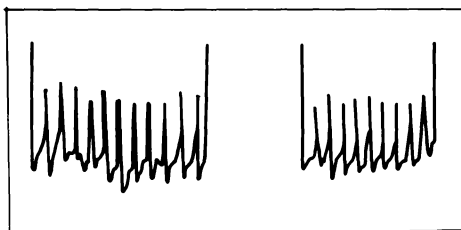


Fig. 56. Graficul de reflux la dis-  
tilarea apei (refrigerent  
Cetrogovich).

2,54 ml/minut. Înălțimea relativ mare a picurilor sugerază o diferență mare de temperatură între vaporii și lichid și poate fi sesizată și cu un milivoltmetru obisnuit.

In fig. 57 sunt prezentate graficele de reflux, la distilarea apei, a metanolului și a 1,2-diclor benzenului și condensarea vaporilor pe un refrigerent cu reflux.

Din calculele efectuate pe baza graficelor de mai sus, rezultă următoarele valori pentru reflux, calculate ca medie a mai multor determinări (tab.XVII); în tabelă sunt date pentru comparare și valorile unor constante fizice ale solventilor utilizati.

Înălțimea cu mult mai mică a picurilor obținute la înregistrare indică o diferență mai mică de temperatură între temperatura vaporilor și a picăturii, explicabilă prin faptul că lichidul fiind permanent în contact cu vaporii de-o-lungul suprafeței de răcire, se încălzește și diferența de temperatură între lichid și vaporii se micorează și înțitor.

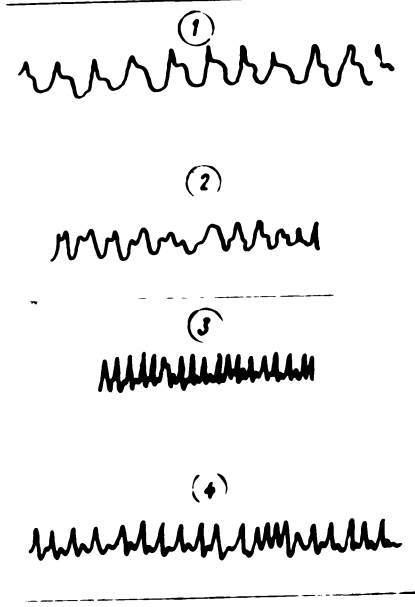


FIG. 57. Graficul de reflux la condensarea vaporilor pe un refrigerent cu reflux.

1-apă; 2- 1,2-diclor benzen; 3-metanol la fierbere intențio; 4-metanol la fierbere mai lentă.

In cazul apei, refluxul măsurat este uniform, rezultatele sunt concordante și reproductibile.

Volatilitatea mult mai ridicată a metanolului comparativ cu apa, face ca la același volum de lichid și încărcare termică (debit de vaporizare), cantitatea de reflux să fie

Tabela XVII

Solventul	Temperat. de fierbere $T_f$ °C	Viscozit. la temp. de fierb. $\eta$ N.s/m <sup>2</sup>	Densitatea la 20°C kg/m <sup>3</sup>	Tensiunea superfi- cială la 20°C N/m	Cantitatea de reflux $Q$ ml/minut
Apa	100	$0,25 \cdot 10^{-3}$	1000	$72,8 \cdot 10^{-3}$	1,335
1,2-diclor benzen	179	$0,15 \cdot 10^{-3}$	1300	$22,2 \cdot 10^{-3}$	1,990
Metanol	64,7	$0,43 \cdot 10^{-3}$	792	$32,9 \cdot 10^{-3}$	a: 2,700 b: 4,050
a: fierbere lentă; b : fierbere intensă.					

mai mare. Aceasta determină o frecvență cu mult mai mare de cădere a picăturilor, față de cea înregistrată de milivoltmetru (aparatul prezintă o inertie mecanică față de frecvență rapidă de cădere a picăturilor). Refluxul este neuniform, rezultatele obținute nu au prezentat o reproductibilitate evidentă.

Analiza fenomenelor observate la distilarea 1,2-diclor benzenu lui, ca, dimensiunea mai mare a picăturilor, desprinderea lor mai greoai și apariția unor răbufniri, corelată cu alura graficului care arată existența unor picuri suprapuse, sugerează influența asupra procesului de vaporizare-condensare a naturii fluidului și deci a proprietăților sale fizice.

Verificarea metodei într-un spațiu complet inchis și opac s-a făcut pe instalația prezentată în fig. 51, la distilarea antracenului ( $C_{14}H_{10}$ )<sup>247</sup>:

Temperatura de topire . . . . 216°C (p = 760 mm col Hg)

Temperatura de fierbere . . . . 341°C (p = 760 mm col Hg)

Temperatura de fierbere . . . . 400°C (p = 2000 mm col Hg)

Regimul termic al coloanei s-a stabilit prin mai multe încercări corespunzătoare temperaturii de  $400^{\circ}\text{C}$ , cu viadarea prealabilă a instalației la aproximativ 10 mm col Hg, pînă la temperatura de  $100^{\circ}\text{C}$ .

In scopul măsurării refluxului, la condensatorul coloanei (fig. 52) s-au adoptat două inele din oțel inoxidabil prevăzute cu cîte patru orificii prin care s-au introdus patru tuburi capilare de quart, de lungime aproximativ egală cu a condensatorului, pentru susținerea și izolarea celor patru fire de termocuplu. Termoelementele sunt confectionate din sîrmă de NiCr-Constantan, cu diametrul de 0,1 mm, care au fost trase printre cele două garnituri din teflon ale capacului, ecranate și legate la milivoltmetrul înregistrător.

Coloana a fost încălzită treptat pe rezistențele de bază și laterale, astfel că la temperatura de regim ( $400^{\circ}\text{C}$ ) temperatura în condensator să nu fie mai mică de  $250\text{--}300^{\circ}\text{C}$ . Durata pînă la atingerea regimului staționar al coloanei este de circa 6-7 ore, verificat prin constanța temperaturilor în timp și al urmării graficelor de reflux, redată în fig. 53. De la caz la caz, condensatorul a fost răcît prin introducerea unui curent foarte slab de aer.

Din graficele prezentate se distinge net momentul stabilizării coloanei, rezultatele sunt reproductibile și în perfectă concordanță la mai multe încercări și pentru diferite condiții de temperatură și presiune. Debitul de reflux variază în cazul încercărilor prezentate mai sus, între 0,6-0,8 ml/minut, în funcție de viteza de vaporizare stabilită.

Distilarea antracenușului a constituit totodată și o verificare a instalației, în vederea distilării tetraclorurii

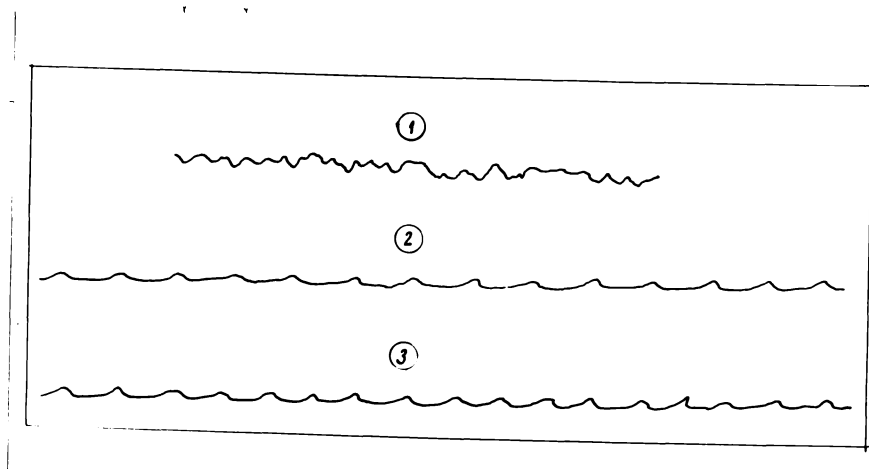


Fig. 58. Graficele de reflux la distilarea antracenuimului.  
1-coloană nestabilizată; 2-coloană stabilizată;  
3-coloană stabilizată, reflux mai mare.

de zirconiu. La toate încercările efectuate, coloana a funcționat cu reflux total.

In concluzie, metoda preconizată de măsurarea refluxului, în coloane închise și care nu oferă posibilitatea de urmărire directă a acestuia, a dat rezultate bune și reproductibile la mai multe încercări și în condiții experimentale diferite. Metoda însă, suportă încă îmbunătățiri în ce privește precizia realizată, și anume, referitor la corelația mai strânsă a refluxului cu încărcarea termică dirijată a blazei de distilare și extinderea pe intervale mai mari de temperaturi și presiuni.

Distilarea tetrachlorurii de zirconiu (cu hafniu) a impus rezolvarea unor probleme tehnice legate de alimentarea coloanei cu materie primă în condiții anhidre, stabilirea

regimului termic, etansarea coloanei, etc. Schema instalației experimentale a fost prezentată în fig. 51.

Alimentarea cu materie primă s-a făcut direct, adoptând coloana la o flameră anhidră (fig.65), prin intermediul unei flanșe suplimentare cu garnitură de cauciuc. În felul acesta, încărcarea cu substanță, introducerea suportului pentru umplutură, a umpluturii și a condensatorului s-a făcut într-un spațiu închis, vidat în prealabil și alimentat cu un curent slab de azot sau aer uscat. Prin această adaptare simplă se elimină dificultățile constructive legate de alimentarea directă a coloanei în cupoze dintr-un sublimator special.

Cantitatea de materie primă introdusă în coloană s-a stabilit pe baza unui calcul prealabil, ținând seama de volumul coloanei în condițiile de lucru, de reținerea umpluturii, de cantitatea de lichid necesară în blasă pentru a avea un debit constant de vaporii și de proprietățile fizice ale amestecului în stare solidă, lichidă și de vaporii. Condițiile de lucru s-au stabilit calculind presiunile de vaporii ale componentilor puri<sup>78, 80, 82, 84</sup>, la temperaturi cuprinse între 450-484°C și o presiune totală în sistem calculată, ținând seama de compozitia amestecului. S-au fixat următoarele condiții de lucru:

Temperatura : . . . . . 450-484°C

Presiunea . . . . .  $35 \cdot 10^5 - 40 \cdot 10^5 \text{ N/m}^2$

În această situație, temperatura în zona condensatorului este 425-440°C, iar cantitatea de substanță introdusă în coloană este de aproximativ 200 gr.

La inceputul fiecărei experiențe coloana s-a vidat la circa 10 mm col Hg pînă la temperatura de 150-200°C.

Stabilirea regimului termic pentru condițiile precizate s-a făcut prin mai multe încercări prealabile, fără alimentarea coloanei cu materie primă.

Încălzirea, a fost condusă la început mai lent la bază și mai puternic pe rezistențele laterale, pentru a se evita transportul tetraclorurii în zonele de temperatură scăzută, și apoi s-a reglat în conformitate cu condițiile precise.

Toate experimentările au fost conduse la reflux total. Timpul de lucru cu încălzirea coloanei, pînă la stabilirea refluxului a fost de 6-7 ore și lucrul efectiv la reflux total 1-2 ore.

Etanșarea coloanei a constituit o problemă dificilă nu numai din cauza condițiilor de presiune și temperatură, ci și din cauza măsurării refluxului prin metoda descrisă anterior și care implică scoaterea firelor de termocuplu (4 fire) printre cele două garnituri ale capacului, precum și din cauza agresivității mediului, ceea ce a determinat excluderea garniturilor metalice. S-au încercat diverse materiale, clincherit, teflon alb, teflon grafitat, etc., la cald și sub presiune, determinîndu-se rezistență electrică la o diferență de potențial de 2000 V. Cea mai bună în condițiile arătate s-a dovedit garnitura de teflon grafitat, care după mai multe determinări successive a suferit o deformare neînsemnată. Valorile determinate pentru diferite materiale sunt prezentate în tabela XVIII, pentru comparare alături de cele corespunzătoare tuburilor ceramice pentru termocuplă. S-a lucrat cu fire cu diametrul de 1,5 mm dispuse în material la distanță de 10-15 mm.

Tabela XVIII

Materialul	Tensiune V	Temperatura °C	Rezistență MΩ
Teflon alb	2000	20	2500
Teflon alb	2000	300	1700
Teflon grafitat	2000	20	2300
Teflon grafitat	2000	400	1200
Tubușoare ceramice	2000	400	150

In fig. 59 și 60 se prezintă graficele de reflux în cazul rectificării tetraclorurii de zirconiu (cu hafniu), din care se poate urmări evoluția procesului de rectificare, din momentul apariției refluxului, pînă la stabilitarea acestuia.

Ca valori medii pentru mai multe determinări, debitul de reflux se situează în jurul valorii de 1,94 ml/minut în cazul unor temperaturi de regim mai mici și 2,63 ml/minut, în cazul unor încărcări termice mai mari. Valorile obținute se situează în limitele valorilor obținute la distilarea apei la presiunea atmosferică.

In cazul rectificării tetraclorurii de zirconiu (hafniu) rezultatele sunt reproductibile și concordante în diferite condiții de temperatură și presiune, dar momentul stabilizării coloanei nu este așa de net ca în cazul distilării antracenului. Frecvența neregulată de cădere a picăturilor și înălțimea diferită a picurilor indică variații ale diferenței de temperatură dintre lichid și vaporii care rezultă fie în urma unor procese de supraîncălziri însotite de răbufniri, fie chiar înocarea coloanei.

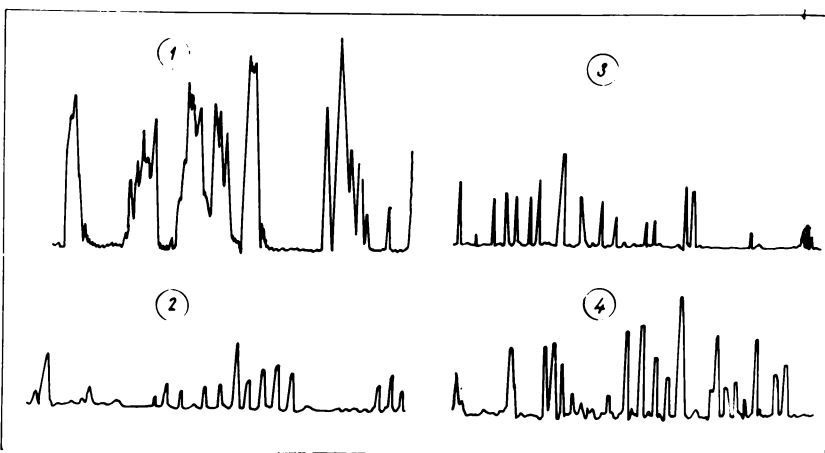
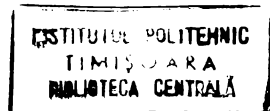


FIG. 59. Graficele de reflux la distilarea  $Zr(Nf)Cl_4$ , și încărcare termică corespunzătoare la  $490^{\circ}C$ , temperatură maximă în blasă.  
1-coloana nestabilizată; 2-în curs de stabilizare; 3,4 -coloane stabilizată.

Acste fenomene sunt posibile și pot fi determinante și de faptul că succesiunea coloanelor este identică cu a blaselor de distilare, ceea ce nu se poate evita, din cauza disponibilităților limitate de realizare a acestei instalații.



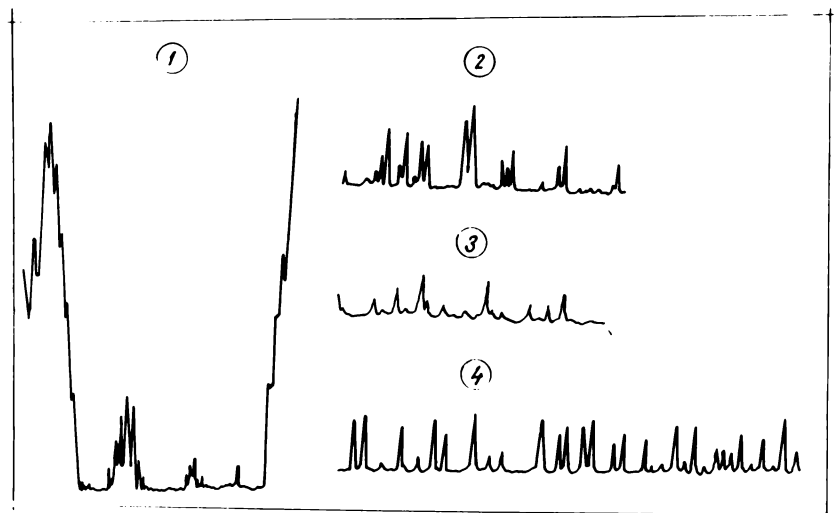


Fig. 60. Graficele de reflux la distilarea  $Zr(Hf)Cl_4$  și temperatura maximă de regim de  $480^{\circ}C$ , în blasă. 1-coloană nestabilizată; 2-in curs de stabilizare; 3,4-coloană stabilizată.

Deasemenea procesul de transfer de căldură în apropierea punctului critic, comportarea la fierbere a lichidelor cu tensiuni superficiale reduse, pot influența procesul de rectificare. În limita datelor cunoscute din literatură și prezentate în lucrare, referitor la proprietățile fizice ale tetraclorurii de zirconiu în apropierea punctului critic, s-a calculat coeficientul parțial de transfer de căldură la fierbere și încărcarea termică critică reprezentând limita de trecere de la regimul de fierbere în bule (nuclear) la cel peliculă. Valorile calculate cu reletiile cunoscute<sup>194</sup> sint:

$$q_{cr}^{ZrCl_4} = 4,11 \cdot 10^4 \text{ W/m}^2$$

$$\Delta q_{cr}^{ZrCl_4} = 2,25 \cdot 10^2 \text{ W/m}^2 \cdot \text{grad}$$

Comparativ, valorile pentru apă în apropierea stării critice ( $216 \cdot 10^5$  N/m<sup>2</sup> și  $373^\circ\text{C}$ ) sunt,

$$q_{cr}^{apă} = 1,45 \cdot 10^6 \text{ W/m}^2$$

$$d_{cr}^{apă} = 2,5 \cdot 10^5 \text{ W/m}^2 \cdot \text{grad}$$

Se observă că tetraclorura de zirconiu admite în apropierea stării critice coeficienți de transfer cu mult mai mici, deci un transfer de căldură mai slab, dar la încărcări termice corespunzător mult mai mici. Trecerea mai ușoară în domeniul fierberii peliculare poate explica apariția răbufnirilor și chiar încarcarea coloanei și prin aceasta dereglerea procesului de distilare. Este evident, că și această observație confirmă necesitatea respectării limitelor de temperatură și presiune, impuse de specificul distilării în apropierea stării critice.

În scopul urmăririi eficacității de separare s-au scos probe din zona condensatorului, după ce coloana a fost înghețată prin răcire bruscă. Instalația experimentală cu care s-a lucrat nu a permis un control al concentrațiilor în timpul funcționării, cu scoaterea probelor de distilat și rezidu, iar procesul de răcire aplicat a determinat și o antrenare prin sublimare ceea ce s-a putut identifica și prin determinările spectrometrice efectuate pe probe luate din straturi vizibil diferite, depuse pe suprafața condensatorului. Este evident însă că procesul de sublimare în timpul răcirii a introdus erori la determinarea îmbogățirii realizată la vîrful coloanei, prin faptul că cele trei straturi nu au putut fi total separate la colectare ceea ce a

determinat în mod sigur o diluare a produsului de vîrf obținut prin distilare, în ce privește conținutul de  $HfCl_4$ .

La deschiderea coloanei s-a (coloanei s-a) constatat că produsul s-a depus numai pe suprafața condensatorului; nu s-a depus pe peretele coloanei în această zonă și nici pe capac. Depunerea pe suprafața condensatorului însă a fost neuniformă, ceea ce arată că regimul termic în cazul instalației experimentale întrebuintate a prezentat fluctuații, în special în zona condensatorului.

Probele s-au scos de pe suprafața condensatorului din cele trei zone diferite și anume:

- Proba I, produs de suprafață, cristalin, afinat, colectat prin simplă scuturare din vîrful condensatorului.

- Proba II, produs intermediar, cristalin, foarte puțin aderent, colectat prin desprindere.

- Proba III, produsul de bază, topitură compactă, depusă pe suprafața condensatorului aproximativ pînă la 2/3 din lungimea lui și foarte aderentă.

Probele colectate s-au dizolvat în apă distilată, s-a precipitat hidroxidul de zirconiu cu o soluție de  $NH_3$  și după evaporare la sec s-a calcinat la temperatura de  $900^\circ C$ . Bioxidul de zirconiu obținut a fost analizat.

S-au efectuat analize curente, cu un spectrograf Q 24 în regim de scînteie<sup>260-263</sup>. Calculele s-au făcut pentru liniile spectrale corespunzătoare domeniului de lungimi de undă 3000-3100 Å, ales pentru faptul că în acest interval, liniile spectrale ale Zr sănt de intensitate foarte slabă comparativ cu ale Hf și nu influențează sensibil determinarea cantitativă a concentrației Hf. În calcule s-a utilizat relația cunoscută care coreleză valoarea intensității (din

date spectrale) cu concentrația, utilizând în acest scop ca etaloane  $ZrO_2$  și  $HfO_2$  de puritate "spectrală" ale firmei: Johnson Matthey & Co. Limited-London. Valorile pentru liniiile spectrale au fost extrase din lucrarea<sup>265</sup>, pg.308 Hf și 517 Zr.

Mai jos sunt prezentate rezultatele analizei efectuate pentru proba III reprezentînd fiecare valoarea medie pentru trei linii spectrale avînd cea mai mare intensitate în domeniul respectiv:

<u>Lungimea de undă</u> Å	<u>Concentrația Hf</u> ‰ masă
3101,40	9,50 %
3080,60	9,67 %
3031,16	9,26 %

Determinări mai exacte asupra concentrației Hf atât în cele trei straturi de vîrf cît și materia primă s-au făcut prin Spectroscopie de fluorescență Rx, cu un aparat P.W. 1540 Philips - Olanda.

S-au obținut următoarele valori:

Materia primă . . . . .	1,85 % masă Hf
Proba I (suprafață) . . . . .	1,90 % " "
Proba II (intermediar) . . . . .	2,50 % " "
Proba III (topitură) . . . . .	7,25 % " "

Se poate observa că față de materia primă, aproximând valori medii ale celor două analize s-a realizat o creștere a concentrației în Hf de 4-5 ori. Dacă ținem seama de eroarea introdusă prin răcirea coloanei și sublimare se poate aprecia că umplutura utilizată a avut o eficacitate bună de separare (8-10 talere teoretice pentru amestec etalon  $C_6H_6$  -  $CCl_4$ ).

Referitor la acțiunea corozivă a tetraclorurii de zirconiu asupra materialului de construcție, oțelul inoxidabil utilizat, s-a dovedit stabil în condițiile de lucru; s-a constatat însă o coroziune puternică a umpluturii nichelate și a termoelementelor.

Analiza fenomenelor observate și a rezultatelor obținute, permit precizarea unor observații, constituind elemente importante de îmbunătățiri în vederea realizării în instalații mai mari și cu eficacitate mai bună a procesului de rectificare a tetraclorurii de zirconiu și hafniu. Principalele neajunsuri ale instalației cu care s-a lucrat, au fost obiective și au fost determinate de disponibilitățile experimentale limitate atât în ce privește cantitatea de materie primă, materialele de construcție și dotarea cu aparatură de măsură și control cu precizia impusă de condițiile limitative în care are loc procesul de rectificare.

1. Nu este posibilă menținerea riguroasă a regimului termic cu ajutorul rezistențelor sectionate. În cazul unei instalații mai mari, procesul se poate realiza utilizând un cupor izoterm, de exemplu cu săruri topite, care poate admite  $2-3^{\circ}\text{C}$  diferență de temperatură între punctele extreme, au inertie termică mare și sunt stabile pînă la  $550^{\circ}\text{C}$ <sup>194</sup>; în felul acesta răcirea condensatorului poate fi dirijată din afară, cu un curent slab de aer cald.

2. Răbufnirile apar pe de o parte din cauza înrăutățirii transferului de căldură în apropierea stării critice, pe de altă parte din cauza formei geometrice a coloanei (secțiune identică pe toată lungimea) corelată cu proprietățile fizice ale lichidului și vaporilor în apropierea stării critice.

3. Tensiunea superficială redusă a topiturii (cu mult mai mică decât a lichidelor organice obignuite) îndreptățește presupunerea că nu pot apărea dereglerile ale procesului de rectificare, din motive hidrodinamice, sau neuniformități în ce privește repartizarea lichidului în stratul de umplutură. În plus presiunea relativ ridicată de lucru, face posibilă utilizarea unor umpluturi mici cu suprafață specifică foarte mare de exemplu spire unitare de diametru mic, pierderea de presiune în strat nu mai poate reprezenta o condiție de funcționare sau de eficacitate.

4. În ce privește materialele de construcție, oțelul inoxidabil s-a dovedit stabil în condițiile de lucru, în schimb, contrar afirmațiilor din literatură<sup>73,91</sup>, umplutura confectionată din sîrmă nichelată nu poate fi utilizată în aceste condiții. Se poate confectiona însă din sîrmă din oțel inoxidabil pentru instalații mai mici, avînd și avantajul că nu se deformează din cauza tasării stratului, sau, pentru instalații mai mari, din inele Raschig de dimensiuni mici, confectionate din țeavă sau tablă inoxidabilă.

5. Problema etansării coloanei a fost rezolvată, garniturile din teflon grafitat au dat rezultate foarte bune în condițiile în care s-a lucrat în instalația de laborator.

6. Metoda pusă la punct pentru controlul refluxului poate fi generalizată și în condițiile unei distilări în instalații mai mari și cu scoatere de produs la vîrful coloanei. Neuniformitatea refluxului, observată în cazul distilării  $Zr(Hf)Cl_4$  este greu de înălăturat practic din cauza diferenței mici între temperatura de fierbere și de topire și care creiază dificultăți în procesul de condensare al vaporilor la vîrful coloanei.

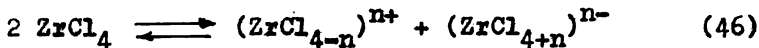
7. Realizarea practică a acestui proces impune însă dotarea instalației cu aparatură de măsură și control de mare precizie și evident, corelarea mai precisă a refluxului și distilatului cu încălzirea coloanei și răcirea condensatorului pentru a putea conduce rectificarea în limitele severe impuse de proces.

8. Rezultatele analizelor confirmă eficacitatea bună de separare a umpluturilor studiate și se poate aprecia că la o mărire la scară a instalației este de așteptat o creștere corespunzătoare a îmbogățirii realizabilă la vîrful coloanei.

## C A P I T O L U L VI.

### SOLUBILITATEA $Zr(Hf)Cl_4$ IN SOLVENTI ORGANICI CLORURATI.

In sistemul periodic al elementelor, Zr și Hf aparțin grupelor de la z = 39 - 46 (Y-Pd), respectiv de la z = 72 - 78 (hf-Pt). Elementele din aceste grupe nu formează ioni monoatomici în sensul transferului de electroni de la unii atomi la alții, cu apariția unei electrovalențe, deci nu pot fi prezente în combinațiile lor sub formă de ioni. Studiile cu privire la structura tetrachlorurilor de Zr și Hf în stare cristalină, atestă o structură complexă, condiționată de prezența unor cationi și anioni complecsi după schema probabilă<sup>18</sup>:



In cazul unor asemenea structuri complexe, temperaturile de topire și de sublimare, comportarea față de solvenți și alte proprietăți fizice sau chimice, situează tetrachlorurile de Zr și Hf într-o stare intermedieră, între combinațiile covalente de tipul  $TiCl_4$  sau  $CCl_4$  și cele ionice de exemplu  $ThCl_4$ .

Tetrachlorurile de Zr și Hf sunt insolubile în solvenți nepolari, care nu conțin  $O_2$  sau  $N_2$ ; se dizolvă în apă,

alcooli, eteri, formaldehidă, piridină, oxiclorură de fosfor sau seleniu, bioxid de sulf, clorură de nitrozil, etc., precum și în topituri alcaline și alcalino-pămîntoase (solvenți ionici) cu care formează faze omogene. De cele mai multe ori dizolvarea în solvenții arătați este însotită de transformări chimice însemnate cu formare de complecși<sup>11</sup>.

În funcție de diferența între constantele de reparație sau volatilitățile combinațiilor corespunzătoare ale Zr și Hf, acestea se pot utiliza pentru separarea celor două elemente prin procese de extractie sau de rectificare (cap.I).

Unii dintre acești solvenți sunt fie greu accesibili, fie că introduc impurități, pentru a căror eliminare sunt necesare prelucrări suplimentare, ceea ce complica tehnologia de separare (spre exemplu, fosforul, în cazul utilizării  $\text{POCl}_3$ , ca solvent).

Pe de altă parte, în literatură lipsesc date cu privire la solubilitatea  $\text{ZrCl}_4$  în solvenți clorurați ca, triclor-estilena, cloroform, 1,2-dicloretan, 1,1,2,2-tetracloretan, etc. Ușor de obținut în stare pură, existând unele informații referitor la solubilitatea  $\text{ZrBr}_4$  și  $\text{HfBr}_4$ , în solvenți de tipul arătat și a căror solubilitate se situează aproximativ în limitele indicate în literatură în cazul dizolvării  $\text{ZrCl}_4$  în  $\text{POCl}_3$ , 67-73, 246.

Astfel, în cele ce urmează s-a încercat stabilirea solubilității  $\text{Zr}(\text{Hf})\text{Cl}_4$  în solvenți clorurați și totodată, găsirea unor solvenți ușor acesibili și care să permită o semenea modificare a volatilității soluției sau combinației formate cu solventul, încât să fie posibilă aplicarea unei rectificări cu solvent în vederea separării Zr de Hf.

Determinările experimentale au fost efectuate cu trei solventi ale căror principale caracteristici sunt prezentate în tabola XVII.

Solvenții au fost purificați, uscați și verificați asupra purității prin temperaturile de fierbere și indicii de refracție<sup>247</sup>.

Tabela XVII

Nr. crt.	Solventul	Formula	Tempera- tura de fierbe- re, °C	Indice de re- fracție nD	Constanta dielectrică $\epsilon$
1.	1,2-dicloretan	$\text{ClCH}_2\cdot\text{CH}_2\text{Cl}$	83,7	$20^{\circ}\text{C}$ 1,4443	$10,5 \pm 0,03$
2.	1,1,2,2-tetra- cloretan	$\text{Cl}_2\text{CH}\cdot\text{CHCl}_2$	146,3	$15^{\circ}\text{C}$ 1,4968	$8,2 \pm 0,03$
3.	tricloretilenă	$\text{Cl}_2\text{C}\cdot\text{CHCl}$	87,3	$20^{\circ}\text{C}$ 1,4777	$3,42 \pm 0,03$

VI.1. Aparate experimentale pentru determinări  
de solubilitate.

O serie de încercări preliminare au scos în evidență o solubilitate redusă a  $\text{Zr}(\text{Hf})\text{Cl}_4$  în solvenții prezentati. Deoarece, multe săruri au o solubilitate redusă la temperatură și presiunea obișnuită, dar la temperaturi și presiuni ridicate (de exemplu, în apropierea punctului critic al solvențului) solubilitatea crește mult, s-a presupus că și în cazul  $\text{Zr}(\text{Hf})\text{Cl}_4$  s-ar putea acționa asupra solubilității prin mărirea acestor parametrii.

În această idee s-au construit și s-au verificat pe sisteme cunoscute de săruri, diferite variante de aparate pentru determinarea solubilității la presiuni și temperaturi ridicate.

Majoritatea aparatelor prezentate în literatură au în general un volum mare, necesitând cantități mari de substanță și interval mare de timp pentru realizarea echilibrului de solubilitate; de asemenea prezintă fie complicații constructive legate de separarea fazelor în contact (solid-lichid) și luarea probelor în condițiile de lucru, fie exori sensibile datorită neglijării unor efecte importante cum ar fi condensarea vaporilor formati la temperatură ridicată, în cazul cind probele se scot din aparat în condițiile mediului ambiant<sup>248-256, 258</sup>.

Alături de cele arătate, o serie de dificultăți experimentale, cum ar fi, prinderea în masă a fazei solide la fluctuații mici de temperatură, care poate fi evitată numai printr-o agitare mecanică greu de realizat la temperaturi și presiuni ridicate în condiții perfect etanșe, colectarea probelor fără a se produce o modificare a stării de echilibru, etc. fac, ca aceste apаратe să nu se poată generaliza pentru orice substanță și în orice condiții de lucru.

In încercările proprii s-a urmărit realizarea și verificarea unui aparat pentru determinări se solubilitate, care să corespundă următoarelor cerințe:

1. Să aibă dimensiuni reduse pentru a permite realizarea echilibrului în timp scurt și cu cantități mici de substanță.
2. Să se realizeze o separare usoară a fazelor în echilibru.
3. Să se eliminate dificultățile constructive determinate de colectarea probelor în condițiile mediului ambiant.

S-au construit trei variante de aparate confectionate din sticlă greu fuzibilă cu un volum interior total de 10-15 ml, iar pentru separarea fazelor (lichid-solid) s-a folosit un filtru din sită fină de cupru sau oțel inoxidabil.

La determinarea solubilității aparatele din sticlă s-au introdus într-o autoclavă cu peretei groși, confecționată din oțel inoxidabil (fig.61) și având dimensiunile :

Înălțimea totală (inclusiv capacul) . . . . .	190 mm
Diametrul exterior . . . . .	52 mm
Diametrul interior . . . . .	20 mm
Volumul util . . . . .	30 ml

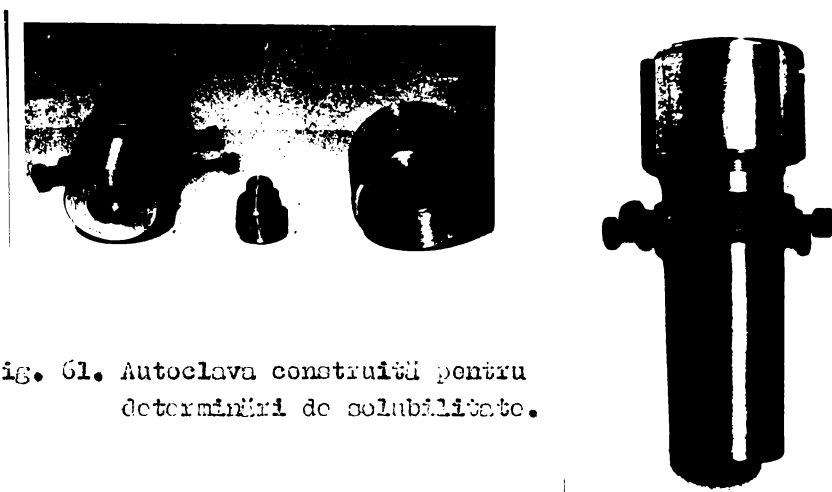


Fig. 61. Autoclava construită pentru determinări de solubilitate.

Incălzirea autoclavei s-a făcut într-un cuptor termostat electric. Temperaturile au fost controlate cu termocuplu Ni-CrNi, plasate în interiorul cuptorului și în peretele autoclavei (în momentul în care acest termocuplu indică o temperatură constantă, se poate considera că aceasta este și temperatura din interiorul autoclavei).

a) Prima variantă de aparat este prezentată în fig. 62 avind volumul fiolei colectoare de maximum 2 ml. Determinările pentru verificarea aparatului s-au făcut pentru sistemul  $\text{CaCl}_2\text{-H}_2\text{O}$  la care este cunoscută variația solubilității cu temperatura, în limite largi.

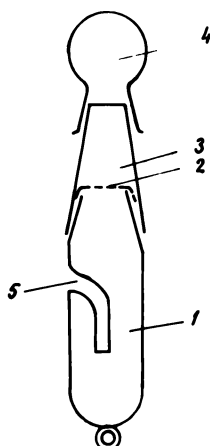


Fig. 62. Aparat pentru determinarea solubilității (varianta a).  
1-fiola de dizolvare; 2-sită;  
3-racord de legătură cu dop rodat; 4-fiola colectoare; 5-racord de egalizarea presiunii.

In fiola de dizolvare se introduce o cantitate determinată de sare și apă (ceva mai mare ca cea corespunzătoare limitei de saturatie pentru sistemul dat, la temperatura de lucru). Pentru temperaturi mai mari decât temperatura ambiantă, aparatul se introduce în autoclavă, în poziție arătată în figura și respectiv în cuptor, menținîndu-se 1 oră la temperatura stabilită. În momentul scoaterii din cuptor, autoclava se roteste cu  $180^\circ$  (cu ajutorul unui miner prins de brățara metalică a autoclavei) și se răcește brusc cu apă de la rețea. În fiola colectoare se adună soluția saturată (care în cazul sistemului  $\text{CaCl}_2\text{-H}_2\text{O}$  a cristalizat în întregime), iar pe sită rămâne surplusul de sare nedizolvată.

Conținutul fiolei s-a cîntărit, s-a dizolvat în apă și s-a dozat clorul prin titrare cu  $\text{AgNO}_3$ , în prezența soluției de 5% Cromat alcalin ca indicator.

Rezultatele experimentale sunt prezentate în tabelă XIX, pentru comparare alături de datele din literatură<sup>257</sup>.

Tabelă XIX

Nr. crt.	Temperatu- ra °C	Solubilitatea gr/100 gr solvent	
		Literatură	Experimental
1	25	83	80; 78
2	50	132	128
3	70	140	138
4	90	152	146
5	104	160	155
6	120	173	166
7	140	190	181

Se observă că toate valorile experimentale reprezintă valori mai mici ale concentrației la aceeași temperatură, ceea ce se explică prin diluarea soluției saturate, la condensarea vaporilor, în timpul răcirii.

b) O altă variantă prin care s-a urmărit evitarea efectului de diluție cu condensat este prezentată în fig.63.

Soluția saturată din fiola colectoare 1 pătrunde și în răcordul cu clopot 4 realizându-se o închidere hidraulică între fiola 1 și restul aparatului; de asemenea soluția va pătrunde în fiola de separare 3 și prin tubul capilar 2. Intervalul scurt de timp cît se face manevrarea aparatului nu

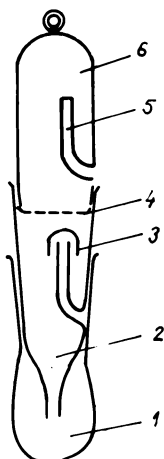


Fig. 63. Aparat pentru determinarea solubilității (varianta b).

1-fiola colectoare; 2-capilar; 3-fiola de separare; 4-racord cu clopot; 5-sită; 6-racord de egalizarea presiunii; 7-fiola de dizolvare.

va permite o amestecare prin difuziune a soluției saturate din 1 prin capilara 2, cu soluția din fiola 3 care se diluează cu condensatul rezultat la răcire. Prin tubul 4 amestecarea nu e posibilă deoarece în poziția finală tubul este închis cu ajutorul clopotului.

Încercările de verificare s-au efectuat pentru sistemul  $PbCl_2 \cdot H_2O$  la temperatura de  $140^{\circ}$  și  $200^{\circ}C$ , mai greu solubil, pentru a avea un control mai riguros asupra erorilor provenite din condensare. Dozarea s-a făcut prin evaporare la sec și uscare la masă constantă.

Rezultatele experimentale sunt prezentate în tabela XX pentru comparare alături de datele din literatură<sup>257</sup>.

În timpul determinărilor s-a observat depunere de cristale pe peretele autoclavei și antrenarea unei părți din soluție în spațiul liber dintre aparatul de sticlă și peretele interior al autoclavei.

Tabelă XX

Nr. crt.	Tempera- tură °C	Solubilitatea, % masă		Observații
		Date din literatură	Determinări experimentală proprietă	
1.	140	4,70	3,75	Aparat varianta -b-
			5,20	
			6,00	
2.	200	8,80	9,40	Aparat varianta -b-
			11,20	
			6,80	
3.	140	4,70	5,00	Aparat varianta -c-
			4,85	
			4,32	
4.	200	8,80	8,78	Aparat varianta -c-
			8,96	
			8,85	
			8,74	

Să remarcă (determinarea 1 și 2 din tabelă XX) o dispersie accentuată a punctelor experimentale.

c) Ultima variantă (fig.64) a urmărit în continuare eliminarea efectului de diluție și de asemenea a antrenării soluției cu vaporii formăți. În timpul solubilizării aparatul este menținut în poziția indicată în figură. La întoarcere cu  $180^{\circ}$  soluția se prelinge în fiola colectoare și la o ușoară scuturare, dispozitivul susținut aderent la perete cu ajutorul arcului 2, cade sub acțiunea greutății 9 și închide fiola colectoare. Abia în acest moment se face răcirea cu apă a autoclavei. Pentru ca se elimină efectul de antrenare să se introducă în spațiul liber al autoclavei o cantitate mică de apă (calculată, pentru ca împreună cu apă de dizolvare să nu dilueze soluția peste limita de saturatie la temperatura de

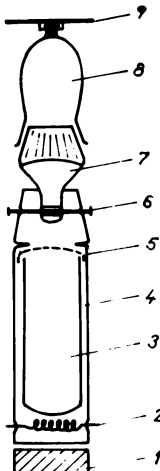


Fig. 64. Aparat pentru determinarea solubilității.  
(varianta c).

1-greutate; 2-arc; 3-fiolă de dizolvare; 4-climău pentru elizarea presiunii; 5-eprubetă de susținere; 6-pană de fixare; 7-dop rodat; 8-fiolă colectoare; 9-garnitură de închidere și fixare.

lucru), care creiază în jurul aparatului o cămagă de vapori.

Înăpăt cum rezultă din tabela XX rezultatele sunt reproductibile iar solubilitatea medie calculată la mai multe determinări este 8,82 % mesură la temperatura de  $200^{\circ}\text{C}$  și 4,74 % mesură la temperatura de  $140^{\circ}\text{C}$ , apropriate de valorile indicate în literatură.

#### VI.2. Determinarea solubilității $\text{Zr}(\text{Hf})\text{Cl}_4$ .

Aparatele construite și prezentate anterior nu au putut fi utilizate la determinarea solubilității  $\text{Zr}(\text{Hf})\text{Cl}_4$  datorită următoarelor inconveniente, constatate în cursul a mai multor încercări preliminare:

- Dificultăți de manevrare a dispozitivelor și a autoclavei la încărcare și descărcare, în condiții anhidre, spre a evita hidratarea atât a  $\text{Zr}(\text{Hf})\text{Cl}_4$  cât și a soluțiilor saturate.

- La încălzirea prealabilă a solventilor utilizati pînă  $Zr(Hf)Cl_4$  s-a constatat o puternică descompunere manifestată prin schimbarea culorii, apariția unei opaloșcenje, degajare puternică de clor, modificarea indicelui de refracție, etc.

Determinarea solubilității s-a făcut în fiole din sticlă închise cu dop rodat, prevăzut cu refrigerant cu reflux, evind la partea superioară o fiolă cu  $CaCl_2$ .

Toate experiențele au fost efectuate într-un spațiu anhidru (fig.65) prevăzut cu un dispozitiv de termostatare, cu circuit exterior de apă printr-un termostat cu temperatură reglabilă. Ca mediu de transfer s-a folosit ulei siliconic.

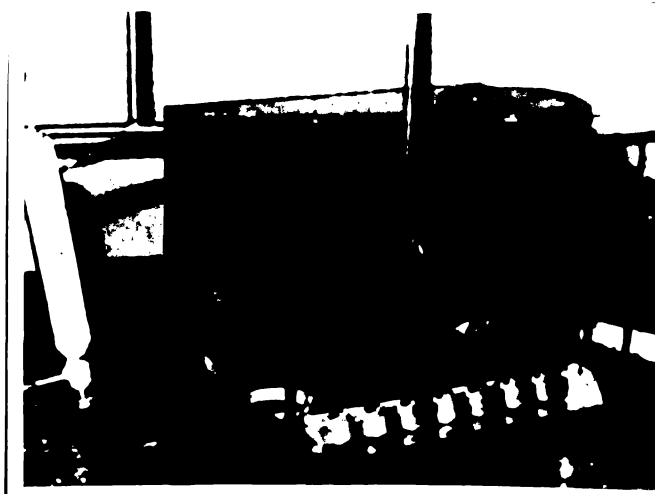


FIG. 65. Spațiul anhidru pentru determinări de solubilitate.

Operațiile de pregătire a soluțiilor, de solubilizare, securitatea probelor de soluții saturate în fiole cu dop rodat pentru cintărire s-au efectuat în camera anhidră.

La toate determinările soluțiile s-au încălzit la diferite temperaturi sub agitare continuă (pînă aproape de

temperatura de fierbere a solventului) și solubilitatea s-a determinat pentru soluțiile saturate la temperatura de  $20^{\circ}\text{C}$ . Crecerea timpului de solubilizare ca și menținerea soluțiilor timp de 24 ore și mai mult, în contact cu  $\text{Zr}(\text{Hf})\text{Cl}_4$  la temperatură constantă, nu a arătat nici o modificare a solubilității. S-a observat de la început schimbarea culorii soluțiilor și anume, roșcat deschis în cazul soluțiilor cu 1,1,2,2-tetrcloretan și brun roșcat la soluțiile cu tricloretilenă; soluțiile cu 1,2 dicloretan au rămas incolore.

In probele cîntărîte s-a precipitat hidroxidul de zirconiu cu o soluție de amoniac, și după calcinare la temperatură de  $1000^{\circ}\text{C}$  pînă la masă constantă, din bioxidul de zirconiu obținut s-a exprimat concentrația  $\text{Zr}(\text{Hf})\text{Cl}_4$  în % masă.

Valorile medii ale solubilității determinate pe un număr mare de probe, la temperatura de  $20^{\circ}\text{C}$  sunt prezentate în tabela de mai jos (XXI).

Tabela XXI

Solventul	$\text{ClCH}_2\cdot\text{CH}_2\text{Cl}$	$\text{Cl}_2\text{CH}_2\text{CHCl}_2$	$\text{Cl}_2\text{C}_2\text{CHCl}$
Solubilitatea % masă	0,0078	0,4030	1,702

In fig. 66 se exprimă variația solubilității în funcție de constanta dielectrică a solventului.

Determinările efectuate scot în evidență o solubilitate deosebit de mică a  $\text{Zr}(\text{Hf})\text{Cl}_4$  în solventii încercăți, ceea ce îi face improprii pentru aplicarea unui proces de separare prin distilare. Se observă însă că solubilitatea crește cu creșterea raportului dintre numărul de atomi de clor și de hidrogen în molecula solventului, pornind de la

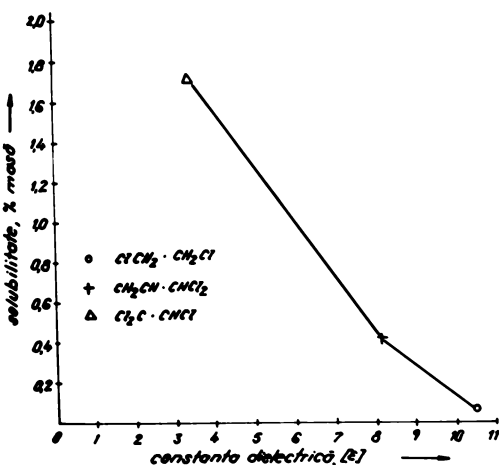


Fig. 66. Dependența solubilității  $Zr(Hf)Cl_4$  de constanta dielectrică a solventului.

aceeași hidrocarbură de bază (în cazul de față etan). Această constatăre încă întăregte presupunerea existenței unor solventi care să se prezeze la o distilare extractivă, în vederea separării zirconiului de hafniu.

Dacăre ce combinațiile electrovalente sunt în general solubile în solventi cu constantă dielectrică mare, iar cele covalente din potrivă sunt solubile în solventi cu constante dielectrice mici, dependența observată în cazul de față (fig. 66) poate demonstra creșterea procentului de legături covalente în cazul tetraclorurii de zirconiu (cu hafniu).

Pe de altă parte, schimbările de culoare observate la soluții, în special în cazul soluțiilor cu tricloroetilenă au sugerat posibilitatea apariției unei combinații complexe între solvent și  $Zr(Hf)Cl_4$ . Pentru a verifica acest lucru s-au efectuat spectre I.R. și U.V. la soluțiile obținute.

Alura spectrelor nu indică o modificare a structurii solventului prin adăugarea de  $Zr(Hf)Cl_4$ , în cazul și tetraclorotanului și de asemenea se observă o solubilitate mult mai mare în tetracloretan față de dicloretan ceea ce s-a determinat și experimental.

In cazul soluțiilor cu tricloretilem, la care și solubilitatea este mai mare, apare o ugoară modificare a spectrelor I.R. și U.V. care ar putea să indice o interacțiune între  $Zr(Hf)Cl_4$  și tricloretilem prin formarea unei combinații complexe. Reacția respectivă se petrece probabil la un nivel mic de concentrații care, ținând seama de sensibilitatea metodei determină apariția unei oarecare modificări a spectrumului, dar nu se poate exprima cantitativ.

Având în vedere valoarea redusă a solubilității în solventii arătați, acestia nu se pretează pentru o distilare extractivă.

## C O N C L U Z I I.

In lucrarea de față se redă în formă concisă, materialul bibliografic existent în literatura de specialitate privitor la obținerea și purificarea tetraclorurii de zirconiu, alături de un studiu comparativ asupra proceselor și procedeeelor utilizate pentru dehidratare; sînt prezentate de asemenea cercetări experimentale, constituind contribuții personale, în diferite faze ale tehnologiei de obținere a tetraclorurii de zirconiu în stare pură.

Rezultatele experimentale obținute precum și observațiile desprinse din urmărirea diferitelor aspecte practice, permit concretizarea următoarelor concluzii:

I. Obținerea tetraclorurii de zirconiu: experiențele efectuate au fost dirijate spre studierea procesului de clorurare asupra unor materii prime pure, ( $ZrO_2$  și  $ZrC$ ) și au urmărit stabilirea dependențelor dintre randamentul procesului și factori macrocinetici ca, temperatură, timp de reacție, debit de clor, compoziția granulelor etc.

- Se precizează influența determinată a temperaturii de reacție stabilindu-se intervalul optim de lucru  $800-850^{\circ}C$ ; intervalul deosebit de larg ( $500-1000^{\circ}C$ ) prezentat în majoritatea lucrărilor citate în literatură nu este real.

- Datele din literatură remarcă influența favorabilă a creșterii vitezei de trecere a clorului asupra randamentului de clorurare, la temperaturi ridicate; rezultatele

proprii scot în evidență existența unei limite, deci a unui debit optim, care se coreleză cu randamentul în sensul creșterii sau micșorării pierderilor de produs prin antrenare.

- Influența timpului de clorurare este importantă în vederea stabilirii condițiilor de lucru, cu randamente bune și consum minim de energie.

- Influența adausului de C este favorabilă asupra randamentului prin micșorarea temperaturii de reacție, dar, din punct de vedere tehnologic trebuie evitată formarea unui volum mare de gaze, care dăunează procesului de condensare, în sensul micșorării presiunii partiiale a  $ZrCl_4$  în amestecul de gaze.

- În cazul clorurării  $ZrC$ , corelarea factorilor enumerați atestă avantajele incontestabile ale aplicării unui proces în strat fluidizat.

- S-a precizat influența diferenților factori asupra procesului de condensare a  $ZrCl_4$ , atât în ce privește randamentul de recuperare cât și calitatea produsului depus.

## II. Separarea Zr de Hf prin rectificarea directă, sub presiune a tetrachlorurilor lor:

1. În scopul realizării practice a acestui proces s-au efectuat studii amintințite hidrodinamice și de eficacitate, asupra unor coloane de laborator, utilizând umpluturi sub formă de inele sau spirale metalice și având eficacitate mare de separare.

- S-au stabilit condițiile hidrodinamice optime de lucru, vizând influența căderii de presiune, a înălțimii stratului, a caracteristicilor geometrice ale coloanei și umpluturii precum și ale caracteristicilor de transfer ale

umpluturii - volum liber și suprafață specifică - determinante experimentale pentru aceste umpluturi.

- S-a corelat regimul de curgere cu coeficientii de frecare, deduși din valorile determinate experimental ale căderii de presiune în strat, precum și căderea de presiune cu intensitatea de stropire și viteza fazei gazoase, în cazul umpluturilor udate, stabilindu-se limitele de încercare.

- Toate umpluturile studiate funcționează bine la înălțimi mici ale stratului, admitînd viteze mai mari pentru fază gazoasă și intensități de stropire mai mari - elemente importante pentru procesul de transfer de masă - deci au un domeniu restrîns de funcționare optimă.

- S-au precizat condițiile de lucru cu eficacitate bună a umpluturilor studiate, în procesul de rectificare, urmărindu-se influența regimului termic (debit de vaporizare, respectiv de reflux) și a caracteristicilor geometrice ale coloanelor și umpluturii.

Umpluturile studiate (inele - spire unitare și spirale compacte, metalice) au dat o eficacitate exprimată prin I.E.T.T. = 30 - 80 mm în funcție de factorii enumerați mai sus, valori care le situează în limitele cunoscute pentru umpluturi cu eficacitate bună de separare în procesele de transfer de masă.

2. Rectificarea  $ZrCl_4$  a necesitat un studiu experimental minutios al condițiilor impuse de rectificarea unor lichide - topituri, la presiuni și temperaturi ridicate ( $t = 450^\circ C$ ,  $p = 40 \cdot 10^5 N/m^2$ ) și în apropierea stării critice și avînd în vedere caracterul agresiv al  $ZrCl_4$  asupra materialelor obisnuite în construcția utilajului chimic, precum

și descompunerea ireversibilă a  $ZrCl_4$  sub acțiunea umidității. Acest studiu a permis construirea și experimentarea unei instalații de laborator pentru rectificarea  $ZrCl_4$ , utilizând pentru asigurarea contactului între fazele în contracurent, umpluturile studiate și prezentate anterior.

- S-a cercetat și s-a pus la punct o metodă nouă indirectă de măsurarea refluxului în procesul de rectificare. Metoda a dat rezultate bune și reproductibile la distilarea mai multor solventi. Ea se poate utiliza la coloane de laborator sau pilot, inchise și opace, cu condiția ca procesul de condensare să fie dirijat numai pe suprafața de răcire și nu pe peretele coloanei în zona respectivă.

- Rectificarea tetraclorurii de zirconiu în instalația construită și experimentată a realizat o îmbogățire a  $ZrCl_4$  la vîrful coloanei, de la 1,95 % masă Hf conținut în materia primă, pînă la valori cuprinse între 7,25 - 9,67 % masă Hf (concentrații determinate prin analiza spectrală).

Aceste rezultate împreună cu studiile efectuate asupra unor umpluturi ca și datele teoretice și practice existente în literatură, permit precizarea condițiilor pentru trecere la o scară mai mare, obținîndu-se corespunzător și îmbogățiri mai mari.

Se poate afirma că rectificarea sub presiune a  $ZrCl_4$  se prezintă ca un procedeu de perspectivă ce se poate realiza ușor la scară mai mare și cu productivitatea cea mai bună comparativ cu alte procese cunoscute. Separarea prin rectificare se produce ușor în ce privește procesul - volatilitate relativă ridicată ( $\alpha = 2$ ) - dar pretențiile impuse de realizarea practică sunt deosebit de dificile și severe,

fiind determinate de intervalul redus de existență al stării lichide și de diferența relativ mică dintre temperatură de fierbere și de topire a amestecului distilat.

III. Determinările de solubilitate a tetraclorurii de zirconiu în solventi clorurați, au impus construcția și experimentarea unor aparate noi pentru determinări de solubilitate la presiuni ridicate și cu cantități foarte mici de substanță.

Aceste determinări s-au făcut în ideia de a se mări diferența de volatilitate a tetraclorurilor de zirconiu și hafniu prin prezența unui solvent, care să permită o distilare cu antrenant.

Solubilitatea redusă a tetraclorurii de zirconiu în solventii utilizati, nu permite aplicarea acestui proces; valorile obținute prezintă însă importanță deoarece datele cu privire la solubilitatea tetraclorurii de zirconiu nu sunt cunoscute din literatură.

In concluzie, rezultatele experimentale obținute în cadrul acestei lucrări, în special privitor la aspectele de separare, constituie un ansamblu de date care permit o orientare în viitor către construcția unei aparaturi de natură să valorifice cele mai mici diferențe între proprietățile fizice și fizico-chimice ale compușilor analogi ai Zr și Hf, în scopul separării celor două elemente,-



B I B L I O G R A F I E.

1. A.Popă, T.Popă, Revista minelor, 12, 508 (1959).
2. E.Stoicovici, Studii și Cercetări Chim. Acad. R.S.R., 7, 51 (1958).
3. T.Segărceanu, Elena Cătoiu, Rev.Chim. (București), 17(4), 193 (1966).
4. T.Segărceanu s.a., Metalurgia 25 (5) 257 (1973).
5. Lucreția Popă, Ioana Arsenie, Rev.Roumaine Chim., 17 (5) 937 (1972).
6. C.Drăgulescu s.a., Zhur.analyt.Khim.26 (11) 2105 (1970).
7. C.Drăgulescu s.a., Rev.Roumaine Chim., 10, 913 (1965).
8. C.Drăgulescu s.a., Rev.Roumaine Chim., 13 (11) 1469 (1968).
9. C.Drăgulescu s.a., Bul.Stiintific și tehnic, I.P.Timisoara, 13 (2) 303 (1968).
10. Septimia Policec, T.Simionescu și C.Drăgulescu, Talanta, 17, 567 (1970).
11. P.Pascal, Nouveau Traité de Chimie minérale, Tome IX, Paris, 1963.
12. G.L.Miller, Metallurgy of the rarer metals, 2, Zirconium, 2-nd Edition, Butterworths scientific publications, London, 1957.
13. D.L.Socolov, Mekhanicheskie svoistva redkih metallov., Izd.Metallurgia, Moskva, 1972.
14. O.A.Songhina, Redkie Metalli, Izd.Metallurgia, Moskva, 1964.

15.    x       x Primenenia Tirkonia i evò soedinenii v pro-  
            x mìglenosti, Izd.Akad.Nauk.Ukrainski , SSR  
            Kiev 1962.
16.    x       x Osnovi Metallurghii, Tom IV, Redkie Metalli,  
            x Izd.Metallurghiia, Moskva 1967.
17. I.A.Sekm, K.F.Karligeva, Khimiia Gafnir, Izd.Naukovp Dum-  
       ka, Kiev 1972.
18. W.B.Blumenthal, Khimia Tirkonia, perevod s angleiskovo,  
       Izd. Inostronnoi literaturi, Moskva 1963.
19. W.Schreiter, Seltene Metalle, VEB, Dentscher Verlag für  
       Grundstoffindustrie, Leipzig, 1963.
20. W.V.Stephens și H.H.Gilbert, J.Metals, 4 (7) 733 (1952).
21. W.V.Stephens și C.Q.Marisson, J.Metals, 8, 334 (1956).
22. Brevet Sued. 299363 (1951) - Chem.Zentr. 4185 (1955).
23. Brevet Brit. 759724 (1954) - Chem.Zentr. 8038 (1957).
24. Brevet S.U.A. 2940826 (1960) - Ref.Zhur.Khim. 432, 12 K  
       34 (1961).
25. Brevet S.U.A. 3156527 (1958) - Chem.Zentr.17-2197 (1966).
26. Brevet Aus. 234216 (1959) - Chem.Zentr.20-1999 (1964).
27. Brevet R.F.G. 1068683 (1960) - Ref.Zhur.Khim. 430, 10 K  
       38 (1961).
28. Brevet Brit. 885955 (1960) - Chem.Zentr. 17462 (1963).
29. Brevet Canad. 653395 (1960) - Chem.Zentr. 102057 (1965).
30. Brevet Brit. 971, 458 (1959), - Chem.Abstr. 62, 2586 b  
       (1965).
31. Brevet S.U.A. 3012054 (1961) - Chem.Abstr. 56, 8299 i.  
       (1962).
32. Brevet S.U.A. 1169430 (1960) - Chem.Zentr. 718-2217  
       (1965).

### III

33. Brevet Brit. 815245 (1959) - Chem. Abstr. 55, 2039 g (1961).
34. Brevet Aus. 257,639 (1961) - Chem. Abstr. 67, 66173 y (1967).
35. H.A.Funk s.a., Wiss.Ztg. Martin Luther Univ. Halle-Wittenberg, 6, 815 (1957) - Chem. Abstr. 54, 12860 g (1960).
36. Ia.I.Ivancheev s.a., Izvest. V.U.Z. Tvetn.Met. 13 (4) 79 (1970).
37. K.Knox și S.I.Tyree, J. Amer.Chem.Soc. 79, 3358 (1957).
38. L.R.Eperson s.a., Inorg.Synth. 7, 163 (1963).
39. Ia.I.Ivancheev, Dokl. 7-i Nauch. Konf.Posv. 40-letii Veliko Okt. Rev.Tomskovo Univ. 2, 157 (1957) - Chem. Abstr. 54, 107771 h (1960).
40. S.E.Petrov și V.N.Fadeev, Izvest. Sibirsk.otdel.Akad. Nauk SSSR 9, 59 (1961).
41. I.S.Morozov, Zhur.priklad. Khim. 33 (3) 1185 (1960).
42. I.S.Morozov, Primenenie klorov v metallurgii redkih i tvetnih metallov, Izd.Nauka, Moskva 1966).
43. B.G.Korgunov și S.L.Stefaniuc, Vvedenie v klorirovaniye metallurgii redkih elementov, Izd. Metallurghia, Moskva 1970.
44. L.P.Ruzin și S.F.Belov., Tvetnie Metalli, 32 (12) 71 (1959).
45. G.L.Galcenko, Zhur.neorg.Khim. 13 (2) 307 (1968).
46. S.N.Lungu., Studii și Cercetări fiz. Acad.R.S.R., 13 (1) 29 (1962).
47. I.S.Morozov, Zhur.priklad.Khim., 33 (8) 1685 (1960).
48. A.I.Gorbunov, Doklady Akad.Nauk S.S.S.R. 161 (5) 1121 (1965).

49. B.D.Vasilenko și A.N.Volskii, Zhur.neorg.Khim. 3 (7) 1497 (1958).
50. S.L.Stefaniuc și I.S.Morozov, Zhur. priklad.Khim. 38 (4) 729 (1965).
51. G.A.Meerson și G.B.Samsonov, Zhur.priklad.Khim. 25 (7) 744 (1952).
52. V.P.Orehov s.a., Zhur.priklad.Khim. 42 (2) 251 (1959).
53. V.A.Kojemiaskin s.a., Tvetniie Metalli. 34 (9) 70 (1961).
54. I.S.Morozov, Sun-Ini-Cju, Zhur.neorg.Khim. 4 (11) 2551 (1959).
55. W.Dewing, J.Amer.Chem.Soc. 77 (9) 2639 (1955).
56. I.S.Morozov și T.A.Simionici, Zhur.neorg.Khim. 6 (4) 937 (1961).
57. I.S.Morozov și L.Tegledny, Zhur.neorg.Khim. 6 (12) 2766 (1961).
58. Brevet S.U.A., 2962352 (1960), Chem.Zentr. 6743 (1963).
59. D.A.Lebedeev s.a., Tvetniie Metalli. 39 (11) 72 (1966).
60. Brevet S.U.A., 2, 953, 433 (1960), Chem.Abstr. 55, 2039 h (1961).
61. L.A.Niselson s.a., Izvest.Akad.Nauk.S.S.S.R.-metalli, 3, 40 (1965).
62. L.A.Niselson s.a., Izvest. Akad. Nauk.S.S.S.R.-metalli, 1, 61 (1966).
63. x x Poluchenie i analiz vescestv osoboi cistoti,  
x Izd.Nauka, Moskva 1966.
64. N.I.Delarov s.a., Izvest.Akad.Nauk. S.S.S.R. metallurghiia itopliv 4, 33 (1960).
65. L.A.Niselson, Zhur.fiz.Khim. 34, 1460 (1960).
66. L.A.Niselson și L.E.Larinova, Zhur.neorg.Khim. 5 (1) 173 (1960).

67. B.A.Voitovici, Zhur.neorg.Khim. 5 (9) 1981 (1960).
68. I.A.Seka și B.A.Voitovici., Zhur.neorg.Khim. 1, 964 (1956)
69. E.M.Larsen s.a., J.Amer.Chem.Soc. 74, 3489 (1952).
70. L.A.Niselson și B.N.Ivanov, Zhur.neorg.Khim. 1, 1766 (1956).
71. I.A.Seka și B.A.Voitovici, Zhur.neorg.Khim. 3 (8) 1973 (1958).
72. A.V.Suvorov s.a., Zhur.neorg.Khim. 14 (3) 835 (1969).
73. <sup>X</sup> <sup>X</sup> Razdelenie blizkih po svoistvam redkih metallov,  
<sup>X</sup> Metallurgizdat, Moskva 1962.
74. Brevet Brit. 788, 241 (1957)- Chem.Abstr. 52, 11374 e (1958).
75. L.A.Niselson s.a., Zhur.neorg.Khim., 7 (3) 693 (1962).
76. L.A.Niselson s.a., Zhur.neorg.Khim. 7 (12) 2653 (1962).
77. L.A.Niselson s.a., Zhur.fiz.Khim. 37 (12) 1870 (1965).
78. N.D.Denisova s.a., Zhur.fiz.Khim. 41 (1) 59 (1967).
79. L.A.Niselson, Zhur.neorg.Khim. 6 (5) 1242 (1961).
80. L.A.Niselson s.a., Doklady Akad.Nauk.S.S.S.R. 168 (5) 1107 (1966).
81. L.A.Niselson s.a., Izvest.Akad.Nauk. S.S.S.R., Metallf. 4, 97 (1965).
82. A.Palko, J.Phys.Chem. 62, 319 (1958).
83. I.S.Morozov s.a., Zhur.neorg.Khim. 4 (2) 492 (1959).
84. L.Jacque și P.Dumez, Chimie et Industrie Genie Chimique, 97 (11) 1677 (1967).
85. D.N.Denisova s.a., Zhur.neorg.Khim. 11 (10) 2185 (1966).
86. Brevet Canad. 650168 (1960) - Chem.Zentr. 2111 (1966).
87. L.A.Niselson s.a., Zhur.neorg.Khim. 9 (12) 2779 (1964).
88. D.N.Denisova s.a., Doklady Akad.Nauk. S.S.S.R., 168 (4) 814 (1966).

89. Brevet R.F.G. 1, 144, 688 (1963) - Chem. Abstr. 61, 1306 d (1964).
90. Brevet Brit. 833,103 (1957) - Chem. Abstr. 54, 21680 g (1960).
91. Brevet S.U.A. 2, 852, 446 (1956).
92. I.S.Morozov, Izvest.Akad.Nauk.S.S.S.R. 11, 1920 (1959).
93. R.V.Horriagan, J.Metals, 7 (10) 1118 (1955).
94. Brevet S.U.A. 274406 (1956), Chem.Zentr. 5611 (1960).
95. Brevet Elv. 771144 (1955), Chem.Zentr. 1672 (1968).
96. Brevet S.U.A. 3, 114, 611 (1959), Chem. Abstr. 59, 7706 b (1959).
97. Brevet Franc. 1336041 (1962), Chem.Zentr. 37-2026 (1967).
98. Brevet Canad. 863258 (1971), Chem. Abstr. 23362 g (1971).
99. L.A.Niselson s.a., Zhur.neorg.Khim. 6 (1) 186 (1961).
100. E.Larsen, S.Laddy, J.Amer.Chem.Soc. 78, 5983 (1956).
101. I.E.Newnham, J.Amer.Chem.Soc. 79, 5415 (1957).
102. A.Emelianov, Met. i Metalloved. Cistih Met. 3,17 (1961).
103. J.W.Evans, Trans.Amer.Inst.mining.Met. 212, 15 (1959) - Chem. Abstr. 582111 a (1963).
104. I.V.Vinarov, Uspekhi Khim., 36 (7) 1244 (1967).
105. Brevet S.U.A., 3, 734, 689 (1969), Chem. Abstr. 79, 5637 u (1973).
106. L.N.Komisarova, Uspekhi Khim., 25 (6) 1197 (1956).
107. Brevet R.D.G. 24781 (1961), Chem. Abstr., 59, 12438 c (1963).
108. Brevet Jap. 15 # 2 (1963), Chem. Abstr. 60, 3496 e (1964).
109. I.O.Egereev s.a., Zhur.priklad.Khim. 34, 926 (1966).
110. D.E.Solovkin, Z.N.Tvetkova, Uspekhi Khim., 31 (7) 1394 (1962).

111. Ioana Arsenie, Rev.Roumaine Chim. 15 (3) 1263 (1970).
112. Lucreția Popa s.a., Rev.Roumaine Chim., 14 (11) 1457 (1965).
113. I.V.Vinarov s.a., Ukrain.khim.Zhur. 30, 758 (1964).
114. A.I.Orlova s.a., Ukrain.khim.Zhur. 31, 775 (1965).
115. A.M.Golub, V.N.Serghinkin, Zhur.neorg.Khim. 11 (2) 770 (1966).
116. Brevet Franc. 1168497 (1957), Chem.Zentr. 6991 (1961).
117. W.Fischer s.a., Angew.Chem. 5 (1) 15 (1966).
118. Brevet S.U.A. 3032388 (1957), Chem.Abstr. 57, 4318 c (1962).
119. N.Ichinose, Talanta 19 (11) 1454 (1972).
120. H.P.Fischer s.a., Z.anorg.chem. 328, 252 (1964).
121. Hoshino Jochio, Bunseki Kagaku, Japan Analyst 11, 1040 (1962).
122. G.Meidor, J.Inorg.Nuclear Chem. 33 (6) 1919 (1971).
123. O.A.Sinegribova s.a., Zhur.neorg.Khim. 10 (5) 1250 (1965).
124. G.A.Yagodin s.a., Trudi Mosk.Khim.Techn.Inst. 40, 142 (1963).
125. D.Perricos s.a., Talanta 17 (6) 551 (1970).
126. F.G.Jarovski s.a., Ukrain.khim.Zhur. 33 (7) 737 (1967).
127. F.G.Jarovski s.a., Ukrain.khim.Zhur. 37 (7) 694 (1971).
128. F.G.Jarovski s.a., Ukrain.khim.Zhur. 37 (8) 826 (1971).
129. F.G.Jarovski s.a., Ukrain.khim.Zhur. 38 (10) 1055 (1972).
130. O.A.Sinegribova s.a., Zhur.neorg.Khim. 16 (8) 2237 (1971).
131. V.M.Klyuchnikov s.a., Zhur.neorg.Khim. 17 (3) 780 (1972).
132. V.M.Klyuchnikov s.a., Zhur.neorg.Khim. 17 (10) 2766 (1972).
133. L.S.Korovin s.a., Zhur.neorg.Khim. 12 (2) 537 (1967).
134. M.N.Adamski s.a., Radiokhimiya 2, 400 (1960).

VIII

135. I.V.Vinarov s.a., Zhur.priklad.Khim. 42 (7) 1664 (1969).
136. R.P.Cox s.a., Ind.Eng.Chem. 50 (2) 141 (1958).
137. E.N.Tvetkova s.a., Zhur.neorg.Khim. 6, 321 (1961).
138. N.E.Lebedeev s.a., Zhur.neorg.Khim. 9, 1744 (1964).
139. M.A.Anwall s.a., Nuclear Science Abstr. 23 (11) 19813  
(1969) - Chem.Abstr. 71, 74774 t (1969).
140. A.M.Reznik s.a., Izvest.V.U.Z.M.V.O. S.S.S.R. Khim. i  
khim.Tekhnol. 12 (3) 240 (1969).
141. I.A.Aprokkin s.a., Radiokhimiya 12 (1) 17 (1970).
142. A.S.Solovkin s.a., Zhur.neorg.Khim. 15 (7) 1914 (1970).
143. A.S.Solovkin s.a., Zhur.neorg. Khim. 16 (3) 865 (1971).
144. J.Huré, Saint James., Chimie et Industrie 76, 491 (1956).
145. W.Harley, Ind.Eng.Chem. 51 (5) 633 (1959).
146. L.A.Gramovski, Zavodskaya Lab. 29 (1) 60 (1963).
147. L.S.Korovin s.a., Zhur.neorg. Khim. 7, 2475 (1962).
148. Brevet S.U.A. 3133794 (1959) - Chem.Abstr. 61, 2773 a  
(1964).
149. Brevet Franc. 1321444 (1961) - Chem.Abstr. 59, 9616 a  
(1963).
150. Brevet Brit. 941125 (1963) - Chem.Abstr. 60, 3773 d  
(1964).
151. Anna Deleon, Nuclear Eng. 4 (6) 13 (1967) - Chem.Abstr.  
74, 66635 v (1971).
152. Brevet S.U.A. 3, 658, 466 (1967) - Chem.Abstr. 37149 w  
(1972).
153. F.L.Moore, J.Am.Chem.Soc. 74, 1618 (1952).
154. F.L.Moore, Analyt.Chem. 30, 908 (1958).
155. Brevet S.U.A., 3.395.976 (1968) - Chem.Abstr. 70, 5581 v  
(1969).

156. Brevet Jap., 7100806 (1966) - Chem. Abstr. 74, 77929 v  
(1971).
157. G.A.Yagodin g.a., Zhur.neorg.Khim. 14 (6) 1603 (1969).
158. E.I.Linder, J.Inorg.Nuclear Chem. 30 (7) 1941 (1968).
159. I.R.Peira Oliveira g.a., Aun.Acad.Brazilia Cienc. 43  
(3-4) 599 (1971) - Chem. Abstr. 73, 34456 d  
(1973).
160. E.N.Huffman g.a., J.Amer.Chem.Soc. 77, 881 (1955).
161. R.G.Naier g.a., Radiokhimiya 14 (4) 645 (1972).
162. J.Halo, J.Inorg. Nuclear Chem. 29 (1) 187 (1967).
163. J.Halo, J.Inorg. Nuclear Chem. 29 (5) 1317 (1967).
164. J.Halo, J.Inorg. Nuclear Chem. 31 (7) 2247 (1969).
165. N.V.Melciakova, Vestnik Mosk. Univ. Khim. 24 (4) 82 (1966).
166. N.M.Kuzmin, Zowodskaya Lab. 34 (4) 395 (1968).
167. M.G.Allcock g.a., Analyt.Chem. 42 (7) 776 (1970).
168. Brevet Franc. 1502694 (1964) Ref.Zhur.Khim. 23L 122 (1968).
169. Brevet Românesc, 52459 (1969).
170. Taichi Sato g.a., J.Inorg.Nuclear Chem. 33 (4) 1081 (1971).
171. C.Drăgulescu g.a., Talanta 11 (5) 747 (1964).
172. B.I.Petrov. g.a., Zhur.Analyt.Khim. 23 (11) 1634 (1968).
173. I.P.Alimarin, Zhur.Analyt.Khim. 9 (24) 1386 (1969).
174. W.B.Blumenthal, Talanta 15 (8) 877 (1968).
175. Taichi Sato, Analytica Chim.Acta. 49 (3) 463 (1970).
176. R.Villareal g.a., Analyt.Chem. 42 (12) 1419 (1970).
177. F.Karel g.a., J.Inorg Nuclear Chem. 32 (7) 2357 (1970).
178. N.P.Rudenko g.a., Radiokhimiya 14 (3) 478 (1972).
179. H.Sahr, L.Liebetran, Z. analyt.Chem. 219, 409 (1966).
180. I.A.Seka, B.A.Voitovich, Ukrain.khim.Zhur. 23, 12 (1957)

181. Brevet Jap. 12414, (1958), Chem. Abstr., 59, 6049 b (1963).
182. G.A.Yagodin, K.V.Orlov., Isvest. V.U.Z.M.V.O. S.S.S.R,  
Tsvetnaja Metallurgiya 2, 92 (1961).
183. L.Taletka, T.D.Zaitseva, Zhur.analyt.Khim. 25 (1) 82  
(1970).
184. R.H.Crowley, Nature 197, 377 (1963).
185. E.Stumpp, Z.analyt.chem. 248 (4) 225 (1968).
186. J.S.Fritz, R.T.Frattee, Analyt.Chem. 37, 1358 (1965).
187. I.L.Newham, J.Amer.Chem.Soc. 73 (55) 5899 (1951).
188. B.N.Laskorin s.a., Atomnaia Energiia 7 (2) 110 (1959).
189. S.Ionescu s.a., Studii și Cercetări fiz. Acad. R.P.R. 12,  
269 (1961).
190. A.N.Riabcikov s.a., Zhur.neorg. Khim. 5 (12) 1076 (1962).
191. I.N.Vinarov s.a., Ukrain.khim.Zhur. 29, 1013 (1963).
192. I.N.Vinarov s.a., Ukrain.khim.Zhur. 30, 359 (1964).
193. I.N.Vinarov s.a., Ukrain.khim.Zhur. 31, 1219 (1965).
194. Em.A.Bratu, Operări și utilaje în Industria Chimică,  
vol.II, Editura tehnică București 1969.
195. E.Edye, Chem.Ing.Tech. 27, 651 (1955).
196. W.L.Balles, I.R.Fair, Ind.Eng.Chem. 61 (11) 112 (1969).
197. E.Kirschbaum, Destillier und Rektifiziertechnik, Springer  
Verlag, Berlin - Göttinger - Heidelberg, 1950.
198. E.Kirschbaum s.a., Chem.Ing.Tech. 34 (6) 423 (1962).
199. I.M.Coulson, J.F.Richardson, Chemical Engineering, volume  
two, Pergamon Press London - New York - Paris,  
1955.
200. C.S.Robinson, F.R.Gilliland, Elements of Fractional Dis-  
tilation, 4-th Ed. Mc.Graw - Hill New-York -  
Talanta - London, 1950.

201. V.V.Kafarov, Osnovi Massoperedacii, Goskhimizdat, Moskva  
1972.
202. A.Weissberger, Peregonka, perevod s angliiskovo, Izd.  
inostrannoi lit. Moskva 1954.
203. C.P.Straud, Chem.Eng.Progr. 59 (4) 58 (1963).
204. E.Krell, Handberich der laboratoriums destillation, VEB  
Dontscher Verlag der Wissenschaften, Berlin  
1958.
205. I.G.Gverdtiteli g.a., Atomnaja Energiia 10, 487 (1961).
206. N.M.Javoronkov g.a., Doklady Akad.Nauk S.S.R. 126, 1044  
(1959).
207. J.S.Ekert, Chem.Eng.Progr. 61 (9) 89 (1965).
208. K.I.Wall, Chem.Process Eng. 48 (7) 56 (1967).
209. H.Lenz, Chem.Eng.Tech. 41 (15) 855 (1969).
210. W.Fischer, Messtechnik 78 (9) 175 (1970).
211. Ya.D.Zel'venskii, Khim.Prom. 48 (9) 697 (1972).
212. A.P.Boyce, A.B.Porter, Chem.Process Eng. (London) 50 (8)  
70 (1969).
213. J.E.Hawkins, J.A.Brent, Ind.Eng.Chem. 43, 2611 (1951).
214. I.N.Busmakin, R.V.Lizora, Zhur.priklad.Khim. 25, 303  
(1952).
215. A.K.Rosen., Doklady Akad.Nauk S.S.R. 107, 295 (1956).
216. W.S.Norman, A.Fresco, Ind.Eng.Chem. 37 (1) 55 (1961).
217. A.A.Titov g.a., Trudi Mosk.Khim.Tech.Inst. 51, 109 (1966).
218. N.M.Javoronkov g.a., Khim.Prom. 42 (10) 777 (1966).
219. A.A.Manovian, D.A.Haciaturanova, Khim.Tech.Toplivi Masel  
11 (11) 42 (1966).
220. Ya.D.Zel'venski g.a., Khim.Prom. 42 (10) 771 (1966).
221. R.Billet, Chem.Eng.Progr. 63 (9) 53 (1967).
222. A.A.Titov, Doklady Akad.Nauk S.S.R. 175 (2) 368 (1967).

XII

223. R.Billet, Chem.Ing.Tech. 40 (1-2) 43 (1968).  
224. N.M.Javoronkov ș.a., Teoret.osnovi.Khim.Techn. 1 (4)  
548 (1967).  
225. L.I.Bliakman, S.L.Davidov, Zhur.priklad.Khim. 41 (12)  
274 (1968).  
226. A.Minchev ș.a., God.Vissz.Khim.Inst.Sofia, 14 (4) 185  
(1970).  
227. R.Zarzycki, Zesz.Nauk Polizechn.Lodz.Chem. 25, 82 (1972).  
228. S.R.M.Elias ș.a., Trans.Inst.Chem.Eng. 51 (1) 56 (1973).  
229. R.Kanze ș.a., Inz.Chem.Pol. 2(4) 631 (1972).  
230. W.S.Murajev ș.a., Izvest.V.U.Z.M.V.O. S.S.S.R. Khim.  
khim.techn. 6, 155 (1963).  
231. N.M.Zharkova, Khim.Tech.Topliv i Masel 17 (10) 30 (1972).  
232. W.Reichelt, Dissertation, Clausthal, 1970.  
233. W.Reichelb, E.Blass, Chem.Ing.Techn. 17, 949 (1971).  
234. S.Ergun, Chem.Eng.Progr. 48, 89 (1952).  
235. En.A.Bratu, Operatii si utilaje în Industria Chimică,  
vol.I. Editura Tehnică Bucureşti 1969.  
236. Z.Gropsianu, M.Medeleanu, Bul.st. și tehnici a I.P."Traian  
Vuia" Timișoara, Seria Chimie 16 (30-2) 209  
(1971).  
237. Ya.E.Tarat ș.a., Zhur.priklad.Khim. 47 (1) 106 (1974).  
238. A.V.Timofeev ș.a., Khim.Techn.Topliv i Masel 17 (8) 38  
(1972).  
239. A.Mersman, Chem.Ing.Techn. 37, 218 (1965).  
240. Z.Gropsianu, M.Medeleanu, Bul.st. și tehnici al I.P."Tra-  
ian Vuia" Timisoara, Seria Chimie, 17 (31-2)  
117 (1972).  
241. I.N.Busnkin, Studii și Cercetări de Chimie tehnologică  
(caiet de traduceri pentru catedrele universi-  
tare) II (1953).

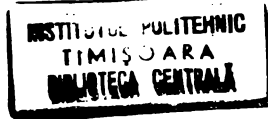
242. Z.Groppioni, M.Medelcorn, Bul.pt. si tehnice al I.P."Tronion Vulci" Minipasta seria chimie 18 (32) 79 (1973).
243. R.Morin, Chem.Ing.Techn. 38 (1) 73 (1966).
244. Z.Groppioni, M.Medelcorn, lucrare in curs de publicare.
245. G.Balkay, Hb. der Physik, Kapillaritat und Oberflachen-  
spannung. Akad.Verlag, Leipzig, 1923.
246. S.S.Berdonosov g.o.a., Vestnik Novosibirskogo Universiteta 1,  
33 (1963).
247. <sup>3</sup> <sup>2</sup> International Critical Tables.
248. R.A.Lindice, J.Phys.Chem. 65, 1396 (1961).
249. M.L.Govris, I.S.Galinger, Doklady Akad.Nauk S.S.R. 102  
(1) 89 (1955).
250. O.H.Broncov g.o.a., Prom.Khim.Reaktivov Osnovo Chist.Veschestv  
9, 103 (1957).
251. Fred Kurata g.o.a., Petroleum Processing 11, 57 (1956).
252. I.Y.Malik g.o.a., Izvest.Tekhn.Politecim.Inst. 105, 218  
(1960).
253. I.S.Galinger, M.A.Govris, Zhur.Fiz.Khim 34, 2610 (1960).
254. D.H.Schiff g.o.a., J.Chem.Educ. 37, 150 (1960).
255. Yu.Iurtinov, Zhur.nauk.Khim. 12 (10) 2764 (1967).
256. A.P.Akopian, L.K.Kostovenko, Zavodskaya Lab. 4, 459 (1969).
257. <sup>3</sup> <sup>2</sup> Spravochnik po reaktivnosti, vol. I. Moscow  
1961.
258. K.A.Bol'shakov g.o.a., Zhur.Fiz.Khim. 38, 5, 1305 (1964).
259. T.L.Jordan, Vapor pressure of organic compounds Interscience publications, Inc., New-York, Interscience publications, Ltd., London, 1954.

260. A.V.Doglarev, Zavodskia Lab. 40 (2) 131 (1974).
261. V.A.Korneev, Zhur.Analyt.Khim. 25, 732 (1970).
262. James A.Blackburn, Analyt.Chem. 39 (1) 100 (1967).
263. N.F.Zacharin s.a., Zavodskia Lab. 38 (2) 169 (1972).
264. G.Rossi, Z.Analyt. Chem. 216 (1) 61 (1965).
265. A.N.Saidel, W.K.Prokofjew, S.M.Raiski, Spektraltabellen,  
Zweite Auflage, VEB, Verlag Technik 1961.

C U P R I N S.

Pag.

INTRODUCERE . . . . .	1
PARTEA I-a	
<b>Cap.I. OBINIJEA TERMACLORURII DE ZIRCONIU. Considerații asupra procesului de clorurare . . . . .</b>	<b>7</b>
I.1. Clorurarea bioxidului de zirconiu . . . . .	7
I.2. Clorurarea carburii de zirconiu . . . . .	21
<b>Cap.II. PURIFICAREA PRELIMINARA A TERMACLORURII DE ZIRCONIU . . . . .</b>	<b>23</b>
<b>Cap.III. SEPARAREA ZIRCONIULUI DE HAFNIU . . . . .</b>	<b>29</b>
III.1. Separarea zirconiului de hafniu prin metode bazate pe diferența de volatilitate a unor combinații ale acestor metale . . . . .	30
III.1.1. Separarea zirconiului de hafniu prin rectificarea produsilor de reacție a tetrachlorurilor lor cu oxiclorura de fosfor . . . . .	33
III.1.2. Separarea zirconiului de hafniu prin rectificarea directă sub presiune a tetrachlorurilor lor. . . . .	36
III.1.3. Rectificarea extractivă a tetrachlorurilor de zirconiu și hafniu cu săruri topite . . . . .	45
III.2. Separarea zirconiului de hafniu prin reducere selectivă cu metale a tetrachlorurilor lor . . . . .	46



	Pag.
III.3. Cristalizarea fracționată . . . . .	50
III.4. Extractia cu solventi . . . . .	52
III.5. Observații privind perspectivele tehnologice ale proceselor de se- parare prezentate . . . . .	59
PARTEA II-a	
<b>Cap. IV. CERCETARI EXPERIMENTALE ASUPRA OBTINERII TETRACLORURII DE ZIRCONIU . . . . .</b>	<b>65</b>
IV.1. Elorurarea bioxidului de zirconiu . . . . .	67
IV.2. Clorurarea carburii de zirconiu . . . . .	78
IV.3. Condensarea tetraclorurii de zirconiu . . . . .	81
<b>Cap. V. CERCETARI EXPERIMENTALE ASUPRA PROCESULUI DE RECTIFICARE IN COLOANE CU UMLUTURI METALICE . . . . .</b>	<b>85</b>
V.1. Considerații asupra procesului de rectifi- care în coloane cu umpluturi . . . . .	85
V.2. Cercetări experimentale asupra unor co- loane de rectificare cu umpluturi me- talice . . . . .	96
V.2.1. Aspecte hidrodinamice . . . . .	97
V.2.2. Determinări experimentale asupra eficacității coloanelor de rectifi- care cu umpluturi metalice . . . . .	117
V.2.3. Studii experimentale privind rectificarea sub presiune a tetraclorurii de zirconiu și hafniu . . . . .	127
<b>Cap. VI. SOLUBILITAT A TETRACLORURII DE ZIRCONIU (HAFNIU) IN SOLVENTI ORGANICI CLORURATI . . . . .</b>	<b>153</b>

Pag.

VI.1, Aparate experimentale pentru determinări de solubilitate . . . . .	155
VI.2, Determinarea solubilității tetraclorurii de zirconiu (hafniu) . . . . .	162
CONCLUZII . . . . .	167
BIBLIOGRAFIE . . . . .	I - XIV